

INTRODUZIONE ALLE COMUNICAZIONI ELETTRICHE

1

Quando mi parla di comunicazioni elettriche gli esempi più significativi di segnali in uso, sono quelli "telefonici" e quelli "video". Tipicamente un segnale telefonico ha una banda di frequenze che va da 300 Hz a 3400 Hz SARDA SEGNALE TELEFONICO attenuata mediante il filtraggio dell'intera banda vocale; il motivo di questo filtraggio è la riduzione dell'ingombro frequenziale senza alterare l'intelligenza del messaggio. Il segnale video invece occupa una banda di frequenze che arriva fino a 5 MHz.

Entrambi i segnali sono di tipo analogico. Un segnale numerico può essere, ad esempio, la sequenza di bit trasmessa da un calcolatore elettronico.

Un concetto importante nel campo delle com. elettriche è il "rumore"; intuitivamente se misuriamo la tensione ai capi di un conduttore isolato a temperatura ambiente, verrebbe rilevata una tensione fluctuante a valo medio nullo; questa è di fatto dovuta allo stato di agitazione termica delle particelle subatomiche che ^{sarà dovuto} si trovano allo zero assoluto: esso si chiama appunto RUMORE TERMICO. Il rumore termico può essere rappresentato (modello matematico) con un processo stocastico, $N(t)$. Durante la trasmissione di un segnale, quindi, si sovrappone ad esso un certo rumore; questo rumore può essere dovuto al trasmettitore, al canale trasmissivo o introdotto dal ricevitore.

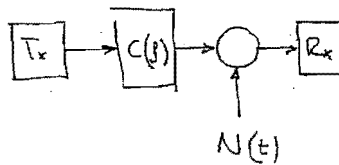
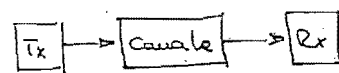
In realtà, essendo il trasmettitore un dispositivo di potenza, il rumore risultà percentualmente insignificante rispetto al segnale stesso.

Il canale di fatto ha il comportamento di un filtro ($C(f)$).

Il sistema di comunicazione comprende trasmettitore (T_x) canale (C) e ricevitore (R_x)

Tuttora può essere schematizzato come in figura; il

NUOVI VOCABOLI : SCHEMATIZZATICO !!



Il canale c, caratterizzato da un certo rumore, può essere schematizzato come un filtro privato di rumore $C(f)$ (in generale il comp. è ^{non lineare} P.B.) ; al segnale che percorre il canale non rumore si somma il processo $N(t)$ che rappresenta il rumore (indipendente dalla sorgente che lo ha generato, ad esempio l'agitazione termica).

In generale la densità spettrale di potenza del processo rumore può essere schematizzata, per semplicità, come costante:

$$W_N(f) = S_N(f) = \frac{N_0}{2} = \text{costante}$$

Se integrano $W_N(f)$ su tutto l'asse delle frequenze avremo come risultato infinito, tuttavia, in tutte le applicazioni si considera una banda di frequenza limitata e quindi l'integrale suddetto, nell'intervallo finito, è appunto finito.

Un rumore con densità spettrale di potenza, si dice RUMORE BIANCO.

Come già detto il rumore ha valore medio nullo, quindi:

$$\bar{y}_N = 0$$

e autocorrelazione

$$R_N(n) = \frac{N_0}{2} \delta(n)$$

Il rumore così considerato è quindi STAZIONARIO IN SENSO LATO. Il rumore che consideriamo è inoltre un processo GAUSSIANO; dalla t.d.s. sappiamo che un processo "stazionario in senso lato" se è Gaussiano è anche "stazionario in senso stretto".

Il rumore così descritto si dice AWGN (Additive, White, Gaussian, Noise).

Si ricordi che un processo Gaussiano come l'AWGN ha alcune proprietà nei confronti di un blocco $H(f)$; sia $N(t)$ il rumore bianco e sia $X(t)$ l'uscita di $H(f)$ avremo:

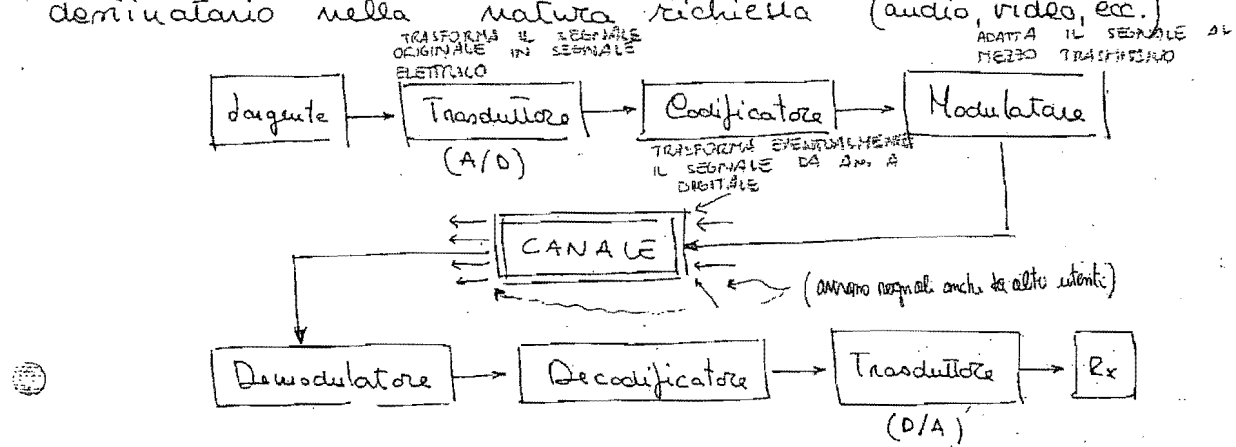
$$\begin{array}{l} N(t) \xrightarrow{H(f)} X(t) \\ \bar{y}_x = \bar{y}_N + H(0) = 0 \\ R_x(n) = R_N(n) \otimes h(n) \\ W_x(f) = W_N(f) H(f) \end{array}$$

Un generale un canale ha un comportamento "passa banda", ovvero predilige una gamma di frequenza entro la quale l'attenuazione del segnale si mantiene ragionevole. La linea bifilare ad esempio ha una banda che va da 1 KHz a 1 MHz.

Approfondendo l'analisi di un sistema di telecomunicazioni, si possono individuare alcuni blocchi fondamentali: L'informazione è prodotta da una SORGENTE (ad esempio l'apparato vocale umano), questo segnale non essendo elettrico deve essere trasformato mediante un TRASDUTTORE, per poter utilizzare il canale.

Se la trasmissione è di tipo numerico, occorre un apparato di conversione Analogico-Digitale, che nella maggior parte dei casi fa sede nel trasduttore stesso. Sempre nel caso di segnali numerici, è necessario "codificare", attraverso un CODIFICATORE, il segnale, con lo scopo di rendere identificabili e correggibili eventuali errori (Vedi Codici di trasmissione). Per adattare il segnale al mezzo di comunicazione occorre alterare il segnale stesso con un MODULATORE; grazie all'operazione di modulazione, sullo stesso canale possono coesistere più segnali.

La fase di ricezione è ovviamente il processo inverso che passa attraverso una DEMODULAZIONE, una DECODIFICA, un TRASDUTTORE, fino a portare il segnale al destinatario nella natura richiesta (audio, video, ecc.).



Cenni sui CODICI DI TRASMISSIONE: Nelle trasmissioni numeriche, esistono alcune operazioni per ottimizzare l'utilizzo del canale.

- A. CODICI DI SORGENTE: Per limitare l'occupazione del canale, si può pensare di eliminare tutti gli elementi del "messaggio" che non siano fundamentali per l'intelligenza del informazione; si applicano allora dei "codici di sorgente" che hanno il compito di togliere secondo una certa logica tutta la "ridundanza" presente nel messaggio.
- B. CODICI DI CANALE: Il messaggio privato della ridundanza è avviamente più suscettibile agli errori; a seconda del canale di trasmissione e quindi delle interferenze parassiti, si sceglie di reintrodurre una parte della ridundanza per migliorare l'impenetrità ai disturbi.
- C. CODICI DI LINEA: Per adattare il segnale alla linea di trasmissione, si introduce una canalizzazione fra i simboli del segnale numerico in questo modo si modifica la campionazione spettrale del segnale stesso. Questa operazione è regolata dai cosiddetti codici di linea.

RICHIARO SULLA FUNZIONE DELTA DI DIRAC $\delta(t)$

5

-) La funzione $\delta(t)$ è tale per cui data una funzione $f(t)$ è verificata la seguente:

$$\text{PROPRIETÀ CONVOLZIONE} \quad \text{DELLA DI DIRAC} \quad \int_{-\infty}^{+\infty} f(t) \delta(t-t_0) dt = f(t_0)$$

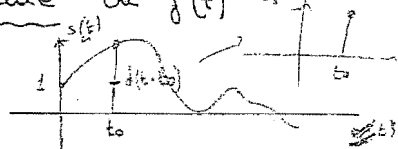
per definizione allora ponendo $f(t) = 1$

$$\int_{-\infty}^{+\infty} \delta(t) dt = 1$$

Questa funzione gode di alcune proprietà:

1. Proprietà CAMPIONATRICE della $\delta(t)$
2. Il prodotto di un segnale $s(t)$ e la funzione $\delta(t)$ centrata in t_0 , fornisce un "campione" di $s(t)$ in t_0 :

$$s(t) \delta(t-t_0) = s(t_0) \delta(t-t_0)$$



3. Proprietà della CONVOLZIONE

La convoluzione di un segnale $s(t)$ e la funzione $\delta(t)$ centrata in t_0 , corrisponde ad una traslazione di $s(t)$ in t_0 :

$$s(t) * \delta(t-t_0) = \int_{-\infty}^{+\infty} s(t-t_0) \delta(t-n) dn = s(t-t_0)$$

La funzione $\delta(t)$ non è che un'astrazione matematica, che può essere ottenuta come limite di funzioni ordinarie.

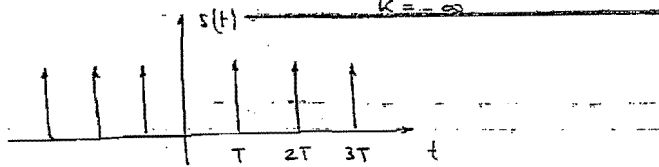


Esempio

6

Si consideri un segnale "pettine di $\delta(t)$ " definito da

$$c(t) = \sum_{k=-\infty}^{+\infty} \delta(t-kT)$$



il segnale può essere sviluppato con la serie di Fourier, avremo

$$c(t) = \sum_{k=-\infty}^{+\infty} \delta(t-kT) = \sum_{k=-\infty}^{+\infty} C_k e^{j2\pi k \frac{t}{T}}$$

nella quale C_k è il coefficiente dello sviluppo dato dalla seguente:

$$\begin{aligned} C_k &= \frac{1}{T} \int_{-\frac{T}{2}}^{\frac{T}{2}} c(t) e^{-j2\pi k \frac{t}{T}} dt = \\ &= \frac{1}{T} \int_{-\frac{T}{2}}^{\frac{T}{2}} \delta(t) e^{-j2\pi k \frac{t}{T}} dt = \frac{1}{T} \end{aligned}$$

Questo risultato è ottenuto mediante la proprietà campionatrice del delta di Dirac, infatti:

$$\begin{aligned} C_k &= \frac{1}{T} \int_{-\frac{T}{2}}^{\frac{T}{2}} \delta(t) e^{-j2\pi k \frac{t}{T}} dt = \\ &= \frac{1}{T} \int_{-\frac{T}{2}}^{\frac{T}{2}} \delta(t) e^{-j2\pi k \frac{0}{T}} dt = \frac{1}{T} \int_{-\frac{T}{2}}^{\frac{T}{2}} \delta(t) dt = \frac{1}{T} \end{aligned}$$

Ricordiamo che

$$\delta(t-t_0) s(t) = s(t_0) \delta(t-t_0)$$

ponendo $t_0 = 0$

$$\delta(t) s(t) = s(0) \delta(t)$$

lo sviluppo in serie di Fourier diviene

7

$$\begin{aligned} c(t) &= \sum_{k=-\infty}^{+\infty} \delta(t - kT) = \sum_{k=-\infty}^{+\infty} C_n e^{j2\pi n \frac{t}{T}} = \\ &= \sum_{k=-\infty}^{+\infty} \frac{1}{T} e^{j2\pi n \frac{t}{T}} = \\ &= \frac{1}{T} \sum_{k=-\infty}^{+\infty} e^{j2\pi n \frac{t}{T}} \end{aligned}$$

A questo punto possiamo applicare la Trasformata di Fourier del segnale periodico; in particolare sappiamo che

PROPRIETÀ TRASFORMATA DI FOURIER: RETRADO DI t_0

$$\mathcal{F}[e^{j2\pi f_0 t}] = \delta(f - f_0)$$

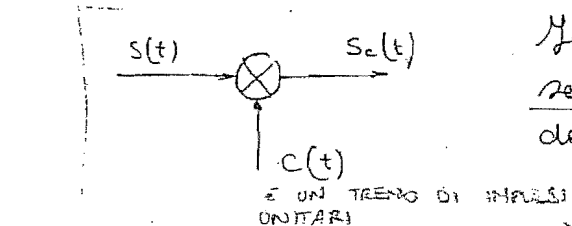
Allora $\mathcal{F}[f(t-t_0)] = F e^{j2\pi f_0 t_0}$

$$C(f) = \frac{1}{T} \sum_{m=-\infty}^{+\infty} \delta(f - \frac{m}{T}) = \frac{1}{T} \sum_{m=-\infty}^{+\infty} \delta(f - mf_0)$$

Un segnale che nel dominio del tempo è una sequenza di $\delta(t)$ distanziati di T , nel dominio della frequenza è sempre una sequenza di impulsi $\delta(f)$ distanziati di $1/T$ e ampiezza $1/T$

CAMPIONAMENTO IDEALE

Sia $s(t)$ un segnale; Campionare tale segnale significa trasformarlo in $s_c(t)$, ovvero una sequenza di impulsi di ampiezza uguale all'ampiezza di $s(t)$ nell'istante considerato.



Il segnale, $c(t)$ che è il segnale campionato, è definito come segue

$$c(t) = \sum_{k=-\infty}^{+\infty} \delta(t - kT)$$

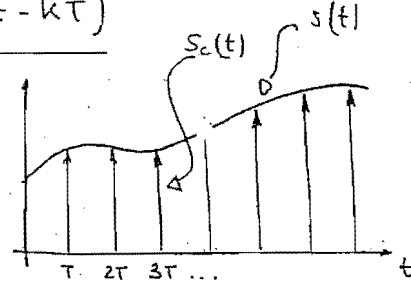
Dove T mi indica il periodo di campionamento.

$$s_c(t) = s(t) \cdot c(t)$$

$$\begin{aligned}
 S_c(t) &= s(t) \cdot \sum_{k=-\infty}^{+\infty} \delta(t - kT) = \\
 &= \sum_{k=-\infty}^{+\infty} s(t) \delta(t - kT) = \\
 &\xrightarrow{\text{Proprietà del campionamento}} \sum_{k=-\infty}^{+\infty} s(kT) \delta(t - kT)
 \end{aligned}$$

Ad esempio se $s(t)$ ha un generico andamento (vedi figura) il segnale campionato $s_c(t)$ è una sequenza di impulsi che ammira l'ampiezza di $s(t)$ negli istanti $t = kT$.

Calcoliamo lo spettro in frequenza del segnale campionato $s_c(t)$.



$$S_c(f) = S(f) \otimes C(f)$$

questo perché

$$\stackrel{\text{T-df del prodotto}}{\text{è la convoluzione}} [S(f) \cdot C(f)] = S(f) \otimes C(f)$$

allora $\stackrel{\text{e viceversa}}{\text{è}}$

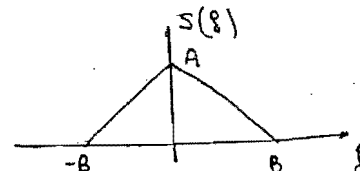
$$\begin{aligned}
 S_c(f) &= S(f) \otimes \sum_{k=-\infty}^{+\infty} \frac{1}{T} \delta(f - \frac{k}{T}) = \\
 &= \sum_{k=-\infty}^{+\infty} \left[S(f) \otimes \delta(f - \frac{k}{T}) \right] \frac{1}{T} =
 \end{aligned}$$

Lasciare la
convoluzione
e utilizzare
un operatore
lineare.

Siccome la convoluzione non è che una traslazione, come testimonia la proprietà 2, precedentemente richiamata, avremo:

$$\begin{aligned}
 S_c(f) &= \frac{1}{T} \sum_{k=-\infty}^{+\infty} S(f) \otimes \delta(f - \frac{k}{T}) = \\
 &= \frac{1}{T} \sum_{k=-\infty}^{+\infty} S(f - \frac{k}{T})
 \end{aligned}$$

Supponiamo che il segnale $s(t)$ sia caratterizzato da uno spettro $S(f)$, come in figura



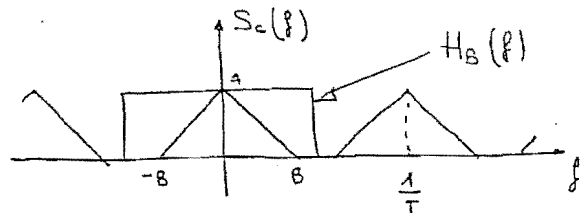
Per determinare l'andamento dello spettro $S_c(f)$ del segnale campionato, distinguono due casi:

1) Se $\frac{1}{T} = F \geq 2B$ avremo:

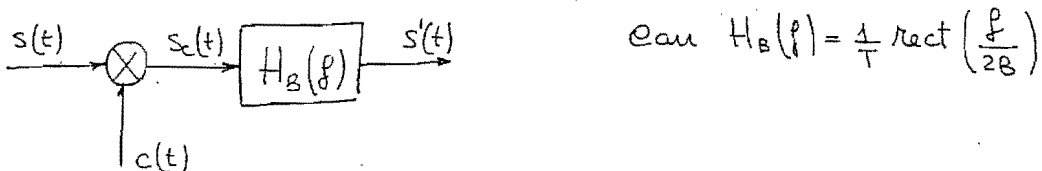
$$\frac{1}{2T} \geq B$$

Allora lo spettro di $S_c(t)$ non è che la ripetizione dello spettro $S(f)$ a distanza di $1/T$, non sovrappartiti.

In questo caso è facile intuire che per ricostruire il segnale di partenza

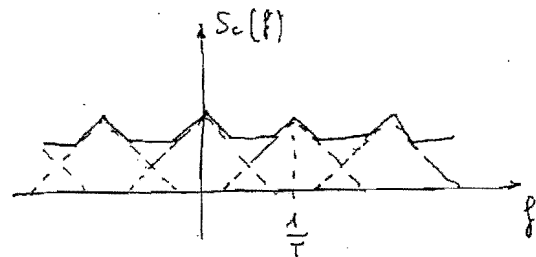


- è sufficiente filtrare il segnale campionato con un dispositivo che selezioni la gamma di frequenze che va da $-B$ a B .



2. Se $\frac{1}{T} = F < 2B$ le code degli spettri $S(f)$ di $s(t)$ ripetuti nello spettro del segnale campionato si sovrappongono:

questo fenomeno è detto ALIASING ed impedisce la ricostruzione del segnale $s(t)$ a partire da quello campionato.



La condizione appena vista, per garantire la pariabilità di ricostruire un segnale a partire dal segnale campionato

$$\frac{1}{T} = F \geq 2B$$

è detta CONDIZIONE DI NYQUIST.

Analizziamo il filtro $H_B(f)$ per la ricostruzione del segnale originale:

$$H_B(f) = \frac{1}{T} \operatorname{rect}\left(\frac{f}{2B}\right)$$

ricordiamo che

$$\mathcal{F}^{-1}[H_B(f)] = \mathcal{F}^{-1}\left[\frac{1}{T} \operatorname{rect}\left(\frac{f}{2B}\right)\right] \\ = \frac{1}{T} 2B \operatorname{sinc}(2Bt)$$

$$h_B(t) = \operatorname{sinc}(2Bt)$$

Nella condizione limite in cui $\frac{1}{T} = F = 2B$

$$h_B(t) = \operatorname{sinc}(Ft) = \operatorname{sinc}\left(\frac{t}{T}\right)$$

Siccome

$$S(f) = S_c(f) \cdot H_B(f)$$

$$S'(t) = S_c(t) \otimes h_B(t) =$$

$$= \sum_{k=-\infty}^{+\infty} s(kT) \delta(t-kT) \otimes h_B(t)$$

Sulla base della FORMULA DI INTERPOLAZIONE ($F = 2B$)

$$S(t) = \sum_{k=-\infty}^{+\infty} s(kT) \operatorname{sinc}\left(\frac{t-kT}{T}\right) \quad F = 2B$$

possiamo dire che

$$S'(t) = S_c(t) \otimes h_B(t) = \sum_{k=-\infty}^{+\infty} s(kT) \delta(t-kT) \otimes \operatorname{sinc}\left(\frac{t}{T}\right) = \\ = \sum_{k=-\infty}^{+\infty} s(kT) \operatorname{sinc}\left(\frac{t-kT}{T}\right) = S(t)$$

ciò è il segnale $s(t)$ può essere ottenuto come somma di infinite sinc centrate negli istanti dei campioni con ampiezza del campione stesso.

Alla luce di quanto detto esiste il teorema del campionamento o teorema di Shannon che riassume le condizioni per la ricostruzione di un segnale.

TEOREMA DI SHANNON: Se un segnale $s(t)$ è a banda limitata B esso è completamente descritto ai suoi campioni istantanei uniformemente spaziati nel tempo con periodo $T \leq \frac{1}{2B} \Rightarrow f \leq \frac{1}{2B}$.
Su altri termini dal segnale campionato si può risalire al segnale originale.

La formula di interpolazione appena scritta è valida nel caso limite $F = 2B$; nel caso più generale vale la seguente:

FORMULA DI INTERPOLAZIONE

per $F \geq 2B$

$$s(t) = \frac{2B}{T} \sum_{k=-\infty}^{+\infty} s(kT) \sin \left[2B(t - kT) \right]$$

Osserviamo che la condizione di Shannon $F \geq 2B$ dice anche che all'aumentare di F le ripetizioni dello spettro si allontanano; nell'ambito del tempo significa aumentare il numero di campioni e in parola di SOVRACCAMPIONAMENTO.

Questa condizione è necessaria perché un filtro reale di fatto non ha una banda riguadagnante rettangolare, quindi, se aumenta la distanza fra le ripetizioni di spettro, è parimente scegliere un filtro sempre più dolce.

Nota: Un segnale reale non ha mai una banda riguadagnante finita, quindi è necessario filtrare $s(t)$ prima del campionamento per definire l'intervallo $[-B, B]$.

La formula di interpolazione, facendo uso della funzione \sin , è un'astrazione matematica; per questo motivo è necessario stabilire come esistente un filtro reale. Ha base del risultato che si vuole attenuare, ovvero sulla base

della qualità richiesta nel segnale ricostruito,
 è necessario decidere come approssimare la risposta
 del filtro H_s , in modo da ottenere una risposta
 H_1 , finitamente realizzabile.

Consideriamo allora un filtro reale $h_1(t)$:

$$H_s(f) \Leftrightarrow h_1(t)$$

e osserviamo come si modifica la ricostruzione
 del segnale $s(t)$, avendo analizzato qual è il
 risultato dell'operazione:

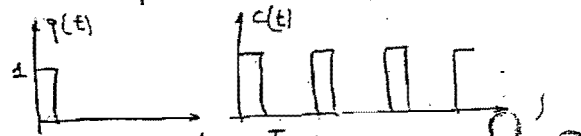
$$s'(t) = s_c(t) \otimes h_1(t)$$

CAMPIONAMENTO NATURALE

Siccome l'impulso di Dirac è anch'esso una
 astrazione matematica, non è finitamente realizzabile
 campionare un segnale con tale impulso.

Consideriamo allora un segnale di Campionamento
 $c(t)$ costituito da una sequenza di impulsi,
 comunque di breve durata: sia $q(t)$ un impulso
 unitario di durata N ,
 costruiamo il segnale
 $c(t)$ nel modo seguente

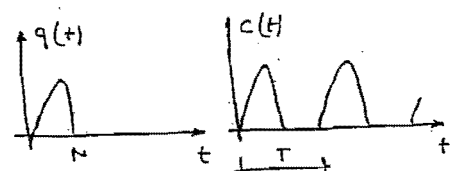
$$c(t) = \sum_{k=-\infty}^{+\infty} q(t - kT)$$



$$q(t) = \text{rect}\left(\frac{t - T/2}{N}\right)$$

Anche l'impulso rettangolare di fatto è finitamente
 irrealizzabile, perciò si ricorre ad un impulso
 "arrestandato".

$$\begin{array}{c} s(t) \xrightarrow{\text{ }} s_c(t) \\ | \\ C(t) = \sum_{k=-\infty}^{+\infty} q(t - kT) \end{array}$$



Questo è quello che si chiama CAMPIONAMENTO NATURALE.

Se ad esempio consideriamo $q(t)$ rettangolare e
 supponiamo di voler campionare un segnale generico

$S(t)$, il risultato del campionamento sarà costituito da pulsazioni di durata τ del segnale:

$$s_c(t) = S(t) \cdot \sum_{k=-\infty}^{+\infty} q(t - kT)$$

Analizziamo cosa accade in frequenza.
Siccome

$$C_s(f) = \sum_k q(t - kT) = q(t) \otimes \sum_k \delta(t - kT)$$

in frequenza:

$$\begin{aligned} C_s(f) &= Q(f) \sum_k \delta(f - \frac{k}{T}) \frac{1}{T} = \\ &= \frac{1}{T} \sum_k Q(f) \delta(f - \frac{k}{T}) = \end{aligned}$$

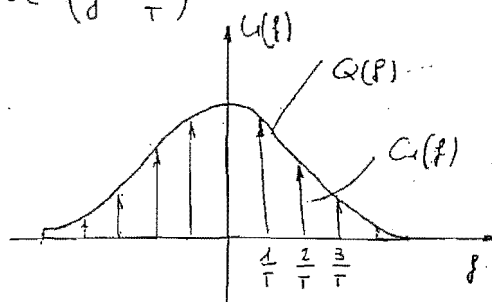
Inoltre essendo

$$q(t) = \text{rect}\left(\frac{t - T/2}{N}\right) \quad e \quad Q(f) = N \text{sinc}(f_N) e^{-j2\pi f \frac{T}{2}}$$

avremo:

$$C_s(f) = \frac{1}{T} \sum_k N \text{sinc}(f_N) e^{-j2\pi f \frac{T}{2}} \delta(f - \frac{k}{T})$$

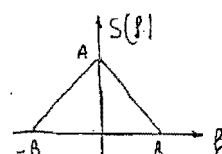
Lo spettro del segnale campionato sarà costituito da una sequenza di impulsi di dirac che avranno d'area della sinc, centrati in $(f - \frac{k}{T})$.
Noto l'andamento di $Q(f)$ lo spettro del segnale di campionamento è quello di figura a lato.



Per studiare lo spettro del segnale campionato $s_c(t)$, assumiamo che $S(t)$ abbia uno spettro generico $S(f)$ con banda B e ampiezza A.

Allora ricordando che

$$s_c(t) = S(t) \cdot C_s(t)$$



avremo

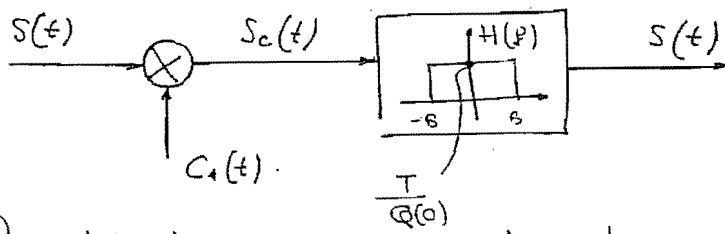
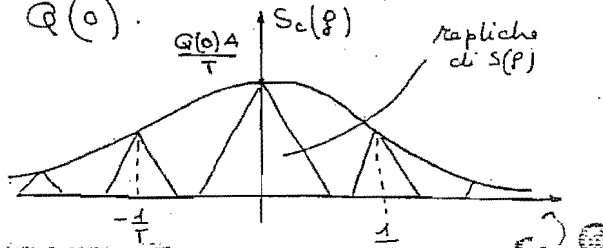
14

$$S_c(f) = S(f) \otimes C(f)$$

ovvero:

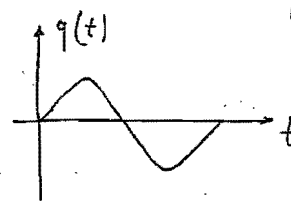
$$S_c(f) = \frac{1}{T} \sum_k Q\left(\frac{k}{T}\right) S\left(f - \frac{k}{T}\right)$$

Che causisce in una ripetizione attenuata o amplificata dello spettro $S(f)$. Per $k=0$ lo spettro è amplificato del fattore $Q(0)$.
Anche in questo caso vale il teorema di Shannon, perché se $F \geq 2B$, è possibile ricavare il segnale di partenza da quello campionato. Tuttavia il filtro deve attenuare dello stesso fattore $Q(0)$, per riportarci a $S(t)$.



Consideriamo ora un impulso di campionamento $q(t)$ a media nulla, cioè tale che

$$\int_{-\infty}^{+\infty} q(t) dt = 0$$



Allora

$$Q(f) = \int_{-\infty}^{+\infty} q(t) e^{-j2\pi ft} dt$$

e dalla teoria dei segnali sappiamo che

$$Q(0) = \int_{-\infty}^{+\infty} q(t) dt$$

Quindi si ha uno spettro $Q(f)$ nullo nell'origine. Questo fatto si ripercuote sul segnale campionato cancellando la replica dello spettro $S_c(f)$ nell'origine.

infatti come già visto

$$S_c(f) = \frac{1}{T} \sum_n Q\left(\frac{n}{T}\right) S\left(f - \frac{n}{T}\right)$$

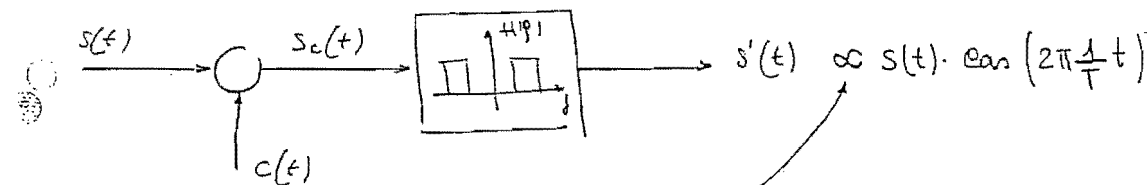
mato lo spettro $S(f)$, quello del segnale campionato $S_c(f)$ risulta, qualitativamente come in figura.

La componente informativa è contenuta in ognuna delle repliche, quindi per ricostruire il segnale $s(t)$, basta filtrare una delle suddette repliche, ad esempio quella centinata in $1/T$.

Il risultato del filtraggio, però, non è esattamente il segnale di partenza, ma una sua versione traslata in frequenza; ricordando che una traslazione in f coincide con la moltiplicazione per un fattore nel tempo:

$$s'(t) = s(t) \cdot \cos\left(2\pi \frac{1}{T} t\right)$$

per giungere ad $|s(t)|$ è necessario, dopo il filtraggio un'operazione di DEMODULAZIONE.



In questo caso si dice che $s'(t)$ è la versione modulata in ampiezza di $s(t)$ (sarà chiarito in seguito).



RAPPRESENTAZIONE IN BANDA BASE DI SEGNALI

16

(Rappresentazione complessa di segnali reali).

Si consideri un generico segnale reale $x(t)$.

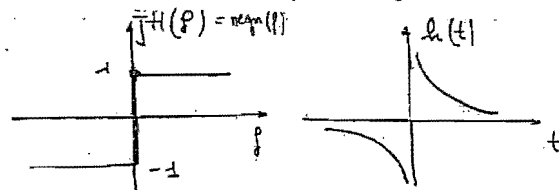
TRASFORMATA DI HILBERT $\hat{x}(t)$

Si definisce trasformata di Hilbert $\hat{x}(t)$, del segnale $x(t)$ il segnale ottenuto dall'operazione di "filtraggio con

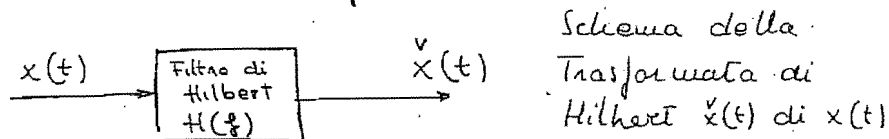
risposta in frequenza

$$\boxed{H(f) = -j \operatorname{segu}(f)}$$

$$h(t) = \frac{1}{\pi t}$$



Il filtro $H(f)$ si dice in questo caso FILTRO DI HILBERT; $\operatorname{segu}(f) = \begin{cases} +1 & f \geq 0 \\ -1 & f < 0 \end{cases}$.
l'operazione può essere schematizzata nel modo seguente:



Osserviamo che:

$$|H(f)| = 1 \text{ e } \arg H(f) = \begin{cases} -\frac{\pi}{2} & f \geq 0 \\ \frac{\pi}{2} & f < 0 \end{cases}$$

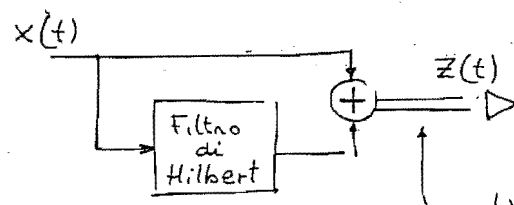
Filtro di Hilbert = filtro REALE che altera solamente la fase

SEGNALE ANALITICO $z(t)$

Si definisce segnale analitico $z(t)$, del segnale $x(t)$, il segnale complesso ottenuto sommando lo stesso $x(t)$ alla sua trasformata di Hilbert $\hat{x}(t)$ moltiplicata per l'unità immaginaria:

$$\boxed{z(t) = x(t) + j \hat{x}(t)}$$

Il segnale analitico $z(t)$, può essere schematizzato come segue:



Schema del Segnale Analitico $z(t)$ di $x(t)$

Osserviamo cosa accade in frequenza.

Un segnale complesso in linea indica con una doppia linea

Nota: Un segnale $s(t)$ è a simmetria Hermitiana se:
 $S(f) = S^*(-f)$ (avrà la parte reale pari quella immaginaria opposta)

mentre $s(t)$ è a simmetria Anti-Hermitiana se:

$$S(f) = -S^*(-f)$$

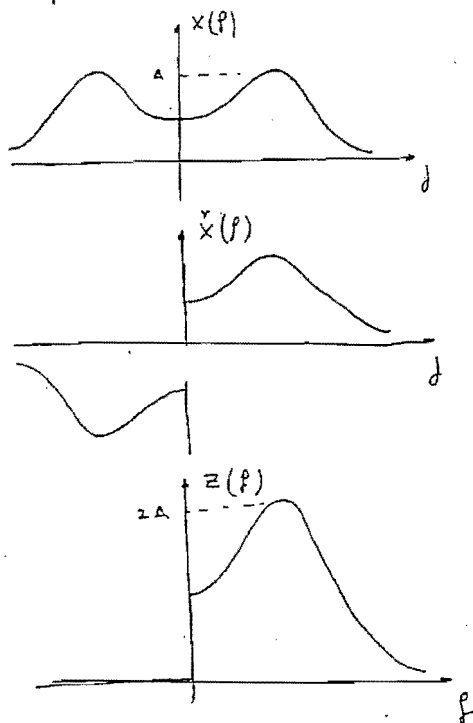
Si dice che il segnale Analitico $Z(t)$ di $x(t)$ è un segnale complesso, risulta di fatto la combinazione lineare della sua parte reale e della sua parte immaginaria per la linearità della trasformata di Fourier i .

$$Z(f) = X(f) + j \tilde{X}(f) \quad \begin{matrix} \text{In quanto} \\ \text{segnale reale} \end{matrix}$$

Supponiamo allora $x(t)$ a simmetria Hermitiana

Se un generico spettro $X(f)$, qualitativamente come in figura, lo spettro del

- segnale analitico $Z(f)$ sarà
- che quello del segnale $x(t)$, privato delle frequenze negative e moltiplicato per due.



$$\tilde{X}(f) = X(f) H(f) =$$

$$= -j \operatorname{seg}(f) X(f)$$

$$Z(f) = X(f) + \operatorname{seg}(f) X(f)$$

avremo che

$$\operatorname{seg}(f) X(f) = \begin{cases} X(f) & f \geq 0 \\ -X(f) & f < 0 \end{cases}$$

INVILUPPO COMPLESSO $\tilde{x}(t)$ DEL SEGNALE $x(t)$ RISPETTO A f_0

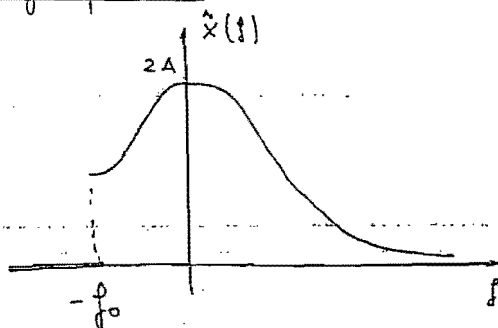
Seleziona una frequenza f_0 arbitraria, si definisce inviluppo complesso $\tilde{x}(t)$ del segnale $x(t)$ rispetto alla frequenza f_0 , il segnale attenuato moltiplicando il segnale analitico $z(t)$ per l'esponentiale complesso $\exp(-j2\pi f_0 t)$. Di fatto questa operazione

causale nella traslazione in frequenza
seguale analitico in $-f_0$:

$$\tilde{X}(t) = Z(t) e^{-j2\pi f_0 t}$$

$$\tilde{X}(f) = Z(f + f_0)$$

18
mista



In riferimento alle figure precedenti si può tracciare lo spettro di $\tilde{X}(t)$.

Vediamo come ricavare il seguale originale $x(t)$ dai segnali appena definiti. Osserviamo innanzitutto che:

$$x(t) = \operatorname{Re}\{Z(t)\} = \operatorname{Re}\{\tilde{X}(t) e^{j2\pi f_0 t}\}$$

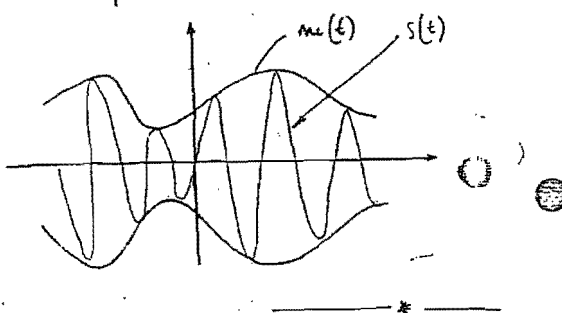
Esempio

Supponiamo di avere un segnale $s(t)$ così definito:

$$s(t) = m(t) \cos 2\pi f_0 t$$

nel quale $m(t)$ è un segnale qualiasi, con l'andamento di figura.

$m(t)$ si dice INVILUPPO del segnale.



Come già detto:

$$x(t) = \operatorname{Re}\{\tilde{X}(t) e^{j2\pi f_0 t}\} \quad (1.1)$$

ricorda anche $\tilde{X}(t)$ è un segnale complesso, può essere scritto esplicitando parte reale e parte immaginaria:

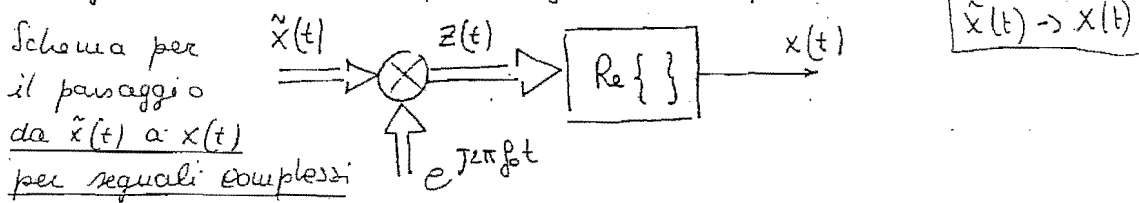
$$\tilde{X}(t) = X_c(t) + j X_s(t) \quad (*)$$

nella quale $X_c(t)$, la parte reale, è detta

CORPOLENTE IN FASE (spesso indicata anche con $X_c(t)$), mentre $X_s(t)$, la parte immaginaria, è detta CORPOLENTE IN QUADRATURA (spesso indicata con $X_s(t)$).
Tornando al discorso di prima:

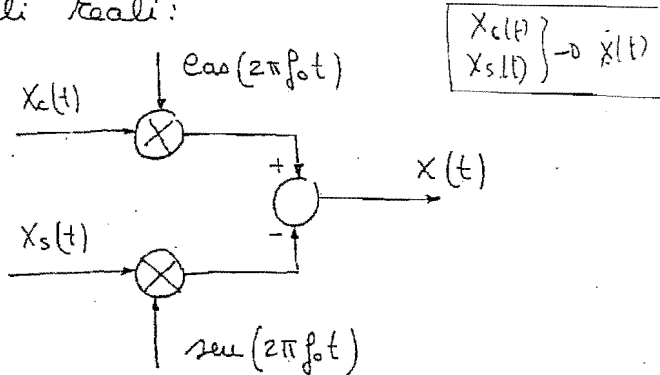
$$\begin{aligned} X(t) &= \operatorname{Re}\{Z(t)\} = \operatorname{Re}\{\tilde{X}(t)e^{j2\pi f_0 t}\} = \\ &= \operatorname{Re}\left\{\left[X_c(t) + jX_s(t)\right]\left[\cos(2\pi f_0 t) + j\sin(2\pi f_0 t)\right]\right\} = \\ &= X_c(t) \cos(2\pi f_0 t) - X_s(t) \sin(2\pi f_0 t) \quad (1.2) \end{aligned}$$

Abbiamo stabilito la relazione che lega il segnale $x(t)$ alla componente in quadratura e alla componente in fase dell'inviluppo complesso in f_0 .
Sulla base della relazione (1.1), si può tracciare il seguente schema per segnali complessi:



Sulla base della (1.2), si può tracciare lo schema equivalente per segnali reali:

Schema 1. per il passaggio dal campionamento in fase e quadratura dell'inviluppo ed al segnale di平等za.



Per completezza affermiamo che

$$\dot{X}(t) = \operatorname{Im}\{Z(t)\} = \operatorname{Im}\{\tilde{X}(t)e^{j2\pi f_0 t}\}$$

sulla base della quale, attraverso considerazioni analoghe alle precedenti, si giunge allo schema duale (che ammette).

Per determinare la relazione di passaggio da $x(t)$ alle due componenti dell'inviluppo complesso,
osserviamo che, per definizione

$$\tilde{x}(t) = z(t) e^{-j2\pi f_0 t}$$

Allora:

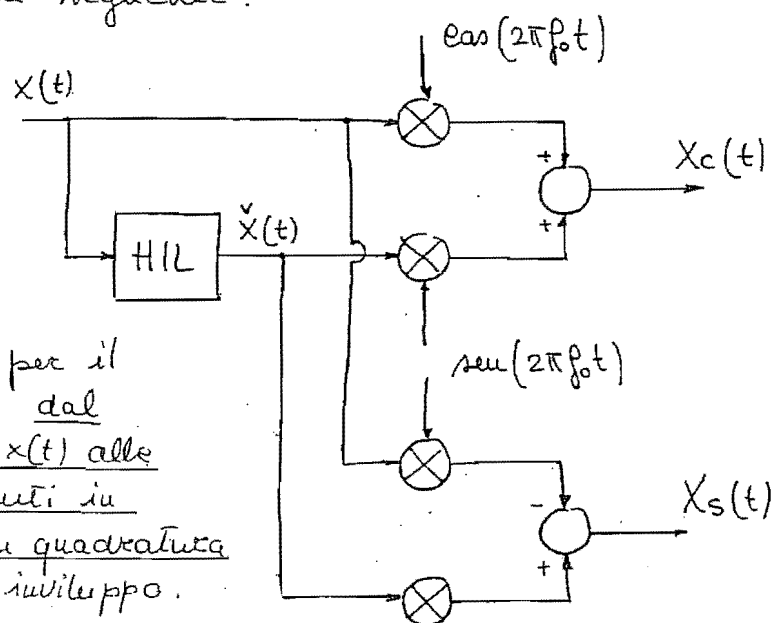
$$x_c(t) + j x_s(t) = [x(t) + j \dot{x}(t)] [\cos(2\pi f_0 t) - j \sin(2\pi f_0 t)] =$$

uguagliando parte reale e parte immaginaria si ottiene

$$x_c(t) = x(t) \cos(2\pi f_0 t) + \dot{x}(t) \sin(2\pi f_0 t) \quad (1.3)$$

$$x_s(t) = \dot{x}(t) \cos(2\pi f_0 t) - x(t) \sin(2\pi f_0 t) \quad (1.4)$$

Sulla base di queste due relazioni si può tracciare lo schema seguente:



Schema per il
passaggio dal
segnale $x(t)$ alle
componenti in
fase e in quadratura
del suo inviluppo.

Come vedremo in seguito,
per la categoria di segnali
di maggior interesse, questo schema può essere
matematicamente semplificato.

Come visto dall'algebra, un numero complesso può essere scritto in forma polare. Anche l'inviluppo complesso allora diviene:

$$\tilde{x}(t) = X_c(t) + jX_s(t) = p(t) e^{j\Phi(t)} \quad (1.5)$$

nella quale

$$\left\{ \begin{array}{l} p(t) = \sqrt{X_c^2(t) + X_s^2(t)} \\ \Phi(t) = \arctg \frac{X_s(t)}{X_c(t)} \end{array} \right. \quad (1.6)$$

$$\left\{ \begin{array}{l} p(t) = \sqrt{X_c^2(t) + X_s^2(t)} \\ \Phi(t) = \arctg \frac{X_s(t)}{X_c(t)} \end{array} \right. \quad (1.7)$$

detti rispettivamente modulo e fase dell'inviluppo complesso.

Proprietà dell'inviluppo complesso $\tilde{x}(t)$

- Si considerino due frequenze f_0 e f_1 e siamo $\tilde{x}(t)$ e $\tilde{x}'(t)$ gli inviluppi complessi di $x(t)$ ad esse relative:

$$\tilde{x}(t) = z(t) e^{-j2\pi f_0 t}$$

$$\tilde{x}'(t) = z(t) e^{-j2\pi f_1 t}$$

In entrambi i casi il modulo vale

$$p(t) = p'(t) = |z(t)|$$

quindi il modulo non dipende dalla frequenza.

ANALISI IN FREQUENZA DELL'INVILUPPO COMPLESSO

Per definizione

$$\boxed{\tilde{x}(t) = X_c(t) + jX_s(t)}$$

nella quale $X_c(t)$ e $X_s(t)$ sono segnali reali; in quanto tali, gli spettri $X_c(f)$ e $X_s(f)$ sono a simmetria Hermitiana e lo spettro $jX_s(f)$ è a simmetria Anti-Hermitiana. Come già detto:

$$\boxed{\tilde{x}(f) = X_c(f) + jX_s(f)}$$

Note: Un segnale complesso $s(t)$, con spettro $S(f)$, può sempre essere scritto come somma di un segnale a simmetria Hermitiana e uno a simmetria Anti-Hermitiana

Per quanto detto:

22

$$S(f) = S_H(f) + S_A(f)$$

$$S_H(f) = S^*_H(-f)$$

$$S_A(f) = -S^*(-f)$$

Inoltre...

$$S_H(f) = \frac{S(f) + S^*(-f)}{2}$$

$$S_A(f) = \frac{S(f) - S^*(-f)}{2}$$

Per la rete appena vista

$$X_C(f) = \frac{\hat{X}(f) + \hat{X}^*(-f)}{2} \quad (1.8)$$

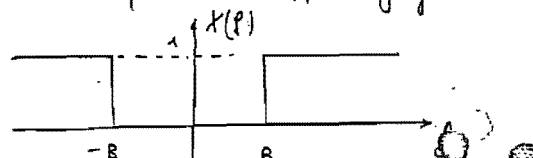
$$X_S(f) = \frac{\hat{X}(f) - \hat{X}^*(-f)}{2j} \quad (1.9)$$

Esempio

Si consideri un segnale $x(t)$ con spettro $X(f)$ di figura.

Determinare $x(t)$ in funzione

delle due componenti in fase e in quadratura.



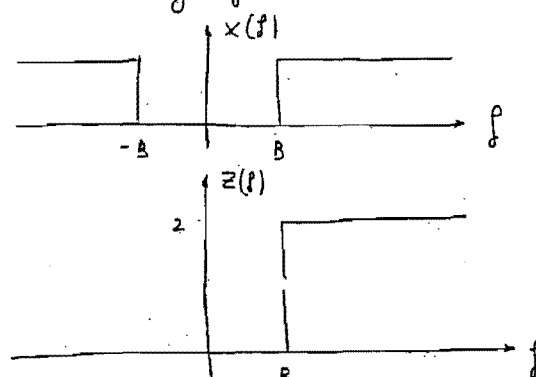
Sappiamo che:

$$x(t) = X_C(t) \cos(2\pi f_0 t) - X_S(t) \sin(2\pi f_0 t)$$

ponendo $f_0 = B$, per via grafica:

$$z(t) = x(t) + j\hat{x}(t)$$

$$z(f) = X(f) + j\hat{X}(f)$$



moto $x(f)$

$$\begin{aligned} \hat{x}(f) &= -J \operatorname{reg}(f) X(f) = \\ &= \begin{cases} -J X(f) & f \geq 0 \\ J X(f) & f < 0 \end{cases} \end{aligned}$$

allora

$$\begin{aligned} Z(f) &= X(f) + J \hat{x}(f) = \\ &= \begin{cases} 2X(f) & f \geq B \\ 0 & f < B \end{cases} \end{aligned}$$

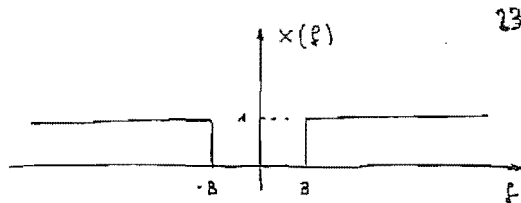
per le due relazioni
(1.8) e (1.9)

$$X_c(f) = \frac{\tilde{X}(f) + \tilde{X}^*(-f)}{2}$$

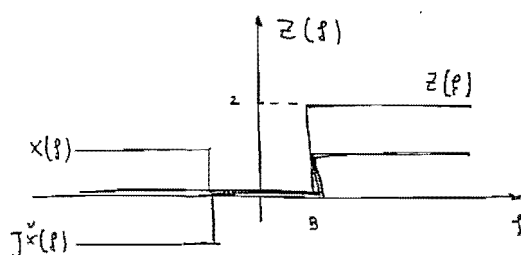
$$X_s(f) = \frac{\tilde{X}(f) - \tilde{X}^*(-f)}{2J}$$

e allora

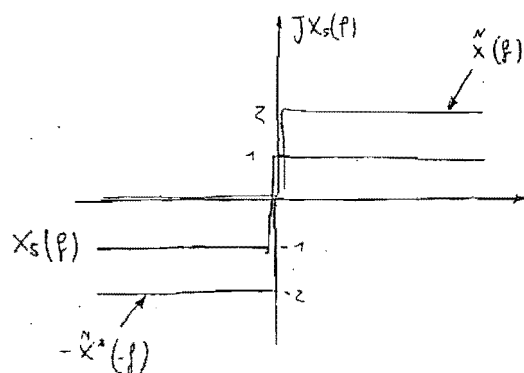
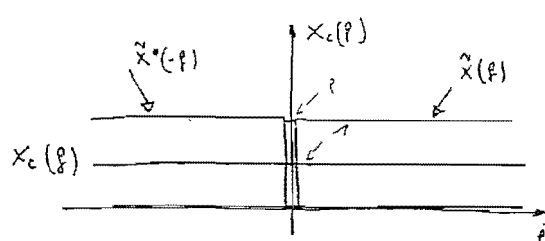
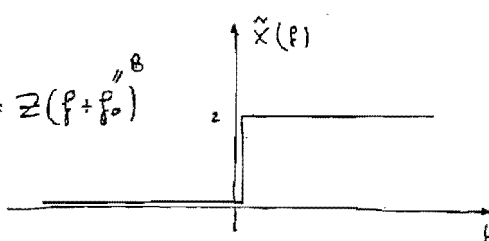
$$\hat{x}(f) = Z(f + f_0)$$



23



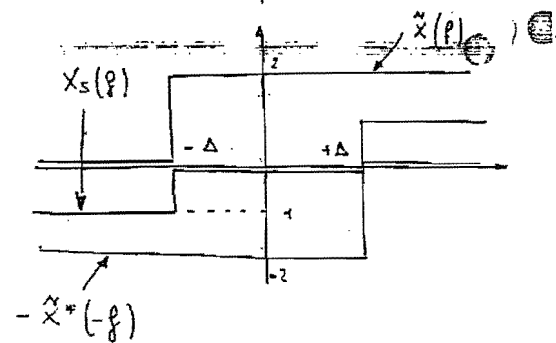
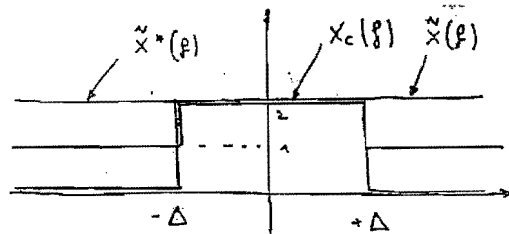
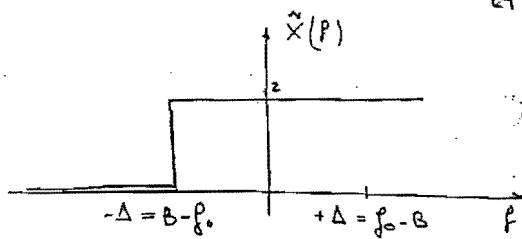
$$\tilde{X}(f) = Z(f + f_0)$$



Supponiamo di prendere $f_0 > B$ così da aumentare le traslazioni, con la quale si ottiene $\tilde{X}(f)$.
Le santeze $X(f)$ e $Z(f)$ rimangono invariati, ciò che cambia è l'inviluppo complesso $\tilde{X}(f)$.

$$\tilde{X}(f) = 1 + \text{rect}\left(\frac{f}{2\Delta}\right)$$

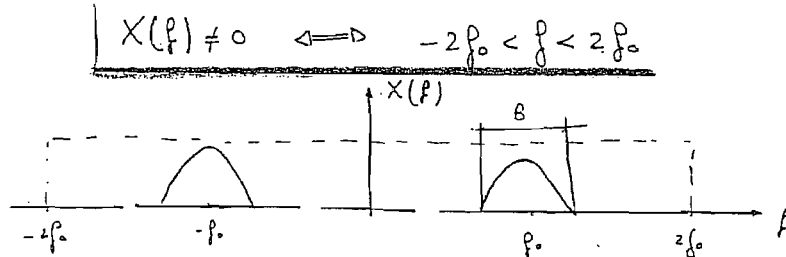
$$\Rightarrow x_c(t) = \delta(t) + \text{sinc}(2\Delta t)$$



Nelle comunicazioni elettriche, analogiche o numeriche che mani, i segnali hanno una BANDA limitata B , centrata su f_0 ; nella maggior parte dei casi f_0 è piuttosto elevata ($f_0 \gg B/2$).

Segnale PASSA BANDA: Si definisce Segnale Pausa Banda $x(t)$

intorno alla frequenza f_0 , se il suo spettro $X(f)$ si estende al più tra $-2f_0$ e $2f_0$, ovvero:



- Proprietà dei segnali Pausa banda:

1. Se $x(t)$ è un segnale Pausa Banda, il suo inviluppo complesso, la campionante in fase e quella in quadratura sono segnali PASSA BASSO di banda f_0 .

Dimostrazione

Per esame è definito $z(t)$ è pausa basso di banda $2f_0$, infatti: $Z(f) \neq 0$ per $0 \leq f \leq 2f_0$.

Siccome campone $\hat{Z}(f) = Z(f + f_0)$

avremo

$$\hat{Z}(f) = Z(f + f_0) \neq 0 \quad \text{per } -f_0 \leq f \leq f_0$$

questo significa che

$$x_c(f) = \frac{\hat{Z}(f) + \hat{Z}^*(-f)}{2} \neq 0 \quad \text{per } -f_0 \leq f \leq f_0$$

$$x_s(f) = \frac{\hat{Z}(f) - \hat{Z}^*(-f)}{j} \neq 0$$

avranno pausa basso di banda f_0 .

Introducendo l'inviluppo complesso $\tilde{x}(t)$ del segnale reale $x(t)$, si ha la possibilità di lavorare con segnali passo basso anziché passo banda in f_0 . La saritanza ci dice che $\tilde{x}(t)$, o analogamente $x_c(t) \in x_s(t)$, sono l'EQUIVALENTE IN BANDA BASE DEL SEGNALE PASSO BANDA $x(t)$. Il vantaggio è evidente se pensiamo che f_0 in genere è la frequenza della portante del segnale $x(t)$ attenuato modulando un qualsiasi segnale da trasmettere. In quanto tale, f_0 può essere molto elevata (nelle comunicazioni satellitari f_0 arriva anche a 90 GHz), per cui può essere davvero problematico progettare circuiti che lavorino a tale frequenza.

Consideriamo allora un segnale Passo Banda centrotone; in f_0 ; sappiamo che se $X(f)$ è lo spettro di $x(t)$,

$$\underline{Z(f) = 2X(f)u(f)}$$

inoltre

$$\begin{aligned} \underline{\tilde{X}(f)} &= Z(f + f_0) = \\ &= 2X(f + f_0)u(f + f_0) \end{aligned}$$

E' evidente che per attenere $\tilde{X}(f)$, basterebbe filtrare con $H_p(f)$ nell'angolare di banda $2f_0$

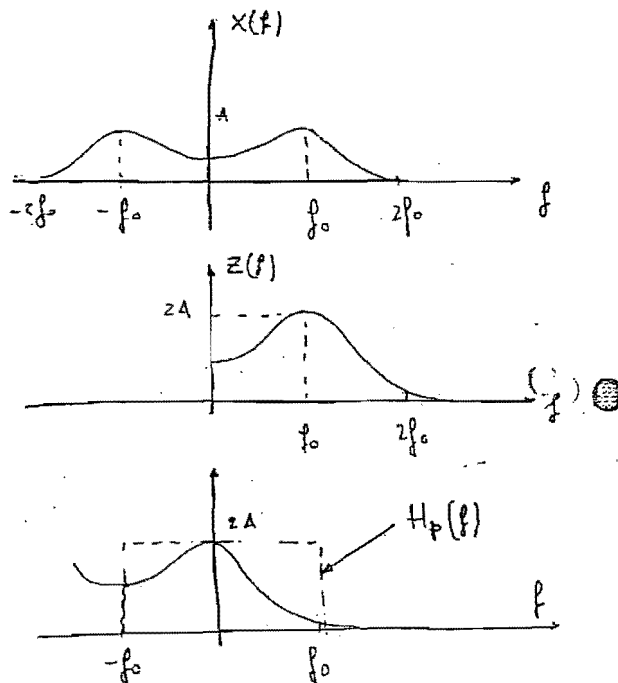
$$\underline{\tilde{X}(f) = 2X(f + f_0)H_p(f)}$$

con

$$H_p(f) = \begin{cases} 1 & -f_0 \leq f \leq f_0 \\ 0 & |f| > f_0 \end{cases}$$

Nel dominio del tempo

$$\begin{aligned} \tilde{x}(t) &= 2 \left[x(t) e^{-j2\pi f_0 t} \right] \otimes h_p(t) = \\ &= 2 \left[x(t) \cos(2\pi f_0 t) - j x(t) \sin(2\pi f_0 t) \right] \otimes h_p(t) = \end{aligned}$$



$$\tilde{x}(t) = X_c(t) + jX_s(t)$$

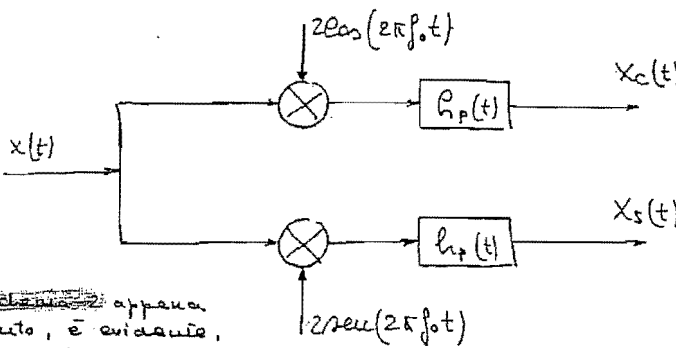
uguagliando parte reale e parte immaginaria

$$X_c(t) + jX_s(t) = 2[x(t) \cos(2\pi f_0 t)] \otimes h_p(t) - j[x(t) \sin(2\pi f_0 t)] \otimes h_p(t)$$

$$\boxed{X_c(t) = 2x(t) \cos(2\pi f_0 t) \otimes h_p(t)} \quad (1.10)$$

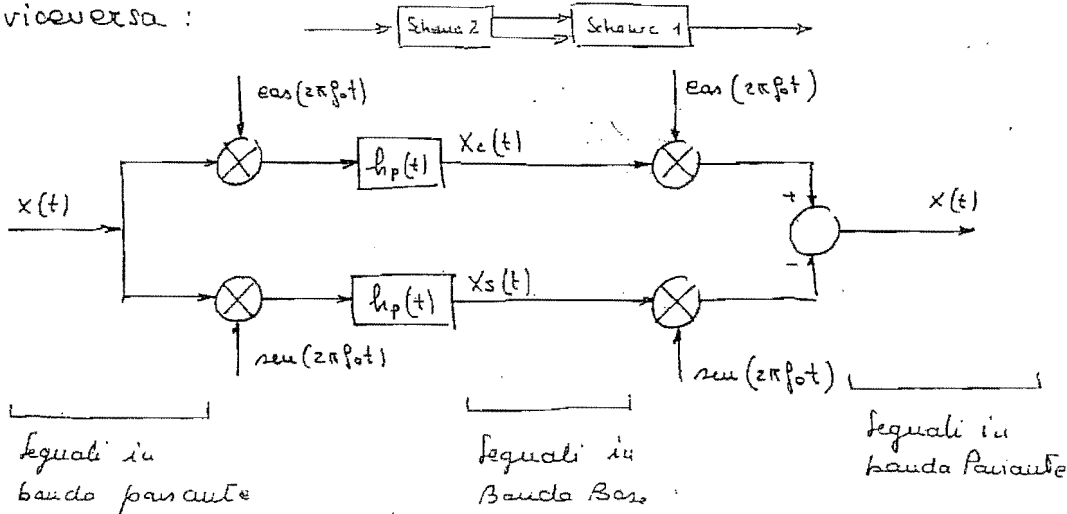
$$\boxed{X_s(t) = -2x(t) \sin(2\pi f_0 t) \otimes h_p(t)} \quad (1.11)$$

sulla base delle relazioni (1.10) e (1.11) appena scritte, perveniamo al seguente schema di passaggio:



~~Lo schema~~ appena disegnato, è evidente, risultò notevolmente semplificato grazie alle proprietà dei segnali pass band.

In generale allora si può tracciare uno schema per il passaggio da segnali in BANDA PASSANTE $x(t)$ a segnali in BANDA BASE $X_c(t)$ e $X_s(t)$ e ancora da segnali in BANDA BASE a segnali in BANDA PASSANTE, e viceversa:

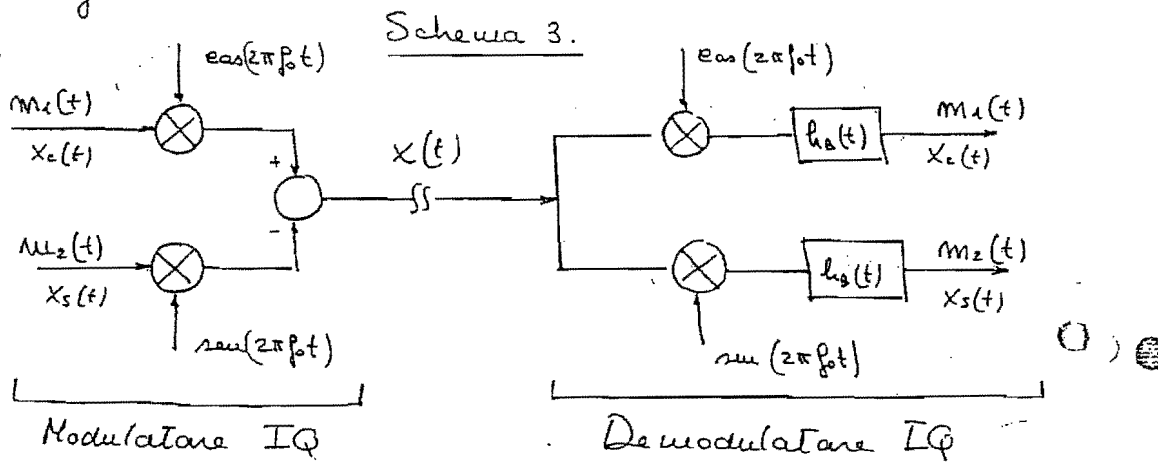


Schema 2 per il passaggio da segnali in BANDA PASSANTE $x(t)$ alle due componenti in fase e in quadratura dell'inviluppo complesso.

segnali in BANDA PASSANTE

Una possibile applicazione dei due schemi (schema 1 e 2, schema 2), può essere la seguente. Siano $m_1(t)$ e $m_2(t)$ due segnali, ad esempio due segnali video, in banda base. Per poter essere trasmessi, devono essere modulati (traslati ad una frequenza più elevata); allora si può pensare di modulare $m_1(t)$ con una portante $\cos(2\pi f_p t)$ e $m_2(t)$ con la stessa in quadratura; in questo modo si ottiene tramite lo schema 1, un unico segnale in banda portante $x(t)$, che può essere trasmesso.

Il ricevitore può allora essere realizzato con lo schema 2 che estrae da $x(t)$ le due componenti dell'inviluppo complesso, che in sostanza sono $m_1(t)$ e $m_2(t)$. Questa operazione è detta MODULAZIONE IQ e permette di trasmettere due segnali m_1 e m_2 , sovrapposti nel tempo e in frequenza. Lo schema realizzativo è il seguente:



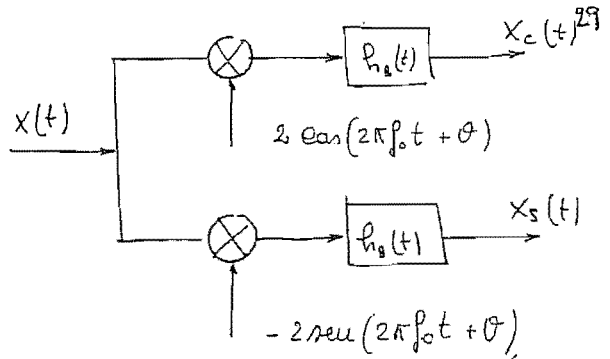
Il problema della MODULAZIONE IQ, risiede nel fatto che, un eventuale ritardo o anticipo di fase nel demodulatore IQ, compromette la paribilità di ricezione i segnali in banda base di origine.

Dallo schema 3, sappiamo che il segnale trasmesso, include i segnali $m_1(t)$ e $m_2(t)$ è nella forma

$$x(t) = m_1(t) \cos(2\pi f_p t) - m_2(t) \sin(2\pi f_p t)$$

Supponiamo che il demodulatore sia del tipo di figura.

^{dimostrazione} Dimostriamo con le formule trigonometriche che affiché $X_c(t) = m_1(t)$ e $X_s(t) = m_2(t)$, deve essere $\theta = 0$.



$$\cos(\omega_0 t) \cos(\omega_0 t + \theta) = \cos(2\omega_0 t + \theta) + \cos(\theta)$$

$$\sin(\omega_0 t) \cos(\omega_0 t + \theta) = \sin(2\omega_0 t + \theta) - \sin(\theta)$$

$$\begin{aligned} X_c(t) &= 2X(t) \cos(2\pi f_0 t + \theta) = \\ &= 2m_1(t) \cos(2\pi f_0 t) \cos(2\pi f_0 t + \theta) - 2m_2(t) \sin(2\pi f_0 t) \cos(2\pi f_0 t + \theta) = \\ &\quad \text{dove } \cancel{\cos(\omega_0 t) \cos(\omega_0 t + \theta)} = \cancel{\sin(2\omega_0 t + \theta)} - \cancel{\sin(\theta)} \end{aligned}$$

i termini in $2\omega_0$ vengono eliminati dal filtraggio h_1

- perché escono dalla banda, quindi rimane: con le formule di addizione di seno e coseno:

$$2X(t) \cos(2\pi f_0 t + \theta) = m_1(t) \cos \theta - m_2(t) \sin \theta$$

Valendo

$$X_c(t) = m_1(t)$$

$$m_1(t) \cos \theta - m_2(t) \sin \theta = m_1(t)$$

si deduce

$$\theta = 0$$

Analogo discorso si può fare per ottenere $X_s(t) = m_2(t)$.

Per poter demodulare correttamente il segnale ricevuto gli oscillatori di portante non devono essere sfasati tra loro. Al più se lo sfasamento fatto $\theta = \pi/2$, allora avremo $X_c(t) = m_2(t)$ e $X_s(t) = m_1(t)$

In molti casi per non incorrere in eventuali sfasamenti, la portante viene adattata direttamente dal segnale ricevuto, tramite un dispositivo detto ESTRATTORE DI SINCRONISMO. Ha preroga di ruotare

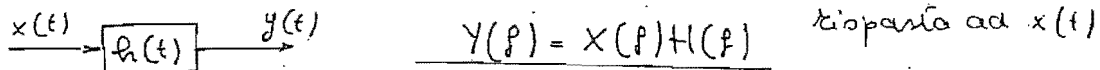
molto spesso ci si deve accontentare di ottenere ³⁰
la stessa frequenza, ma un leggero sfavorevole.
E' evidente che se θ è molto piccolo

$$\cos \theta \approx 1 \quad \text{e} \quad \sin \theta \approx 0$$

quindi

$$m_1(t) \cos \theta - m_2(t) \sin \theta \approx m_1(t)$$

Sappiamo di avere $X(t)$ e $h(t)$ pure banda; allora il seguente attenuto come uscita del blocco $h(t)$ in



è a sua volta un seguale pure banda; in realtà affluisce anche $y(t)$ ma pure banda, basterebbe che almeno uno dei due fra $x(t)$ e $h(t)$ fosse fuori banda, infatti, per $|f| > 2 f_0$, uno dei due sarebbe nullo e così $y(t)$.

Ricaviamo l'inviluppo complesso $\tilde{y}(t)$ da quelli di $x(t)$ e $h(t)$. Sappiamo che:

$$\begin{aligned} \tilde{Y}(f) &= 2Y(f+f_0)H_p(f) = \\ &= 2 \left[\frac{1}{2} \cdot 2 X(f+f_0) H(f+f_0) H_p(f) + H_p(f) \right] = \\ &= \frac{1}{2} \left[2 X(f+f_0) H_p(f) \cdot 2 H(f+f_0) H_p(f) \right] = \\ &= \frac{1}{2} \tilde{H}(f) \tilde{X}(f) \quad (1.12) \end{aligned}$$

Allora:

$$(1.13) \quad \tilde{y}(t) = \frac{1}{2} \tilde{h}(t) \otimes \tilde{x}(t) \quad \xrightarrow{\tilde{x}(t)} \boxed{\frac{1}{2} \tilde{h}(t)} \rightarrow \tilde{y}(t)$$

Scriviamo $\tilde{y}(t)$ esplicitando le due componenti:

$$\tilde{y}(t) = y_c(t) + \bar{J} y_s(t)$$

inoltre:

$$\tilde{y}(t) = \frac{1}{2} \tilde{x}(t) \otimes \tilde{h}(t) =$$

$$\begin{aligned}
 &= [x_c(t) + jx_s(t)] \otimes \frac{1}{2} [h_c(t) + jh_s(t)] = \\
 &= [x_c(t) \otimes \frac{1}{2} h_c(t) - x_s(t) \otimes \frac{1}{2} h_s(t)] + \\
 &\quad + j \left[x_s(t) \otimes \frac{1}{2} h_c(t) + x_c(t) \otimes \frac{1}{2} h_s(t) \right]
 \end{aligned}$$

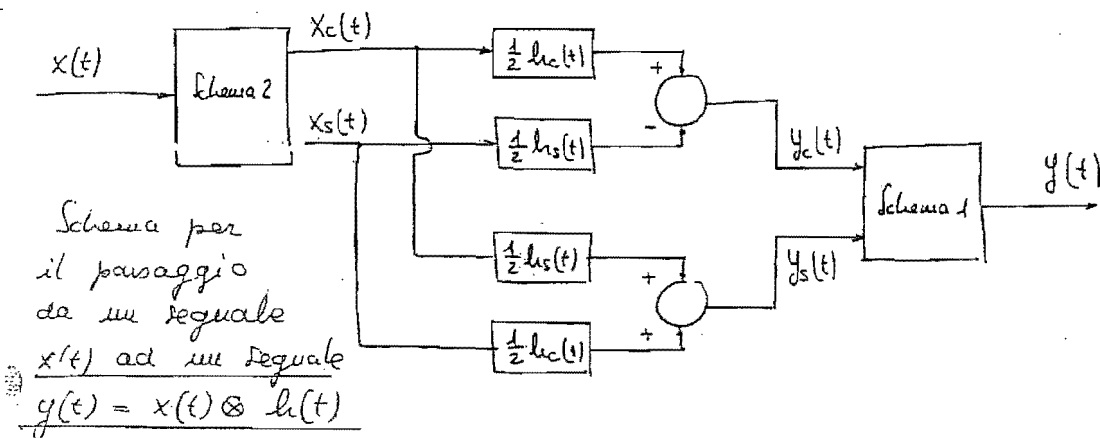
31

uguagliando parte reale e parte immaginaria

$$y_c(t) = x_c(t) \otimes \frac{1}{2} h_c(t) - x_s(t) \otimes \frac{1}{2} h_s(t) \quad (1.1)$$

$$y_s(t) = x_s(t) \otimes \frac{1}{2} h_c(t) + x_c(t) \otimes \frac{1}{2} h_s(t) \quad (1.2)$$

Sulla base delle relazioni appena scritte si
avrà il seguente schema:



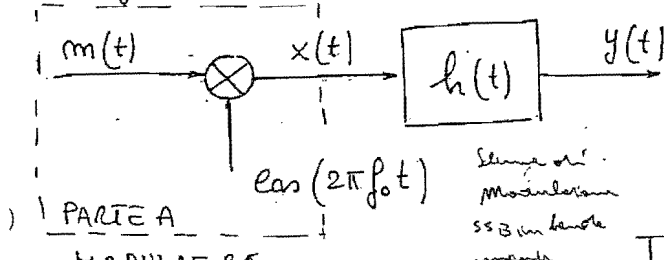
Girare!

MODULAZIONE SSB

32

Si consideri un segnale $m(t)$ para banda, con banda B e un filtro $h(t)$ para banda,

Analizziamo il funzionamento dello schema seguente:



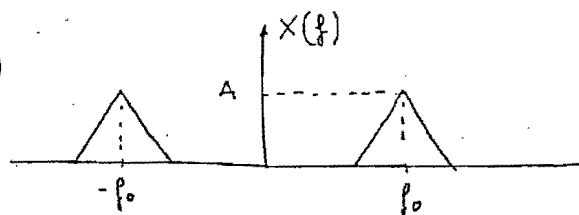
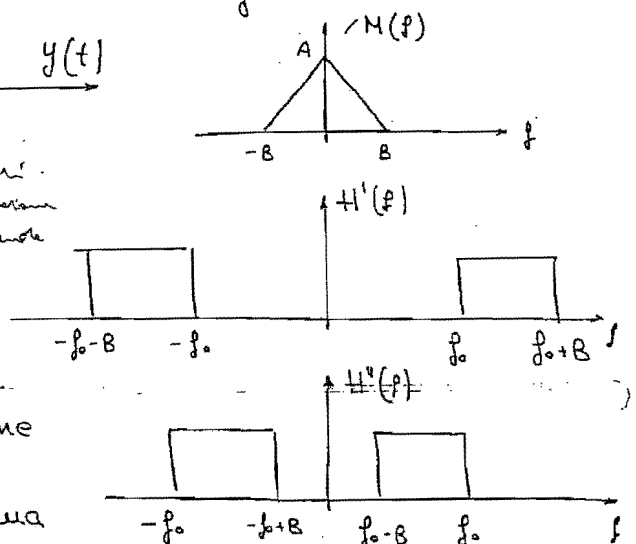
PARTE A
MODULATORE

La parte A del sistema opera ripetuto, ma è
che un MODULATORE. Siccome
lo spettro di $m(t), H(f)$,
è a Simmetria Hermitiana
conoscendo la parte delle
frequenze positive o quella delle frequenze negative, è
nato l'intero spettro $H(f)$. La parte di spettro di
un segnale para banda delle frequenze positive è
detta BANDA LATERALE SUPERIORE (Upper Band UB),
mentre quella per frequenze negative è detta
BANDA LATERALE INFERIORE (Lower Band LB).

La parte A del dispositivo, ma fa che traslare
lo spettro di $m(t)$, centrandolo in f_0 e $-f_0$;

esso si dice MODULATORE A

DOPPIA BANDA LATERALE (DSB)

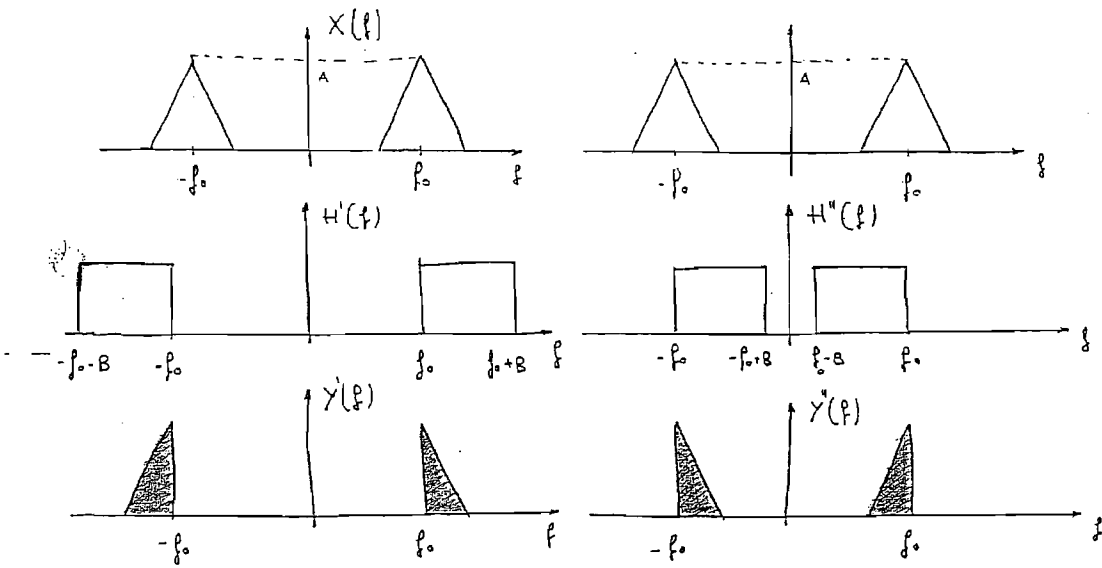


Nata la simmetria dello spettro di $X(f)$, si può
pensare di limitare l'occupazione frequenziale,
eliminando una delle due bande laterali. In
questo modo si ottiene un segnale A SINGOLA
BANDA LATERALE. Questa operazione può essere

eseguita con il filter bank, detto FILTRO SSB.

33

L'eliminazione della banda laterale, può essere di due tipi: Se si impiega il filtro $h'(t)$, si elimina la banda laterale inferiore attenuando un segnale SSB-UR (Single Side Band - Upper Band); se si usa il filtro $h''(t)$, si elimina la banda superiore; attenuando un segnale SSB-LB (Single Side Band - Lower Band).



MODULAZIONE SSB-UB

MODULAZIONE SSB - LB

Così il dispositivo impiegato, detto MODULATORE SSB

si passa da un segnale in banda base ad uno in banda passante e poi si esegue il filtraggio

Vediamo gli equivalenti in banda base di $x(t)$ e $y(t)$

$$y(t) = x(t) \otimes h(t)$$

allora, per la (1.13)

$$\tilde{y}(t) = \tilde{x}(t) \otimes \frac{1}{2} \tilde{h}(t)$$

asseriamo che $\tilde{x}(t) = m(t)$, ovvero

$$x_c(t) = m(t)$$

$$x_s(t) = 0$$

Analogamente

nato $H(f)$, attraverso le relazioni seguenti, si determinano le due componenti:

$$H_c(f) = \frac{\tilde{H}(f) + \tilde{H}^*(-f)}{2}$$

$$H_s(f) = \frac{\tilde{H}(f) - \tilde{H}^*(-f)}{2j}$$

Siccome $H_c(f)$ deve filtrare $x_c(f)$ che è già di banda B , si può assumere:

$$H_c(f) = 1$$

Analogamente

$$H_s(f) = \begin{cases} 1 & f \geq 0 \\ -1 & f < 0 \end{cases} = -j \operatorname{segno}(f)$$

Si deduce che

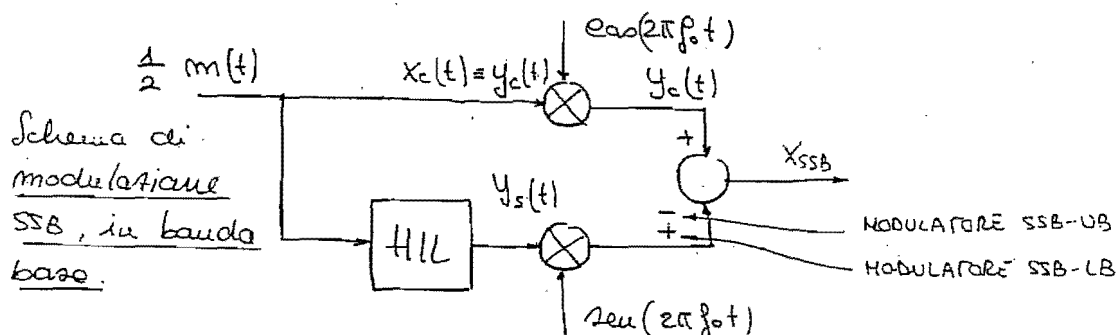
$$\tilde{H}(f) = \text{FILTRO DI HILBERT}$$

ponendo $x_s(t) = 0$ nelle (1.14) e (1.15) si ottiene:

$$y_c(t) = x_c(t) \otimes \frac{1}{2} h_c(t)$$

$$y_s(t) = x_c(t) \otimes \frac{1}{2} h_s(t)$$

che si trascrive nel seguente schema



La differenza tra quest'ultimo dispositivo e quello iniziale consiste nel fatto che l'ultimo esegue l'operazione di filtraggio direttamente sui segnali in banda base e poi esegue la traslazione.

Di fatto i due sono equivalenti.

Dallo schema appena tracciato, si può scrivere l'espressione di $y(t)$ in forma chiusa:

$$y(t) = \frac{m(t)}{2} \cos(2\pi f_0 t) - \frac{\dot{m}(t)}{2} \sin(2\pi f_0 t) \quad \text{SSB-UB}$$

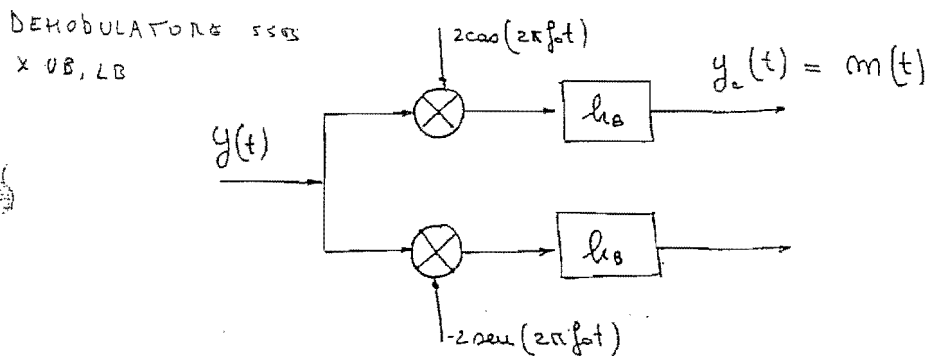
$$\underline{y(t)} = \frac{m(t)}{2} \cos(2\pi f_0 t) + \frac{\dot{m}(t)}{2} \sin(2\pi f_0 t) \quad \text{SSB-LB}$$

Dalle due espressioni si deduce che

$\frac{m(t)}{2}$ = componente in fase

$\frac{\dot{m}(t)}{2}$ = componente in quadratura

Allora $m(t)$ può essere ottenuto dal ramo superiore del dispositivo rappresentato nello schema 2.



Questo è lo schema realizzativo del DEMODOLATORE SSB e vale sia per UB che LB.

Qualsiasi segnale $x(t)$, arbitrario visto, può essere scritto come somma di due componenti in fase e in quadratura.

Se $x(t)$ è passa banda, $X_c(t)$ e $X_s(t)$ sono in banda base.

$$X(t) = X_c(t) \cos 2\pi f_0 t - X_s(t) \sin 2\pi f_0 t$$

Se $X(t)$ è ad ENERGIA FINITA

$$E_x = \frac{1}{2} E_c + \frac{1}{2} E_s \quad (2.1)$$

$$\begin{cases} E \infty \Rightarrow P = 0 \\ P \infty \Rightarrow E = \infty \end{cases}$$

Se $X(t)$ è a POTENZA FINITA

$$P_x = \frac{1}{2} P_c + \frac{1}{2} P_s \quad (2.2)$$

Ricordiamo che se un segnale è a Energia finita allora è a Potenza media nulla; viceversa se è a potenza media finita allora è ad Energia infinita.

Ricordiamo anche due importanti risultati

$$(2.3) \int_{-\infty}^{+\infty} S_1(t) S_2^*(t) dt = \int_{-\infty}^{+\infty} S_1(f) S_2^*(f) df \quad \text{TEOREMA DI PARSEVAL}$$

$$(2.4) \int_{-\infty}^{+\infty} |S_1(t)|^2 dt = \int_{-\infty}^{+\infty} |S_1(f)|^2 df \quad \text{UQUAGLIANZA DI PARSEVAL}$$

Dimostrazione (della (2.1), per la (2.2) si ha la dim. analoga)

Sappiamo che

$$X(t) = \operatorname{Re} \left\{ \tilde{x}(t) e^{j2\pi f_0 t} \right\} =$$

$$\text{Proprietà dei numeri complessi: } = \frac{1}{2} \tilde{x}(t) e^{j2\pi f_0 t} + \frac{1}{2} \tilde{x}^*(t) e^{-j2\pi f_0 t}$$

Allora dall' uguaglianza di Parseval:

$$\begin{aligned} E_x &= \int_{-\infty}^{+\infty} |x(t)|^2 dt = \int_{-\infty}^{+\infty} \left[\frac{1}{2} \tilde{x}(t) e^{j2\pi f_0 t} + \frac{1}{2} \tilde{x}^*(t) e^{-j2\pi f_0 t} \right]^2 dt = \\ &= \frac{1}{4} \int_{-\infty}^{+\infty} \tilde{x}^2(t) e^{j4\pi f_0 t} dt + \frac{1}{4} \int_{-\infty}^{+\infty} \tilde{x}^{*2}(t) e^{-j4\pi f_0 t} dt + \frac{1}{2} \int_{-\infty}^{+\infty} |\tilde{x}(t)|^2 dt = \end{aligned}$$

Analizziamo i singoli integrali:

$$\int_{-\infty}^{+\infty} \tilde{x}^2(t) e^{j4\pi f_0 t} dt = \quad (A)$$

38

ponendo

$$\tilde{x}^2(t) = s_1(t) \text{ e } e^{j4\pi f_0 t} = s_2(t)$$

e applicando il teorema di Parseval

$$\int_{-\infty}^{+\infty} \tilde{x}^2(t) e^{j4\pi f_0 t} dt = \int_{-\infty}^{+\infty} [\tilde{x}(f) \otimes \tilde{x}(f)] \cdot \delta(f + 2f_0) df =$$

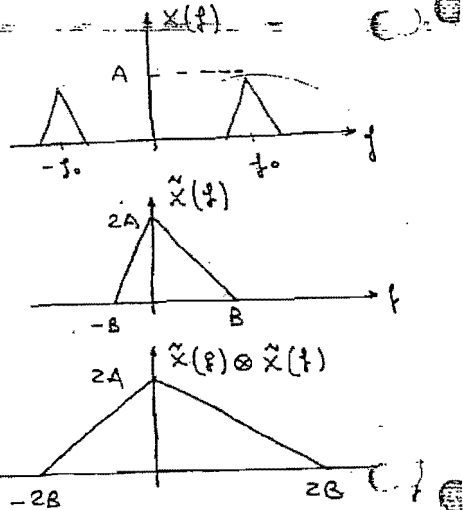
ricordando che ponendo $\tilde{x}(t)$ in banda base

proprietà
che deriva
dalla teoria dei segnali

$$(\tilde{x}(f) \neq 0 \iff |f| < f_0) \Rightarrow \begin{cases} \tilde{x}(f) \otimes \tilde{x}(f) \neq 0 \\ \text{per } |f| < 2f_0 \end{cases}$$

e ricordando che la moltiplicazione per un δ
equivale alla traslazione:

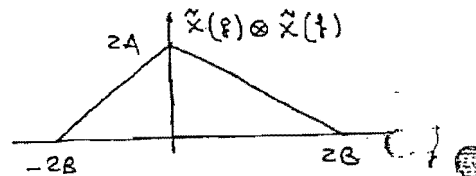
$$\int_{-\infty}^{+\infty} [\tilde{x}(f) \otimes \tilde{x}(f)] \delta(f + 2f_0) df = \\ = [\tilde{x}(f) \otimes \tilde{x}(f)] \Big|_{f=2f_0} = 0$$



Allora l'integrale (A) è nullo.

L'integrale (B)

$$\int_{-\infty}^{+\infty} \tilde{x}^*(t) e^{-j4\pi f_0 t} dt =$$



è anch'esso nullo poiché

$$\int_{-\infty}^{+\infty} \tilde{x}^*(t) e^{-j4\pi f_0 t} dt = \left[\int_{-\infty}^{+\infty} \tilde{x}^2(t) e^{j4\pi f_0 t} dt \right]^* = 0$$

otteniamo allora che

$$\underline{E_x} = \frac{1}{2} \int_{-\infty}^{+\infty} |\tilde{x}(t)|^2 dt = \frac{1}{2} \int_{-\infty}^{+\infty} [X_C(t) + X_S(t)] dt = \\ = \frac{1}{2} E_C + \frac{1}{2} \bar{E}_S$$

(Rappresentazione complessa di processi reali)

Si consideri un generico processo stocastico $N(t)$; ricordiamo che ad esso sono associate infinite "realizzazioni" che di fatto non sono altro che segnali determinati: $N(t) \rightarrow M_1(t), M_2(t), \dots, M_n(t)$

TRASFORMATA DI HILBERT $\tilde{N}(t)$

La trasformata di Hilbert è definita esattamente come per i segnali reali:

$$\begin{aligned} \tilde{N}(t) &= N(t) * h(t) \text{ con } h(t) = \frac{1}{\pi t} \\ \tilde{N}(f) &= N(t) H(f) \text{ con } H(f) = -J \operatorname{segu}(f) \end{aligned}$$

PROCESSO ANALITICO $Z(t)$

Si definisce processo analitico $Z(t)$ di $N(t)$, il processo complesso che ha per parte reale il processo $N(t)$ stesso e per parte immaginaria la trasformata di Hilbert $\tilde{N}(t)$ del processo di partenza.

$$Z(t) = N(t) + J \tilde{N}(t)$$

In sostanza il processo analitico è il processo che ha come realizzazioni i segnali analitici delle realizzazioni del processo di partenza:

$$\begin{aligned} Z_1(t) &= M_1(t) + J \tilde{M}_1(t) \\ Z_2(t) &= M_2(t) + J \tilde{M}_2(t) \\ \vdots \\ Z_n(t) &= M_n(t) + J \tilde{M}_n(t) \end{aligned}$$

INVOLUCCRO COMPLESSO $\tilde{N}(t)$ DEL PROCESSO $N(t)$ RISPETTO A f_0

Scelta una frequenza arbitraria f_0 si definisce inviluppo complesso $\tilde{N}(t)$ del processo $N(t)$ rispetto alla frequenza f_0 , il processo ottenuto moltiplicando il processo analitico $Z(t)$ per l'esponentiale $\exp(-J2\pi f_0 t)$.

avverto:

$$\begin{aligned}\tilde{N}(t) &= Z(t) e^{-j2\pi f_0 t} \\ \tilde{N}(f) &= Z(f + f_0)\end{aligned}$$

40

Anche in questo caso l'inviluppo complesso, può essere espresso come somma di una CORPORENTE IN FASE $N_c(t)$ e una CORPORENTE IN QUADRATURA $N_s(t)$:

$$\tilde{N}(t) = N_c(t) + j N_s(t)$$

Analogamente, l'inviluppo complesso di un processo, non è che il processo che ha per realizzazioni gli inviluppi complessi delle realizzazioni del processo $N(t)$ di potenza

$$\tilde{m}_1(t) = M_{c1}(t) + j M_{s1}(t)$$

$$\tilde{m}_2(t) = M_{c2}(t) + j M_{s2}(t)$$

$$\vdots \\ \tilde{m}_n(t) = M_n(t) + j M_{sn}(t)$$

In generale ogni operazione definita per i segnali determinati, applicata ad un processo, equivale alla stessa applicata a ciascuna realizzazione.

Ogni schema visto per i segnali è da ritenersi valido per i processi, con le dovute considerazioni.

RICHIAMI SULLA STAZIONARITÀ DI UN PROCESSO

Un processo si dice STAZIONARIO IN SENSO STRETTO (sss) se le sue statistiche non dipendono dall'origine dell'asse dei tempi; in sostanza se i processi

$$X(t) \text{ e } X(t+\varepsilon)$$

con ε arbitrario hanno le stesse statistiche.

In sostanza tutte le statistiche di primo ordine $\eta_x, \sigma_x^2, E\{X^2\}$ non dipendono da t . Finito $t = \bar{t}$, tutte le variabili aleatorie estratte sono equidistribuite (uguale val. medio), uguale potenza media e uguale varianza.

Un processo si dice STAZIONARIO IN SENSO LATO (SSL)⁴¹ se la funzione valor medio è costante e la funzione di autocorrelazione non dipende da t_1 e t_2 ma solo dalla differenza N :

$$R_x(t_1, t_2) = R_x(N) \quad N = t_1 - t_2$$

$$\eta_x(t) = \eta_x = \text{costante}$$

IPOTESI SEMPLIFICATIVA

Nella pratica, i processi che descrivono fenomeni come ad esempio il "rumore", sono soggetti ad alcune ipotesi semplificative. In particolare supponiamo che il processo $N(t)$ sia stazionario in senso lato (SSL) e media nulla:

$$E\{N(t)\} = \eta_N = 0$$

Funzione Autocorrelazione

$$R_{NN}(N) = E\{N(t+N)N(t)\}$$

Sotto queste ipotesi, si può dimostrare che l'inviluppo complesso del processo $\tilde{N}(t)$ è a sua volta stazionario in senso lato a valor medio nullo:

$$E\{\tilde{N}(t)\} = 0$$

Funzione Autocorrelazione

$R_{NN}(N)$ è un segnale determinato;

$$R_{\tilde{N}\tilde{N}}(N) = E\{\tilde{N}(t+N)\tilde{N}(t)\} =$$

$$= \tilde{R}_{NN}(N)$$

PROCESSI IN BANDA PASSANTE (o Processi Passa Banda)

Processo PASSA BANDA: Si definisce Processo Passa Banda $N(t)$, intorno ad una frequenza f_0 , se la sua funzione di Autocorrelazione è un segnale determinato di tipo Passa Banda. Questo significa che la Densità spettrale di potenza, $S_{NN}(f)$, che è l'equivalenza

in frequenza dell'autocorrelazione è mai nullo. Solo nell'intervallo che va da $-2f_0$ a $2f_0$.

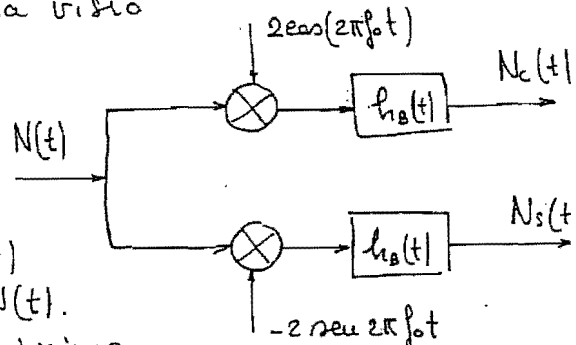
$$S_{NN}(f) \neq 0 \iff |f| \leq 2f_0$$

Proprietà dei Processi Pausa Banda:

Sia $N(t)$ un processo Pausa Banda, avremo tale che:

$$S_{NN}(f) \neq 0 \iff |f| < 2f_0$$

Mettere un processo in ingresso ad un sistema, significa trasformare, attraverso il sistema stesso, tutte le realizzazioni del processo. Per passare dal processo $N(t)$ alle componenti in fase e in quadratura $N_c(t)$ e $N_s(t)$ di $\tilde{N}(t)$, si utilizza lo stesso schema 2 impiegato per i segnali determinati; analogamente per l'operazione inversa si utilizza lo schema 1 già visto.



Determiniamo ora

le statistiche di $N_c(t)$

e $N_s(t)$ da quelle di $N(t)$.

Supposto $N(t)$, come prima,

SSL, a valore medio nullo e pausa banda, possiamo

dire, come accadeva per i segnali determinati, che

processi $N_c(t)$ e $N_s(t)$ sono stazionari SSL e a valore medio nullo.

$$\mathbb{E}\{N_c(t)\} = \mathbb{E}\{N_s(t)\} = 0$$

Qualora la funzione di autocorrelazione è la stessa per le due componenti:

$$R_{cc}(n) = \mathbb{E}\{N_c(t+n)N_c(t)\} = \mathbb{E}\{N_s(t+n)N_s(t)\} = R_{ss}(n)$$

In particolare $R_{cc}(n)$ e $R_{ss}(n)$ sono la COPONENTE IN FASE di $R_{NN}(n)$.

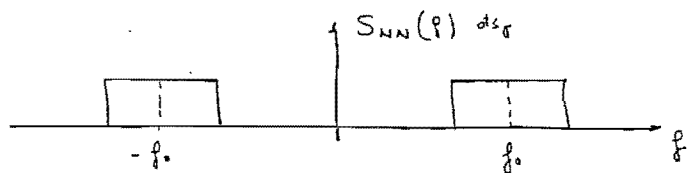
Per quanto riguarda la funzione di crosscorrelazione⁴³ di $N_s(t)$ e $N_c(t)$, avremo:

$$R_{sc}(N) = \mathbb{E} \{ N_s(t+N) N_c(t) \}$$

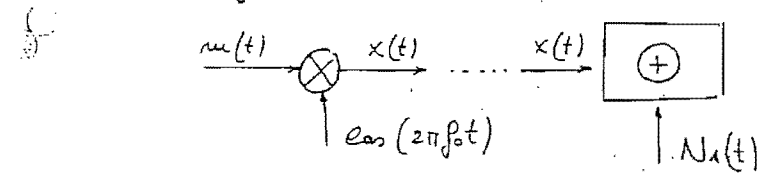
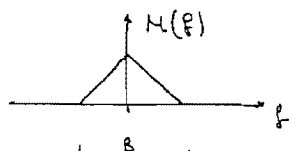
che, in particolare è la CORPORENTE IN QUADRATURA di $R_{NN}(N)$.

Esempio

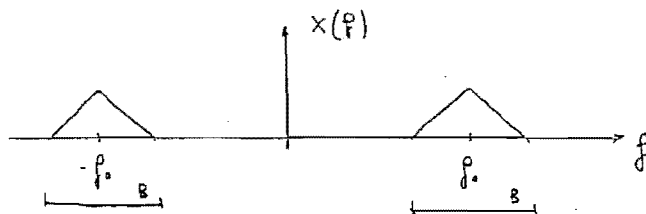
Si consideri il processo $N_s(t)$ attenuato dal filtraggio passa banda dell'AWGN; ricordiamo che l'AWGN ha densità spettrale di potenza costante e pari a $N_0/2$, quindi filtrando con banda centrata in f_0 , attenuiamo che la densità spettrale di pot. di $N_s(t)$ risulta:



Questo di fatto è il rumore che si sovrappone al segnale utile. Supponiamo di avere un segnale $m(t)$ di banda $B/2$ come segue
Supponiamo di modulare $m(t)$ in f_0 come segue



In frequenza:



La ricezione $X(f)$ deve essere filtrato in modo da eliminare quanto più rumore pavimentale, lasciando inalterato il segnale X .

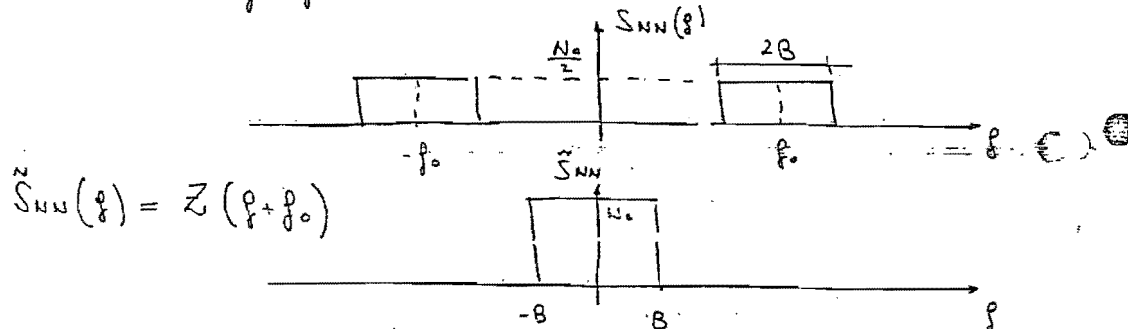
Calcoliamo le statistiche del rumore, in particolare, ⁴⁴
Autocorrelazione e Crosscorrelazione delle componenti
in fase e in quadratura:

$$R_{ss}(N) = R_{cc}(N) \quad \text{e} \quad R_{sc}(N)$$

che in frequenza corrispondono a

$$S_{cc}(f) = S_{ss}(f) \quad \text{e} \quad S_{sc}(f)$$

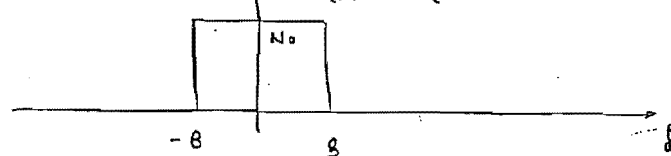
Scelta f_0 la frequenza rispetto alla quale calcolare S , avremo graficamente:



Come per i segnali determinati

$$S_{cc}(f) = S_{ss}(f) = \frac{S_{NN}(f) + S_{NN}^*(-f)}{2} = S_{NN}(-f)$$

$$S_{ss}(f) = S_{cc}(f)$$



Analogamente:

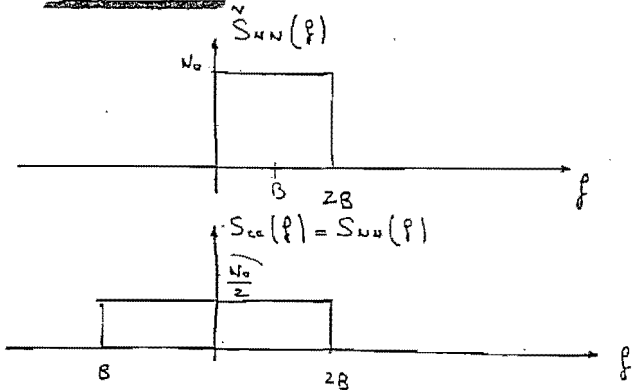
$$S_{sc}(f) = \frac{S_{NN}(f) - S_{NN}^*(-f)}{2j} = S_{NN}(-f)$$

$$jS_{sc}(f)$$

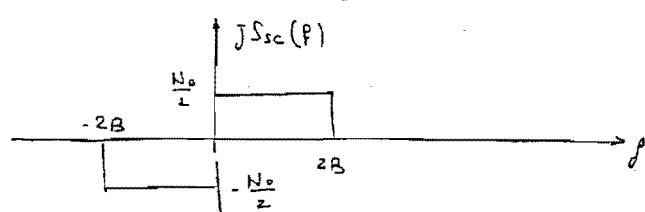
Come visto i segnali N_c e N_s sono PASSA BASSO di banda $2B$. Se $S_{sc}(f) = 0$, i due processi

N_c e N_s sono INCORRECATI; risalire sono anche a 45
media nullo, perché AWGN è tale, sono
independenti. Essendo $N(t)$ gaussiano anche N_c e N_s

Calealiamo l'inviluppo Completo del processo $\tilde{S}_{NN}(f)$
rispetto alla frequenza $f_1 = B$: come prima



Come si vede dai
grafici N_c e N_s non
sono più incorrelati.



Modulare un segnale, significa imparire la variazione di una grandezza in base all'andamento del segnale da trasmettere stesso.

Si consideri un segnale $x(t)$ di banda B (tipicamente da zero a qualche MHz); si supponga $x(t)$ a media nulla; questa ipotesi è ragionevole, perché le informazioni sono contenute nella variazione del segnale rispetto al valore medio, inapprezzibilmente dal valore che esso assume. Un'altra ipotesi è sul modulo del segnale, poniamo:

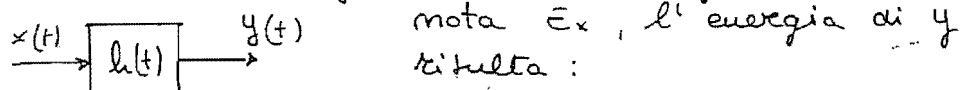
$$|x(t)| \leq 1$$

se con una fase basterebbe amplificare o attenuare il segnale senza compromettere il contenuto informativo; si suppone allora di normalizzare l'amplitude del segnale. Questa ipotesi ha conseguenze sulla potenza del segnale, infatti

$$P_x = \lim_{T \rightarrow \infty} \frac{1}{T} \int_{-\frac{T}{2}}^{\frac{T}{2}} x^2(t) dt \leq 1 \text{ perché } |x(t)| \leq 1$$

Esempio

Si consideri un segnale $x(t)$ e un filtro $h(t)$



posta \bar{x} , l'energia di y risulta:

$$\bar{E}_y = \int_{-\infty}^{+\infty} y^2(t) dt =$$

per l'uguaglianza di Parseval

$$\begin{aligned} \bar{E}_y &= \int_{-\infty}^{+\infty} y^2(t) dt = \int_{-\infty}^{+\infty} |Y(f)|^2 df = \\ &= \int_{-\infty}^{+\infty} |X(f)|^2 |H(f)|^2 df = \end{aligned}$$

$$|H(f)| = 1$$

allora

$$E_y = \int_{-\infty}^{+\infty} |X(f)|^2 df = E_x$$

Riassumendo le ipotesi, consideriamo segnali $x(t)$ caratterizzati da:

- | | |
|--|---------|
| A. Banda B passa basso | (4.1.1) |
| B. $x(t)$ a media nulla | (4.1.2) |
| C. Ampiezza normalizzata $ x(t) \leq 1$ | (4.1.3) |

Gli motivi per cui si applica una modulazione, prima di trasmettere un segnale, sono i seguenti:

1. ADATTAMENTO DEL SEGNALE AL CANALE

Un qualunque canale trasmissivo, predilige un segnale all'interno di una banda specificata.

2. MULITPLAZIONE

Per far esistere più segnali su di uno stesso canale, vengono assegnati intervalli di frequenza a ciascun utente; con la modulazione ci si porta in questi intervalli predefiniti.

3. IMMUNITÀ AI DISTURBI

Come vedremo modulando un segnale, si rende lo stesso più immune ai disturbi; spesso questo accade a spese di un maggiore ingombro frequenziale.

4. REALIZZABILITÀ DEI HARDWARE

Può accadere che un determinato dispositivo lavori in maniera ottimale in un certo intervallo di frequenza, allora modulando, ci si propone di lavorare esattamente in quella zona.

In generale una modulazione è caratterizzata da:

A. SEGNALE MODULANTE $x(t)$ che è di fatto il segnale da trasmettere.

B. SEGNALE PORTANTE $p(t)$ caricaide nella forma

$$p(t) = A_0 \cos(\omega_0 t + \theta_0)$$

A seconda del tipo di modulazione, si varia l'ampiezza della portante (AM), la frequenza della portante (FM) o la fase della portante (PM)

MODULAZIONI LINEARI

MODULAZIONE DI AMPIEZZA (AM)

In generale un segnale MODULATO IN AMPIEZZA (AM) ha un'espressione del tipo:

$$X_{AM}(t) = A_0 [1 + \mu x(t)] \cos(2\pi f_0 t + \theta_0) \quad (4.2)$$

nella quale l'ampiezza è funzione del tempo, che dipende da $x(t)$:

$$A(t) = A_0 [1 + \mu x(t)] = A_0 + \mu A_0 x(t) \quad (4.3)$$

l'ampiezza del segnale modulato in ampiezza $A(t)$ è proporzionale tramite μ a $x(t)$. La costante μ è detta INDICE DI MODULAZIONE DI AMPIEZZA.

Il segnale $X_{AM}(t)$ è un segnale pura banda, scampionabile in campionare in fase e campionare in quadratura:

$$(4.4) \quad X_{AM}(t) = X_c(t) \cos(2\pi f_0 t + \theta_0) - X_s(t) \sin(2\pi f_0 t + \theta_0)$$

Osservazione: la scrittura (4.4) discende da una definizione più generale di inviluppo complesso:

$$\tilde{X}_{AM}(t) = Z_{AM}(t) e^{-j(2\pi f_0 t + \theta_0)}$$

Dalla (4.2) e dalla (4.4) si evince che in un segnale 49 modulato in ampiezza $x_M(t)$ la componente in fase è $A(t)$, come nella (4.3), mentre quella in quadratura è nulla.

ANDAMENTO TEMPORALE

Consideriamo un generico segnale $x(t)$, sotto le ipotesi (4.1.1), (4.1.2) e (4.1.3). Come in figura.

Moltiplichiamo $x(t)$ per l'indice μ e distinguiamo due casi:

$$1. \mu \leq 1$$

$$2. \mu > 1$$

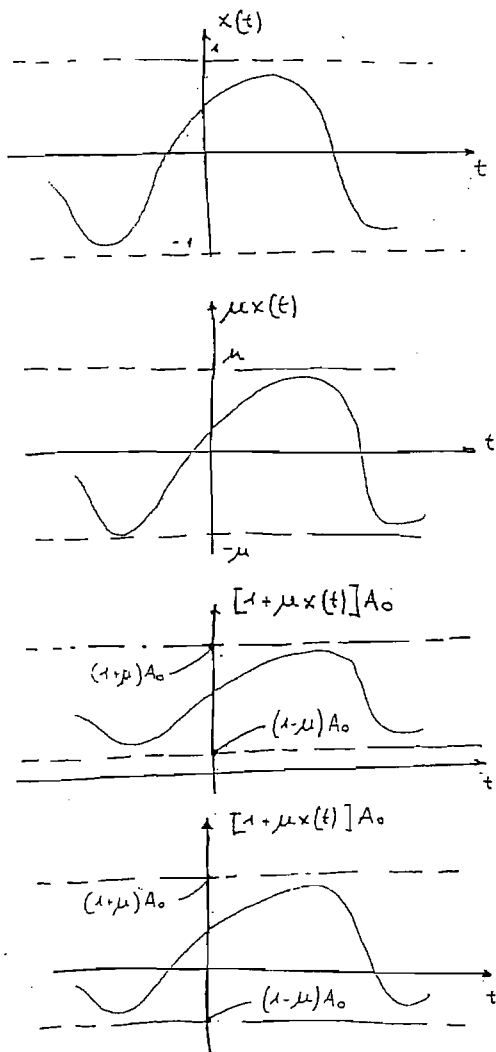
Allora il risultato di

$$[1 + \mu x(t)] A_0 \quad \begin{array}{l} x(t) \text{ normalizzato} \\ |x(t)| < 1 \end{array}$$

sarà nei due casi differenti,

- Se $\mu \leq 1$ il segnale $[1 + \mu x(t)] A_0$ è compreso fra $(1-\mu)A_0$ e $(1+\mu)A_0$

- Se $\mu > 1$ il segnale $[1 + \mu x(t)] A_0$ è compreso fra $(1-\mu)A_0$ e $(1+\mu)A_0$ con $(1-\mu) < 0$

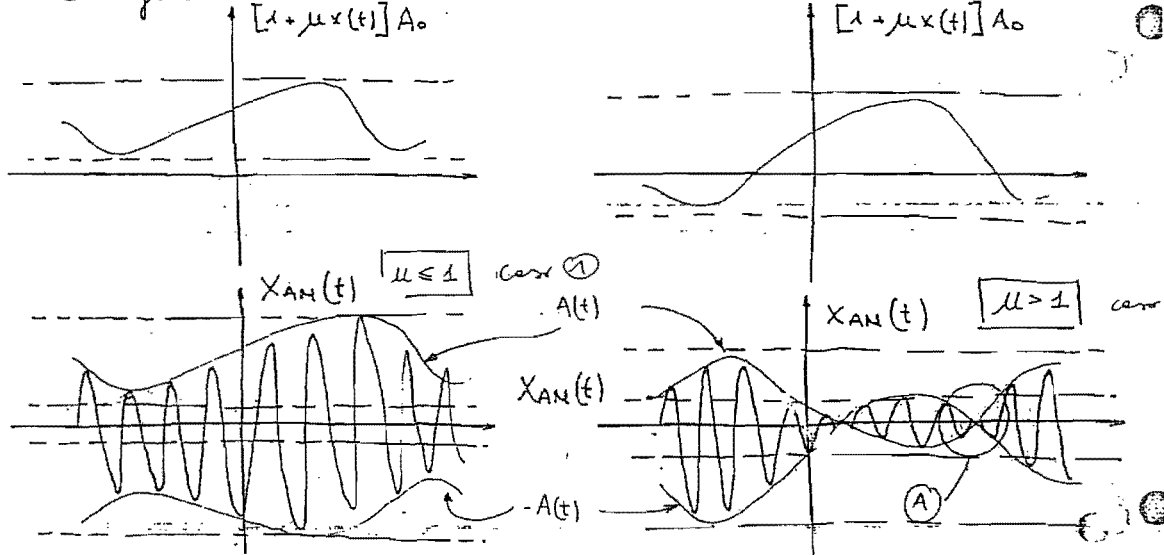


Osserviamo che nel caso della modulazione di ampiezza occorre imporre la condizione:

$$f_0 \gg B \quad (4.5)$$

Avere f_0 elevata significa imporre una oscillazione molto fitta; avere B piccola, significa avere una debole variazione dell'ampiezza.

Nei due casi il segnale modulato $x_{AM}(t)$ risulterà⁵⁰ come segue



Nel caso 2. nell'istante in cui l'ampliezza cambia di segno^① è come imparare uno sfascamento di π nel passo delle portanti; questi istanti sono detti ISTANTI DI INVERSIONE DI FASE.

Parre l'attenzione su questo aspetto è essenziale, perché nei dispositivi per le modulazioni ha molta importanza il RIVELATORE DI INVOLUCCRO, ovvero, un circuito elettronico che segue la variazione dell'ampliezza nel tempo; in sostanza fornisce il modulo di $A(t)$. Nel caso 1., cioè quando $\mu \leq 1$,

$$|A(t)| = A(t) = [1 + \mu x(t)] A_0 \xrightarrow{\text{Rivelatore di Inviluccro}} |A(t)|$$

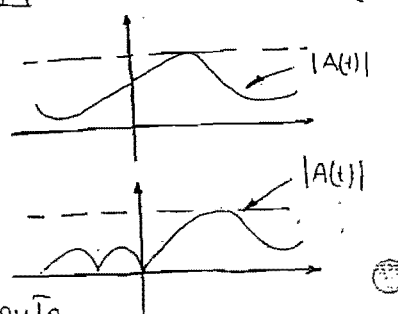
è evidente che per ritirare a $x(t)$, basta eliminare il valor medio (tralasciare il segnale).

Nel caso 2., cioè quando $\mu > 1$,

$$|A(t)| \neq A(t)$$

quindi per ritirare a $x(t)$ occorre un dispositivo più complesso;

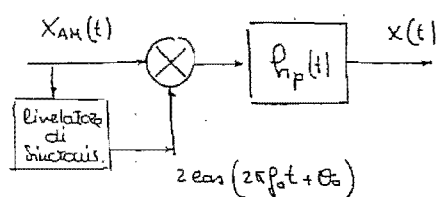
mentre $A(t)$ non è che la campanula in fase di $x(t)$, basta applicare un dispositivo basato



sullo schema 1 di pag 19, detto DEMODULATORE SINCRONO.

51

Per avere in fase di ricezione la stessa frequenza f_0 e la stessa fase θ_0 , viene inserito un blocco che ha il compito di sincronizzarsi, detto RIVELATORE DI SINCRONISMO.



Un dispositivo basato sul demodulatore sincrono risulta più carico e difficile da realizzare, pertanto, a seconda delle applicazioni si deve scegliere se impostare $\mu \ll 1$ o $\mu \gg 1$.

ANALISI IN POTENZA DEL SEGNALE AM

Caso nato

$$P_{AM} = \frac{1}{2} P_c + \frac{1}{2} P_s$$

seccome $x_s(t)$ è nulla anche la potenza P_s è tale.

$$P_{AM} = \frac{1}{2} P_c \quad (4.6)$$

applicando la definizione di potenza

$$\begin{aligned} P_c &= \lim_{T \rightarrow \infty} \frac{1}{T} \int_T A_0^2 [1 + \mu x(t)]^2 dt = \\ &= \lim_{T \rightarrow \infty} \frac{1}{T} \left[A_0^2 T + A_0^2 \mu^2 \int_T x^2(t) dt + 2A_0^2 \mu \int_T x(t) dt \right] = \end{aligned}$$

poché $x(t)$ è a media nulla

seccome $x(t)$ è a media nulla (annulliamo l'ultimo integ.):

$$P_c = \lim_{T \rightarrow \infty} \frac{1}{T} \left[A_0^2 T + A_0^2 \mu^2 \int_T x^2(t) dt \right] = A_0^2 + A_0^2 \mu^2 P_x \quad (4.7)$$

quindi :

$$P_{AM} = \frac{1}{2} P_c = \left(\frac{A_0^2}{2} \right)^{(1)} + \left(\frac{A_0^2}{2} \mu^2 P_x \right)^{(2)} \quad (4.8)$$

Osserviamo dalla (4.8) che nella modulazione AM, la parte ① è potenza spesa per trasmettere la portante, mentre la parte ② è potenza associata al segnale vero e proprio (portante modulata).

Come già ricavato:

$$\begin{aligned} X_{AM}(t) &= A_0 [1 + \mu x(t)] \cos(2\pi f_0 t + \theta_0) = \\ &= A_0 \cos(2\pi f_0 t + \theta_0) + \mu A_0 x(t) \cos(2\pi f_0 t + \theta_0) \end{aligned}$$

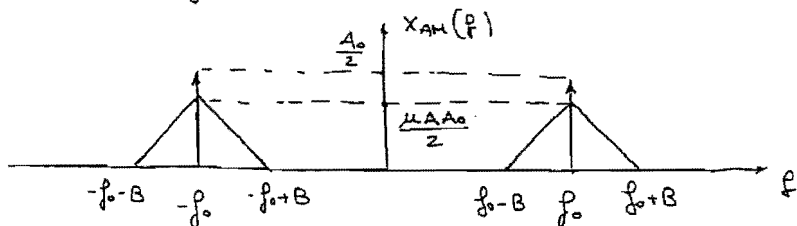
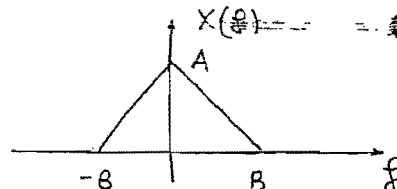
Nel frequenza

$$\boxed{X_{AM}(f) = \frac{A_0}{2} e^{j\theta_0} \delta(f - f_0) + \frac{A_0}{2} e^{j\theta_0} \delta(f + f_0) + \frac{\mu A_0}{2} e^{j\theta_0} X(f + f_0) + \frac{\mu A_0}{2} e^{j\theta_0} X(f - f_0)} \quad (4.9)$$

Note il generico spettro di $x(t)$

di banda B (ricordiamo che la banda si misura sulle sole frequenze paritive).

Lo spettro del segnale modulato X_{AM} risulta il seguente:



esso è composto dallo spettro del segnale originale, ampliato in ampiezza di $\mu A_0/2$, traslato alla frequenza delle portante f_0 ; in più ad esso si sovrappone in f_0 lo spettro della portante stesa (che è un δ perché la portante è sinusoidale). Si dice che $f_0 \gg B$, la banda del segnale AM risulta

$$\boxed{B_{AM} = 2B} \quad (4.10)$$

Come già accennato la tecnica di demodulazione dipende fortemente dalla scelta del carriere efficiente di modulazione μ . Se $\mu \leq 1$ per il recupero del segnale basta un semplice rivelatore di enveloppe (realizzabile anche con soli componenti passivi). Se $\mu > 1$, è necessario un demodulatore mixtore che di fatto comporta diversi accorgimenti.

Ci sono, tuttavia, altri aspetti che suggeriscono alcune modifiche. Dalla espressione (4.8), si evince che una parte sostanziale della potenza è spesa per trasmettere la portante; essa però non è associata a nessuna informazione il che significa un certo spreco di energia.

MODULAZIONE AM DSB-SC (Double Side Band - Suppressed Carrier).

- Per quanto appena detto, si può pensare di non trasmettere la portante; in sostanza l'espressione del segnale modulato diviene

$$X_{\text{DSB-SC}}(t) = \mu A_0 x(t) \cos(2\pi f_0 t + \theta_0) \quad (4.11)$$

l'analisi condotta in precedenza, ci dice che in questo caso la potenza ritutta

$$P_{\text{DSB-SC}} = A_0^2 \mu^2 \frac{P_x}{2} \quad (4.12)$$

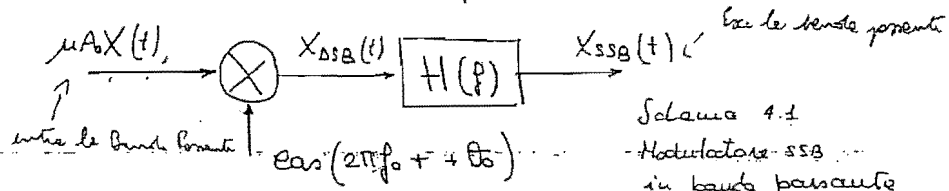
ed è tutta associata all'informazione.

Lo spettro di un segnale DSB-SC è identico a quello di un segnale AM, senza però i frequenze associate alla portante in $+f_0$ e in $-f_0$.

MODULAZIONE SSB-SC (Single Side Band - Suppressed Carrier)

I segnali reali di nostro interesse hanno simmetria Hermitiana ($X(f) = X(-f)$); per questo motivo, si può pensare di limitare l'ingombro frequenziale, eliminando la parte nota una volta nota la simmetria. Se consideriamo come prima un generico spettro, pariamo modulare in ampiezza sopprimendo la portante cioè che attenuano sono due repliche dello spettro

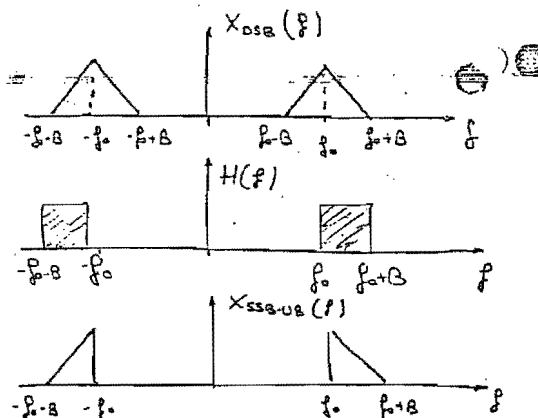
originale, in $+f_0$ e in $-f_0$. A questo punto si filtra 54
eliminando una delle parti riconosciute per simmetria.
Se $H(f)$ è il generico filtro passa banda si ha.



Esistono però due possibilità, in base alla scelta del filtro $H(f)$.

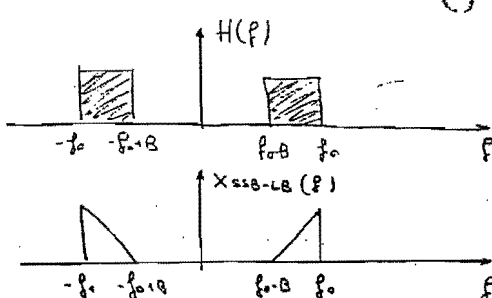
1. Modulazione AM SSB - UB (Upper Band)

Il filtro ha una banda passante che va da f_0 a $f_0 + B$; allora viene eliminata la banda laterale inferiore.



2. Modulazione AM SSB - LB (Lower-Band)

Il filtro ha una banda passante che va da $f_0 - B$ a f_0 ; allora viene eliminata la banda laterale superiore.



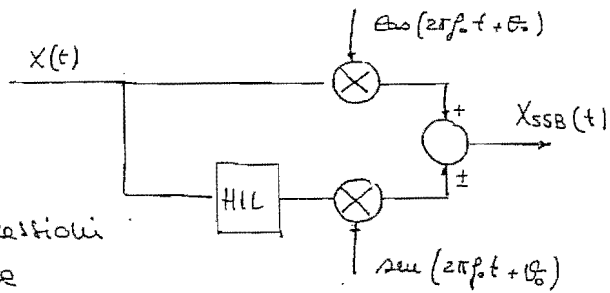
Come visto dalla trattazione di pag 34 e 35, l'espressione di un segnale SSB risulta

$$X_{SSB-UB}(t) = \frac{x(t)}{2} \cos(2\pi f_0 t + \theta_0) - \frac{\dot{x}(t)}{2} \sin(2\pi f_0 t + \theta_0) \quad (4.13)$$

$$X_{SSB-LB}(t) = \frac{x(t)}{2} \cos(2\pi f_0 t + \theta_0) + \frac{\dot{x}(t)}{2} \sin(2\pi f_0 t + \theta_0) \quad (4.14)$$

Un segnale SSB, può essere attenuato mediante filtraggio in banda passante come nello schema 4.1, oppure mediante filtraggio in banda base secondo lo schema 4.2 (vedi pag 34, 35).

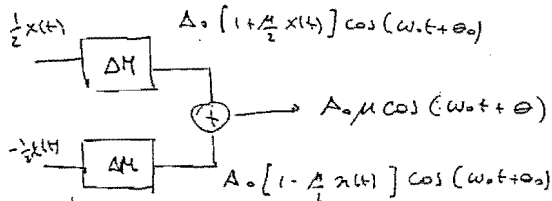
Schemma 4.2
modulatore SSB
in banda base



Eseguendo l'analisi
in patenza sulle espressioni
(4.13) e (4.14) si deduce

$$P_{SSB} = \frac{\mu^2 A_0^2}{2} \left(\frac{P_x}{4} + \frac{P_x}{4} \right) = \frac{\mu^2 A_0^2 P_x}{4} \quad (4.15)$$

MODULATORE BALIANTATO DSB



i CSS devono
avere stessa fase e
stessa ampiezza.

NODULATORE AM

La relazione che esprime formalmente un segnale modulato in ampiezza è la seguente:

$$X_{AM}(t) = A_0 [1 + \mu x(t)] \cos(2\pi f_0 t + \theta_0)$$

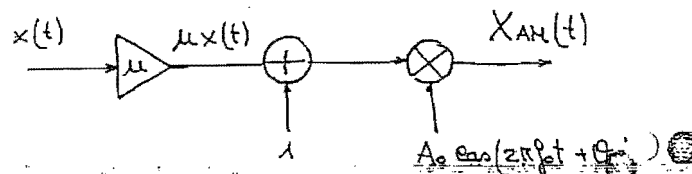
essa suggerisce la possibilità di ottenere questa modulazione mediante amplificatori, sommatore e moltiplicatori, secondo lo schema seguente:

Se problema dal

punto di vista

realizzativo sta nel blocco moltiplicatore
(mixer).

Schema 4.3. Modulatore AM



Lo schema più frequentemente impiegato per la modulazione AM è il seguente:

Se blocco NLSM è

un elemento non lineare senza memoria
che realizza la funzione

$$U_o = a_1 U_i + a_2 U_i^2$$

Dunque risulta la possibilità di ottenere $X_{AM}(t)$:

$$\begin{aligned} U_o(t) &= a_1 [x(t) + \cos(\omega_0 t + \theta_0)] + a_2 [x(t) + \cos(\omega_0 t + \theta_0)]^2 = \\ &= a_1 x(t) + a_1 \cos(\omega_0 t + \theta_0) + a_2 x^2(t) + a_2 \cos^2(\omega_0 t + \theta_0) + 2a_2 x(t) \cos(\omega_0 t + \theta_0) = \\ &= a_1 x(t) + a_1 \cos(\omega_0 t + \theta_0) + a_2 x^2(t) + \frac{a_2}{2} + \frac{a_2}{2} \cos(2\omega_0 t + 2\theta_0) + \\ &\quad + 2a_2 x(t) \cos(\omega_0 t + \theta_0) = \end{aligned}$$

Dimensionando opportunamente il filtro passa banda $H(f)$ si eliminano la carica e le oscillazioni a frequenza doppia quindi rimane:

$$\begin{aligned} U_o(t) &= \cancel{a_1 x(t)} + \cancel{a_1 \cos(\omega_0 t + \theta_0)} + \cancel{a_2 x^2(t)} + \cancel{2a_2 x(t) \cos(\omega_0 t + \theta_0)} = \\ &= a_1 \left(1 + \frac{2a_2}{a_1} x(t)\right) \cos(\omega_0 t + \theta_0) \quad (4.16.1) \end{aligned}$$

ponendo $a_1 = A_0$ e $a_2 = \mu A_0 / 2$ (4.16.2)

57

Si ottiene:

$$U_u = X_{AM}$$

Come sopra definito.

DEMODULATORE AM

Come già detto, a seconda del coefficiente di modulazione, esiste la possibilità di ricostruire il segnale originale. Se $\mu > 1$ è necessario il demodulatore. Notiamo che, per altro, è adatto anche se $\mu < 1$. In questo caso specifico però basta il rivelatore di inviluppo.

RIVELATORE DI INVILUPPO

Se il coefficiente μ è minore o uguale a 1.

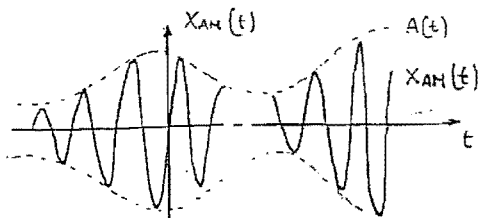
Supponendo un generico andamento del segnale da trasmettere e il seguente andamento del segnale modulato, poniamo ottenere l'andamento di $A(t)$ attraverso un dispositivo privo composto da diodo resistenza e capacità detto Rivelatore di inviluppo. Ricordiamo che $A(t)$ è un segnale proporzionale a $x(t)$ traslato, quindi sufficiente per ritrovare al segnale t_x .

Requisito fondamentale
è la condizione seguendo
la quale il segnale
da trasmettere vari molto
più lentamente del
segnale portante, ovvero:

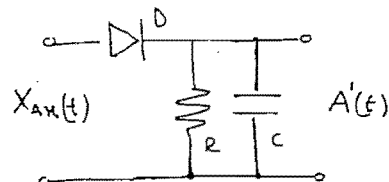
$$f_o \gg B$$

Di fatto il funzionamento
del rivelatore si basa sulla
carica e sulla scarica del
condensatore.

Nella fase di carica C è alimentato tramite il diodo



Schema 5.1 Rivelatore di inviluppo
(supponiamo μ ideale)



siccome R_d è pressoché nulla, la carica di tempo di carica è zero: questo significa che la tensione su C segue esattamente quella in ingresso.

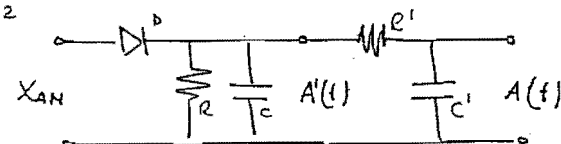
Quando $X_{AN}(t)$ scende sotto la tensione appena memorizzata su C , il diodo si interdice e il condensatore inizia il transitorio di scarica su R_d . In

questo caso la carica di tempo è RC (vedremo in seguito come deve essere dimensionata).

In sostanza si verifica una oscillazione su $A'(t)$ che ha frequenza

molto più elevata rispetto a $A(t)$, detta RIPPLE; per eliminare questo fenomeno basta inserire un filtro passa basso (ad esempio uno squadrato RC) per ottenere esattamente $A(t)$:

schema 5.2

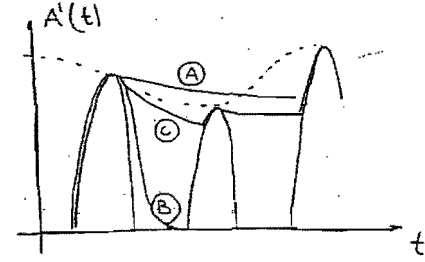


Considerazioni sulla costante di tempo di scarica RC

Se il transitorio di scarica è troppo lento rispetto alle variazioni di $A(t)$, la tensione di uscita del rivelatore potrebbe non essere in grado di seguire variazioni troppo brusche di $A(t)$ ^(A); in sostanza la durata del transitorio deve sicuramente essere inferiore rispetto al "periodo" di $A(t)$: se B è la banda di $x(t)$,

$$\frac{1}{RC} \gg B \quad (\text{s.t.})$$

D'altra parte, se il transitorio di scarica è troppo , cioè se RC è troppo piccolo, il condensatore



tare non segue più l'andamento di $A(t)$ ^(B); in altri termini il transitorio deve durare sicuramente di più c'è "periodo" della portante, ovvero se f_0 è la frequenza della portante:

$$\frac{1}{RC} \ll f_0 \quad (5.2)$$

Le capacità R e C devono essere dimensionate in modo che:

$$B \ll \frac{1}{RC} \ll f_0 \quad (5.3)$$

Osservazione: Consideriamo un generico segnale $X_H(t)$ nella banda e osserviamo cosa succede se applicalo ad un rivelatore di inviluppo.

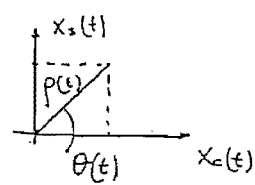
$$X_H(t) = X_c(t) \cos(\omega_0 t + \theta_0) - X_s(t) \sin(\omega_0 t + \theta_0)$$

l'inviluppo complesso

$$\begin{bmatrix} X_c(t) - p(t) \cos \theta(t) \\ X_s(t) - p(t) \sin \theta(t) \end{bmatrix} \quad \tilde{X}_H(t) = X_c(t) + j X_s(t) = p(t) e^{j\theta(t)}$$

$$p(t) = \sqrt{X_c^2(t) + X_s^2(t)}$$

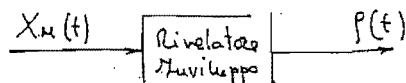
$$\theta(t) = \arctg \frac{X_s(t)}{X_c(t)}$$



possiamo scrivere

$$\begin{aligned} X_H(t) &= p(t) \cos \theta(t) \cos(\omega_0 t + \theta_0) - \\ &\quad - p(t) \sin \theta(t) \sin(\omega_0 t + \theta_0) = \\ &= p(t) \cos [\omega_0 t + \theta_0 + \theta(t)] \end{aligned}$$

Un segnale di questo tipo ha frequenza variabile per la presenza di $\theta(t)$. Il rivelatore d'inviluppo determina $p(t)$ indipend. dalle variazioni di frequenza. Ricordiamo che $p(t)$ è il modulo dell'inviluppo complesso, e questo è anche il motivo del nome.



60

PROBLEMI DI DEMODULAZIONE

Vediamo come può essere realizzata la demodulazione nei vari tipi di modulazione di ampiezza.

A. Segnale AM: l'espressione risulta

$$x_{AM}(t) = A(t) \cos(2\pi f_c t + \theta_0)$$

in particolare

$$x_c(t) = A(t) = \text{camp. in fase}$$

$$x_s(t) = 0 = \text{camp. in quadratura}$$

$$p(t) = |A(t)|$$

$$A(t) = A_0 + \mu A_0 x(t)$$

$A(t)$ è proporzionale a $x(t)$. Come visto per recuperare $A(t)$ e quindi $x(t)$ si può impiegare il DEMOD. SINCRONO, inoltre se $\mu \leq 1$ si può impiegare il RIVEL DI INVOLUCCRO, se $\mu > 1$ invece no.

B. Segnale DSB: l'espressione risulta

$$x_{DSB}(t) = x(t) \cos(2\pi f_c t + \theta_0)$$

in particolare

$$x_c(t) = x(t) = \text{camp. in fase}$$

$$x_s(t) = 0 = \text{camp. in quadratura}$$

$$p(t) = |x(t)|$$

In ogni caso se vediamo il segnale originale come campionato in fase si può applicare il DEMOD. SINCRONO; Il rivelatore di inviluppo non funziona, perché non è detto che $|x(t)| = x(t)$.

C. Segnale SSB: l'espressione risulta

$$x_{SSB}(t) = \frac{x(t)}{2} \cos(2\pi f_c t + \theta_0) - \frac{x(t)}{2} \sin(2\pi f_c t + \theta_0)$$

in particolare

$$\dots x_c(t) = \frac{x(t)}{2} = \text{camp. in fase}$$

$$X_S(t) = \frac{\dot{X}(t)}{2} = \text{camp. in quadratura}$$

$$P(t) = \sqrt{\frac{x^2(t)}{4} + \frac{\dot{x}^2(t)}{4}}$$

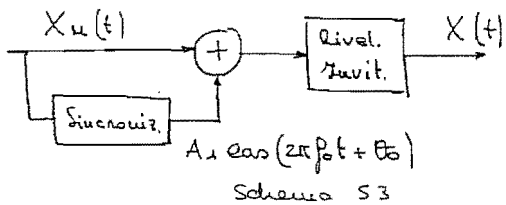
61

Anche in questo caso il DEMOD. SINCRONO funziona sempre, mentre il RIVEL. DI INVILUPPO non consente di risalire ad $x(t)$.

DEMODULATORE CON SINCRONIZZATORE E RIVELATORE D'INVILUPPO

Consideriamo lo schema.

a lato è verificabile come esso consenta la demodulazione di qualsiasi segnale modulato in awp.



A. Segnale AM: l'espressione risulta

$$X_H(t) = X_{AM}(t) = A_0 [1 + \mu x(t)] \text{ eas}(2\pi f_0 t + \theta_0)$$

$$X_H(t) + A_1 \text{ eas}(2\pi f_0 t + \theta_0) = [A_0 + A_1 + \mu x(t)] \text{ eas}(2\pi f_0 t + \theta_0)$$

Dimenticando A_1 sufficientemente grande da garantire che $A_0 + A_1 + \mu x(t)$ sia sempre positivo dal rivelatore di inviluppo esce $P(t) = |A_0 + A_1 + \mu x(t)|$ e quindi

$$P(t) = |A_0 + A_1 + \mu x(t)| = A_0 + A_1 + \mu x(t)$$

Che essendo proporzionale a $x(t)$ ne permette la ricostruzione.

B. Segnale SSB: l'espressione risulta:

$$X_H(t) = X_{SSB}(t) = \frac{x(t)}{2} \text{ eas}(2\pi f_0 t + \theta_0) - \frac{\dot{x}(t)}{2} \text{ sen}(2\pi f_0 t + \theta_0)$$

$$X_H(t) + A_1 \text{ eas}(2\pi f_0 t + \theta_0) = \left(A_1 + \frac{x(t)}{2}\right) \text{ eas}(2\pi f_0 t + \theta_0) - \frac{\dot{x}(t)}{2} \text{ sen}(2\pi f_0 t + \theta_0)$$

In uscita dal rivelatore di inviluppo avremo $P(t)$ avendo:

$$P(t) = \sqrt{\left(A_1 + \frac{x(t)}{2}\right)^2 + \frac{\dot{x}^2(t)}{4}} =$$

$$= \left| A_1 + \frac{x(t)}{2} \right| \sqrt{1 + \frac{\dot{x}^2(t)}{4(A_1 + \frac{x(t)}{2})^2}}$$

ponendo $A_1 \gg 1$

$$P(t) \approx \left| A_1 + \frac{x(t)}{2} \right|$$

per ipotesi $|x(t)| < 1$, quindi

$$A_1 + \frac{x(t)}{2} > 0.$$

avendo

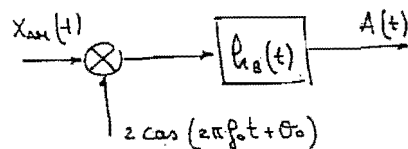
$$\left| A_1 + \frac{x(t)}{2} \right| = A_1 + \frac{x(t)}{2}$$

che è appunto proporzionale ad $x(t)$. Per i segnali DSB non essendoci $\dot{x}(t)$, non è neppure necessario porre $A_1 \gg 1$.

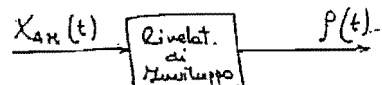
Riassumendo:

Demod. Simeau	Rivelat. di l'inviluppo	Sincroniz. + Rir. Ampl.
AM $\mu \leq 1$	SI	SI
AM $\mu > 1$	SI	NO
DSB	SI	NO
SSB	SI	NO

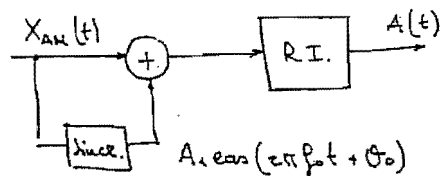
Demodulatore Simeau



Rivelatore di inviluppo



Sincronizzatore più Rivelatore di Amplif.



MODULAZIONE VSB (Vestigial Side Band)

La modulazione VSB, associa al segnale da trasmettere $x(t)$, un segnale $X_{VSB}(t)$ che ha per campionante in fase un termine preparzionale a $x(t)$ e per campionante in quadratura una generica trasformazione T di $x(t)$; in sostanza:

$$X_{VSB}(t) = \frac{x(t)}{2} \cos(2\pi f_0 t + \theta_0) - T[x(t)] \sin(2\pi f_0 t + \theta_0) \quad (5.4)$$

Lo spettro di un generico segnale $x(t)$, può avere i più variati andamenti; ciò nonostante, i segnali possono essere suddivisi fra quelli che hanno (seg. telefonici) Campionante armonica nulla nella intervalllo dell'origine e quelli che invece hanno campionante armonica in zero. (ad esempio segnali video).

- È evidente che nel

primo caso, per applicare

una modulazione SSB,

valendo eliminare una banda laterale è

sufficiente un filtro "dolce". Nel secondo caso invece è necessario un filtro ideale che tagli esattamente in f_0 . (trascurando le freq. negative)

Per quanto detto la modulazione SSB è semplice ed efficiente

per i segnali telefonici, mentre

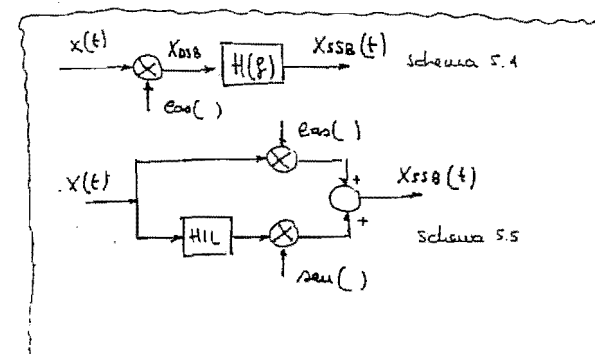
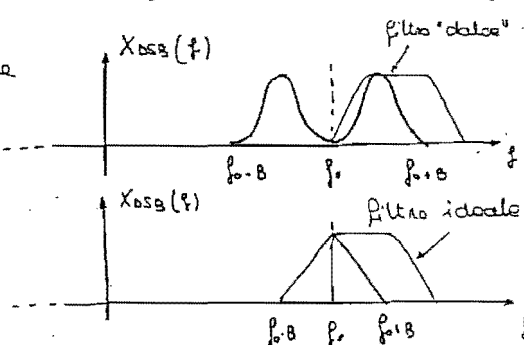
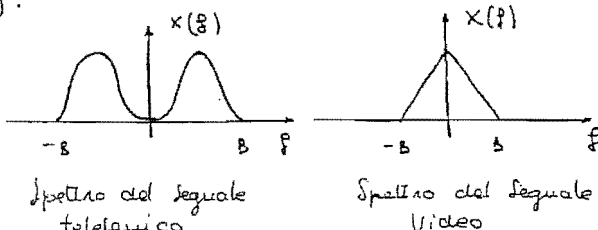
risulta assai problematica

per i segnali video.

Ricordiamo inoltre che un segnale SSB può essere

ottenuto con filtraggio in banda passante (schema 5.4)

o con il filtraggio in banda base (Schema 5.5).



La modulazione VSB si prepara di curiare proprio a questo inconveniente. Anziché eliminare una banda laterale lasciandone una inalterata, parzialmente e ne lascia una parzialmente inalterata. L'operazione può essere analizzata per via grafica. Il requisito fondamentale è la simmetria tra la banda di banda "trasversa" che viene eliminata e la banda di quella "eliminata" che viene trasversa. Il filtro che può avere pendenza dolce deve avere simmetria dispari rispetto ad un punto stabilito.

La banda di un segnale VSB è maggiore di quella di un segnale SSB, per la presenza di B_v , della banda VESTIGIALE; in sostanza

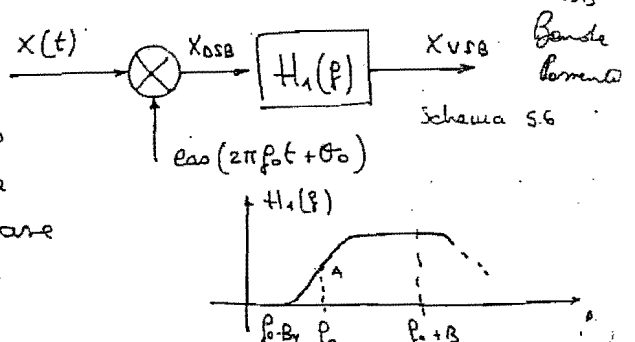
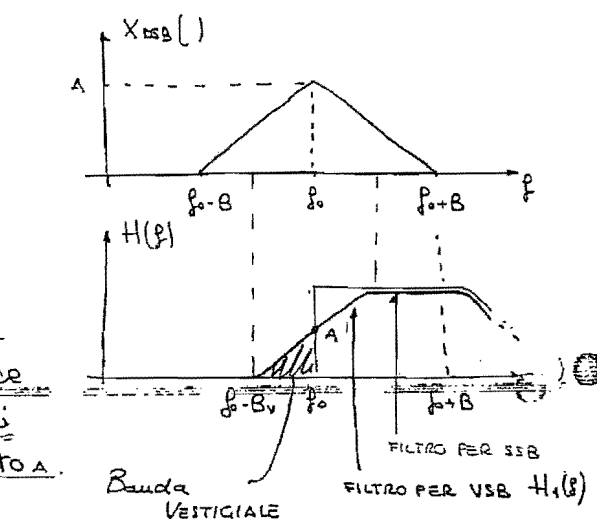
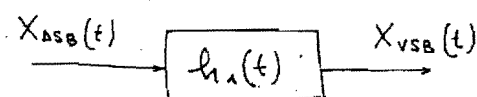
$$B_{VSB} = B + B_v$$

nella quale B è la banda del segnale originale.

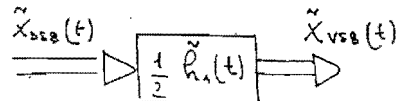
Per ottenere un segnale VSB, si può adattare lo schema 5.4, sostituendo al filtro passa banda $H(f)$ un filtro reale $H_1(f)$ che rispetti le suddette esigenze.

Come nel caso

della SSB lo schema 5.6 filtra in banda passante. Ora dimostriamo come sia possibile eseguire il filtraggio in banda base attenuando un analogo dello schema 5.5.



Ricordiamo che



65

$$X_{DSB}(t) = X(t) \cos(2\pi f_0 t + \theta_0) - 0$$

Scriviamo $\tilde{H}(f)$ in funzione delle componenti in fase e in quadratura.

$$H_{1c}(f) = \frac{\tilde{H}_1(f) + \tilde{H}_1^*(f)}{2}$$

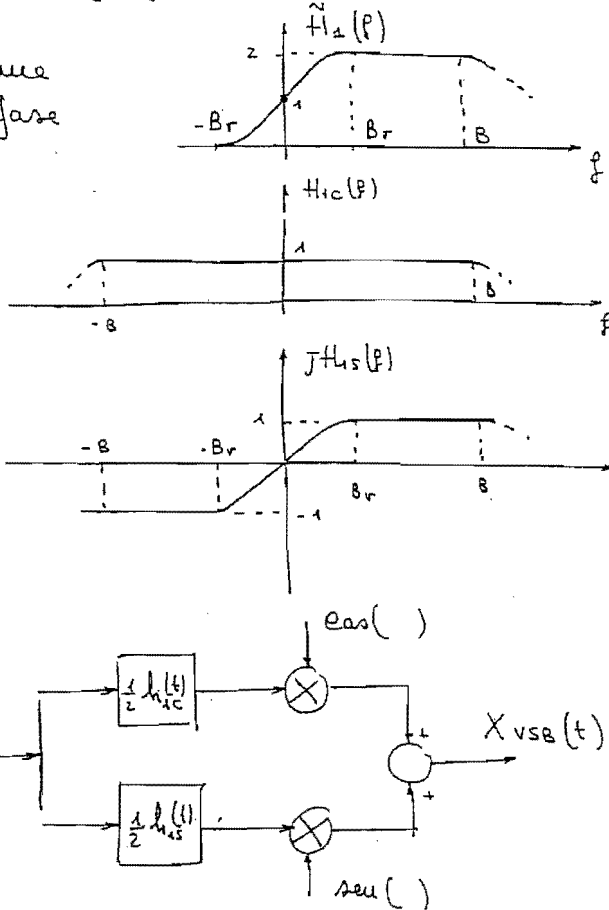
$$H_{1s}(f) = \frac{\tilde{H}_1(f) - \tilde{H}_1^*(f)}{2j}$$

Possiamo associare alle due componenti in fase e in quadratura le rispettive di $H(f)$

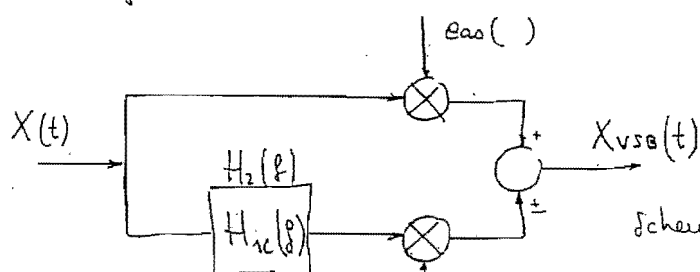
possiamo portare fuori il fattore $\frac{1}{2}$.

Qualetra h_{1c} è unitario nello banda
di $X(t)$, quindi può essere fatto. Allora si

perviene al seguente schema



VSB =
Banda Base



Schema 5.7

Lo schema 5.7 è l'analogo del 5.5 per la modulazione VSB. L'unica differenza sta nel filtraggio in banda base: al posto di un filtro di Hilbert che è ideale, inseriamo $H_1(f)$ che è reale.

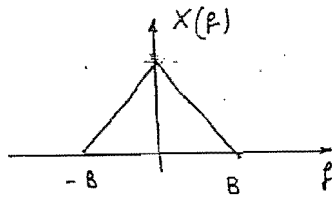
A anche la modulazione USB può essere LB o UB a seconda del segno + o - nell'espressione (5.4) 66

CONVERSIONE DI FREQUENZA

Consideriamo un segnale DSB nella forma

$$x_{DSB}(t) = x(t) \cos(2\pi f_0 t + \theta_0)$$

alla frequenza f_0 ; in sostanza lo spettro di $x(t)$ è traslato in f_0 . Supponiamo di voler passare dalla frequenza f_0 alla frequenza f_1 .

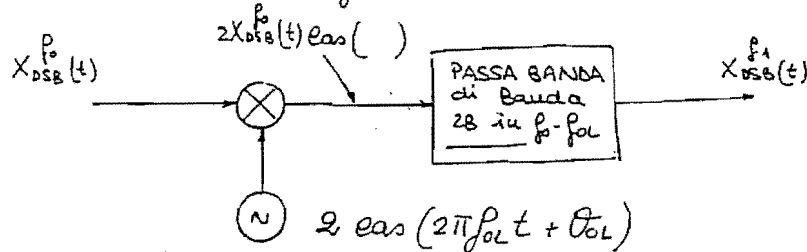


Supponiamo
 $x(t)$ di banda B
allora x_{DSB} è
di banda 2B centrata
in f_0 .

Nota:

Questa operazione viene
normalmente impiegata
per distinguere l'UPUNK
dal DOWNLINK della
trasmissione satellitare
(in genere UPUNK 6 GHz,
e DOWNLINK a 4 GHz).

L'operazione di "conversione di frequenza" può essere realizzata con lo schema seguente.



$$\begin{aligned} x_{DSB}^{f_0}(t) \cdot 2 \cos(2\pi f_{OL} t + \theta_{OL}) &= 2x(t) \cos(2\pi f_0 t + \theta_0) \cos(2\pi f_{OL} t + \theta_{OL}) \\ &= x(t) \cos[2\pi(f_0 + f_{OL}) + (\theta_0 + \theta_{OL})] + \\ (6.1) \quad &\quad + x(t) \cos[2\pi(f_0 - f_{OL}) + (\theta_0 - \theta_{OL})] \end{aligned}$$

passando in cascata un filtro passa banda centrato ad esempio sulla frequenza differenza $f_0 - f_{OL}$, rimane

$$x_{DSB}^{f_0}(t) = x(t) \cos[2\pi(f_0 - f_{OL}) + (\theta_0 - \theta_{OL})]$$

se il nostro obiettivo è trasformare X_{DSB} ad f_0 ⁶⁷
in X_{SSB} ad f_1 , scegliendo f_{OL} in modo che

$$f_1 = f_0 - f_{OL} \quad (6.2)$$

otteniamo

$$\begin{aligned} X_{SSB}^{f_1}(t) &= X_{DSB}^{f_0} 2 \cos(2\pi f_{OL} t + \theta_{OL}) = \\ &= X(t) \cos(2\pi f_1 t + \theta_1) \end{aligned} \quad (6.3)$$

Analogamente si può scegliere il filtro in modo
da conservare la somma $f_0 + f_{OL}$; in tal caso

otteniamo:

$$f_1 = f_0 + f_{OL} \quad (6.4)$$

MULTIPLAZIONE A DIVISIONE DI FREQUENZA (FDM)

68

Supponiamo di avere tre generici segnali di banda

B , $x_1(t)$, $x_2(t)$, $x_3(t)$ aventi uno

spettro $X_1(f)$, $X_2(f)$ e $X_3(f)$.

Se trasmettessimo simultaneamente i tre segnali sullo stesso

canale, il risultato sarebbe

una sovrapposizione dei tre;

In frequenza lo spettro

risultante sarebbe esattamente

la somma di $X_1(f)$, $X_2(f)$ e $X_3(f)$.

Supponiamo di modulare

i tre segnali anche in modo diverso.

In genere si può pensare

di modulare $x_1(t)$ con DSB

alla frequenza f_1 ; $x_2(t)$ con SSB alla frequenza f_2 e

$x_3(t)$ con modulazione FM alla frequenza f_3 (vedremo

in seguito cosa significa).

Scegliendo opportunamente

le frequenze f_1 , f_2 e f_3 ,

in relazione alla banda del

segnale modulato, in modo

che i singoli spettri non si

sovrappongano, avremo la

seguente situazione. In frequenza gli spettri non

si sovrappongono, allora si possono sommare nel

tempo i segnali modulati.

In realtà per

facilitare il filtraggio

in ricezione, è bene

separare i singoli

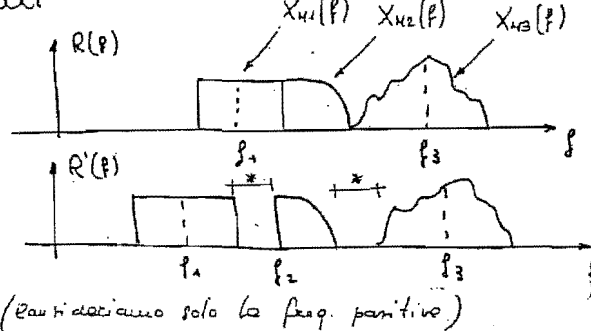
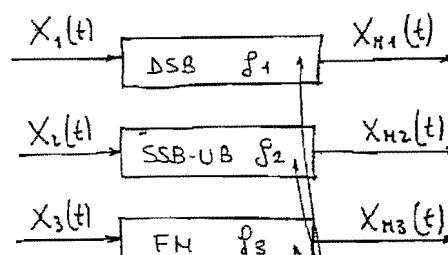
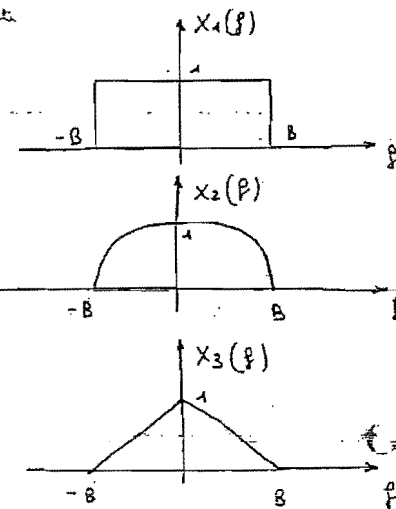
spettri, garantendo

la cosiddetta BANDA

DI GUARDIA*.

Era una operazione di questo tipo si dice che i tre

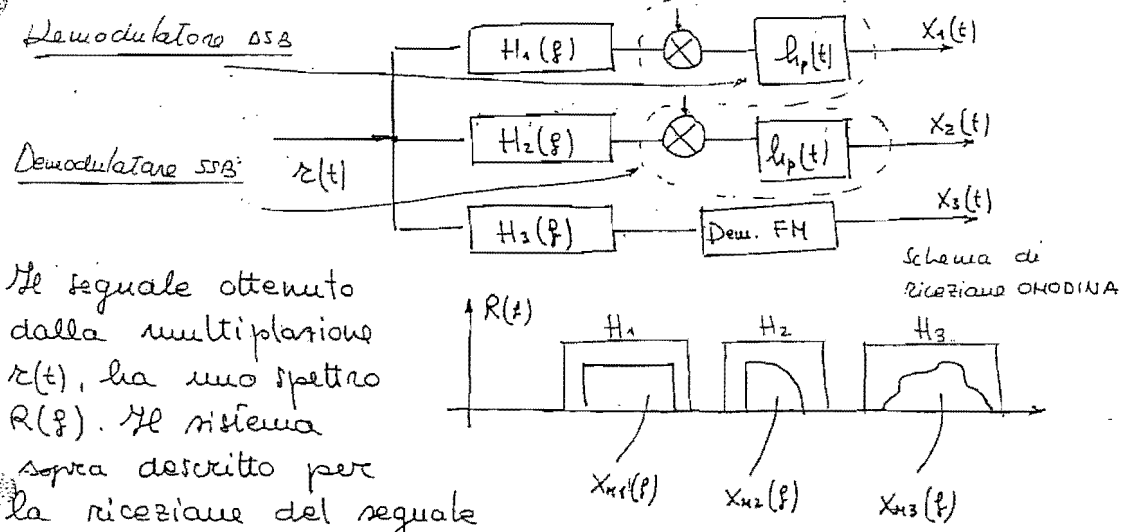
segnali sono stati MULTIPLATI IN FREQUENZA.



Moltiplicare in frequenza
i tre segnali significa
sommare $X_{1H}(t)$, $X_{2H}(t)$
e $X_{3H}(t)$ nel tempo.

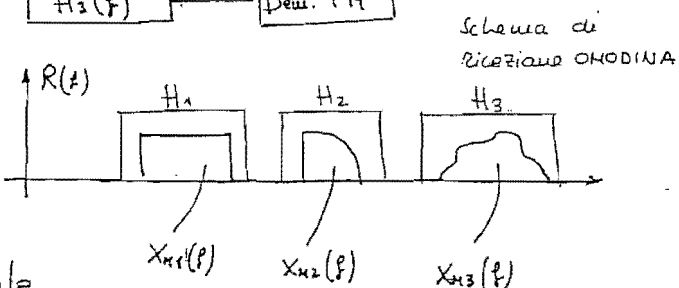
In ricezione, per
riottenere i segnali segnali
 $x_1(t)$, $x_2(t)$, $x_3(t)$, basta
filtrare con la banda

opportuno alle varie frequenze f_1 , f_2 , f_3 ; per ciascuna
di esse si ottiene un segnale modulato, per cui
occorrerà un demodulatore opportuno. In generale,
la situazione può essere riassunta nel seguente.



Il segnale ottenuto
dalla moltiplicazione
 $r(t)$, ha uno spettro
 $R(f)$. Il sistema

sopra descritto per
la ricezione del segnale
 $r(t)$ è detto ONODINA; in esso si impiega un filtro e
un demodulatore dedicati per ogni frequenza associata
ad un segnale. Nel caso esaminato si hanno tre
diverse portanti e quindi si impiegano tre filtri
per banda H_1 , H_2 e H_3 .



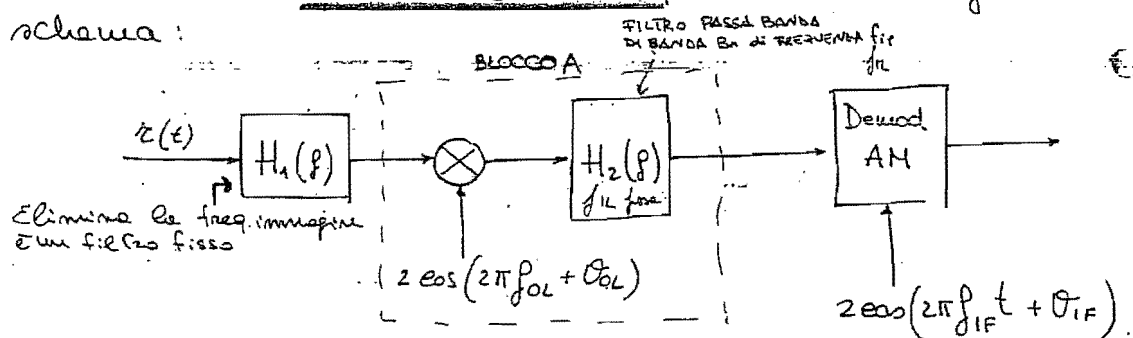
RICEVITORE SUPERETERODINA

70

Supponiamo di avere tre segnali AM multiplati in frequenza alle frequenze f_1, f_2, f_3 ; per recuperare i

segnali segnali, si può impiegare un ricevitore OMODINA, visto in precedenza. Una soluzione più economica, che consente

l'impiego di componenti che non dipendano dalla particolare trasmissione (filtri quiescenti), si ha con un ricevitore SUPERETERODINA, basata sul seguente schema:

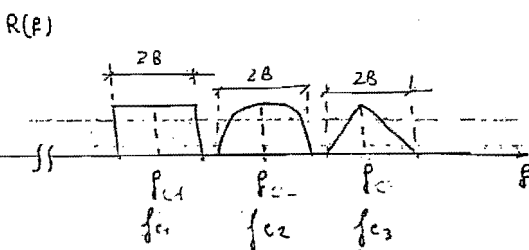


Il segnale multiplato è $r(t)$ e ha uno spettro $R(f)$ come in figura.

$$r(t) = x_{1H}(t) + x_{2H}(t) + x_{3H}(t)$$

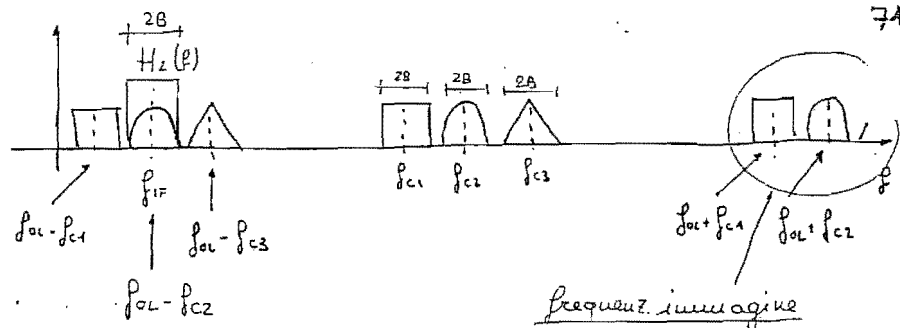
Il dispositivo

rappresentato è composto da un CONVERTITORE DI FREQUENZA (blocco A), che trasla l'insieme dei segnali ricevuti $r(t)$, alla frequenza f_{OL} ; il filtro $H_2(f)$ è centrato alla frequenza fissa f_{IF} . Agendo sulla frequenza f_{OL} dell'oscillatore del ricevitore si fa in modo di centrare il segnale valuto nella banda di H_2 . Per demodulare il segnale i-essivo $x_{iH}(t)$, basta riattivizzare l'oscillatore di f_{OL} in modo che $f_{OL} - f_{OL} = f_{IF}$ (7.1)



FILTO PASSA BANDA
DI BANDA BA DI FREQUENZA f_{OL}

Schema di un ricevitore SUPERETERODINA. $H_2(f)$ è il FILTRO FRONTALE (di Front End); il blocco A è un convertitore di frequenza. Il blocco Demod AM è un demodulatore AM.



Nell'esempio di figura si seleziona f_{c2} in modo che $f_{c1} - f_{c2} = f_{IF}$, in questo modo si fa cadere nella banda solo il canale di $X_{N2}(t)$, quindi vengono eliminati tutti gli altri canali e viene demodulato $X_{N2}(t)$.

Il filtro $H_2(f)$ ha il compito di eliminare i canali adiacenti a quello selezionato; inoltre elimina anche la frequenza immagine ($f_{c1} + f_{c2}$) che viene a comparire nella conversione di frequenza del blocco A. In seguito il demodulatore AN, estrae il reale in banda base, che era stato trasmesso in origine $X_1(t)$.

Il filtro $H_2(f)$ è di banda 2B circa e centrato sulla frequenza fissa f_{IF} , detta FREQUENZA INTERMEDIA; questa frequenza può essere diversa da ricevitore a ricevitore: non può essere troppo elevata perché degraderebbe la qualità di taglio del filtro stesso; allo stesso tempo ridurre eccessivamente f_{IF} significa in base alla (7.1) avvicinare le repliche, in

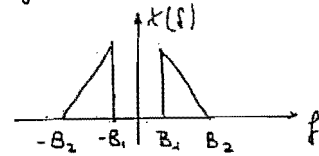
$$f = f_{c2} - f_{IF} \quad e \quad f' = f_{c1} + f_{IF}$$

riscuendo la sovrapposizione.

Il filtro $H_1(f)$ ha il compito di eliminare eventuali frequenze immagini introdotte nel canale.

SEGNALI IN PRESENZA DI ERRORE DI FASE E DI FREQUENZA 72

Si consideri un generico segnale con componenti armoniche nulla in prossimità dell'origine (segnale telefatico), con lo spettro $X(f)$ di figura.

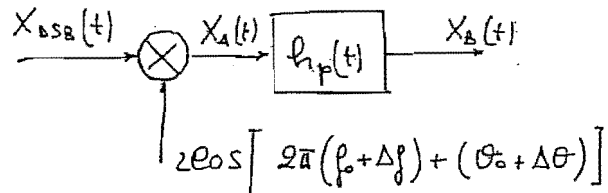


(A) Modulazione DSB in presenza di errori

Il segnale modulato ha espressione

$$X_{\text{DSB}}(t) = X(t) \cos(2\pi f_0 t + \theta_0)$$

Demoduliamo il segnale con un demodulatore mixer. Supponiamo che l'oscillatore locale permetta un errore Δf rispetto a f_0 e un errore $\Delta\theta$ rispetto a θ_0 .



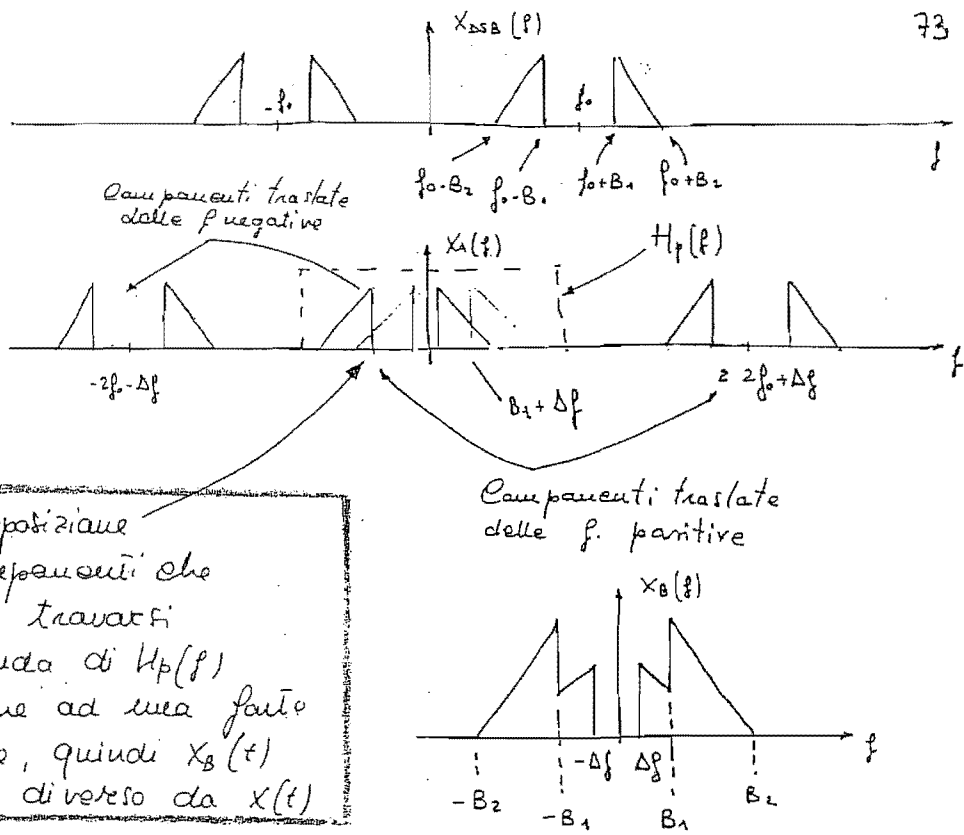
Nel dominio del tempo

$$\begin{aligned} X_A(t) &= X_{\text{DSB}}(t) \cdot 2 \cos[2\pi(f_0 + \Delta f)t + (\theta_0 + \Delta\theta)] = \\ &= 2X(t) \cos(2\pi f_0 t + \theta_0) \cos[2\pi(f_0 + \Delta f)t + (\theta_0 + \Delta\theta)] = \\ &= X(t) \cos[2\pi(2f_0 + \Delta f)t + (2\theta_0 + \Delta\theta)] + \\ &\quad + X(t) \overset{\cos}{\cancel} [2\pi \Delta f t + \Delta\theta] \quad (7.3) \end{aligned}$$

Il filtro $h_p(t)$ elimina la componente a frequenza doppia, quindi:

$$X_B(t) = X_A(t) * h_p(t) = X(t) \cos(2\pi \Delta f t + \Delta\theta) \quad (7.4)$$

La frequenza si manda su un metravoltmetro distorsione; supponendo $\Delta\theta = 0$ considerato cioè l'errore di fase nullo $\Delta f < B_1$, ottieniamo:

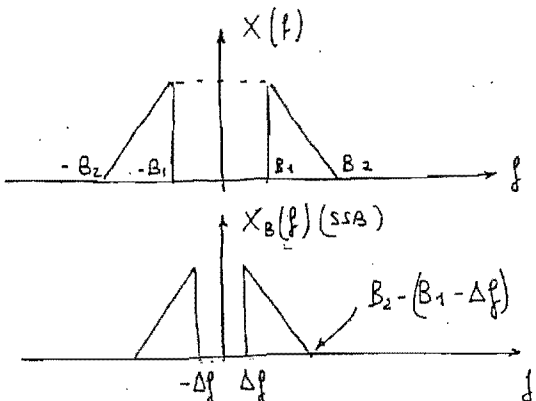


B.) Modulazione SSB (US) in presenza di errori
Senza ripetere i calcoli, poniamo dire che mancando la banda laterale (in questo caso quella inferiore), non vi hanno componenti in sovrapposizione.

Se due bande laterali vengano paritate con il mixer in Δf e $-\Delta f$ come in figura (quelle in $2f_0 + \Delta f$ come prima vengono eliminate da H_p).

Come si vede lo spettro è qualitativamente identico tuttavia si ha un abbassamento frequenziale

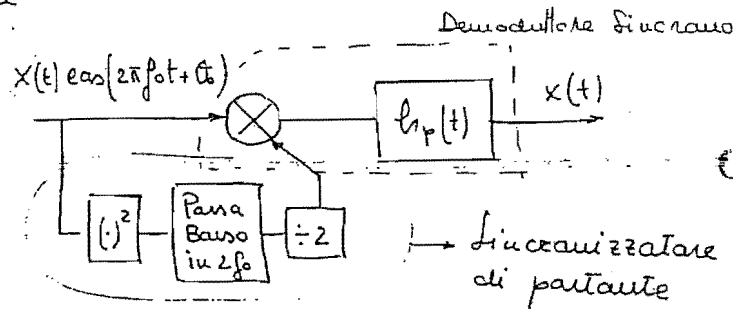
di tutte le componenti attorno che di $B_1 - \Delta f$ (assumendo come prima $\Delta f = 0$ e $\Delta f < B_1$). Il segnale è distorto ma l'informazione non è compresa.



Per questo motivo si dice che la SSB è più "robusta"
della DSB. 74

SINCRONIZZATORE DI PORTANTE

Per avviare agli incavamenti appena qualizzati, molto spesso si estrae frequenza e fase della portante direttamente dal segnale ricevuto.
Anziché impiegare un oscillatore locale, si ricorre al seguente schema



Vediamo cosa fornisce questo sincronizzatore:

$$(x(t) \text{ eas}(2\pi f_0 t + \theta_0))^2 = x^2(t) \text{ eas}^2(2\pi f_0 t + \theta_0) =$$

$$= \frac{x^2(t)}{2} + \frac{x^2(t)}{2} \text{ eas}[2\pi(2f_0)t + 2\theta_0] =$$

L'escame eliminato del filtro

$$x^2(t) = K + y(t)$$

$$(x(t) \text{ eas}(2\pi f_0 t + \theta_0))^2 = \frac{K}{2} \text{ eas}(2\pi(2f_0)t + 2\theta_0) + \frac{y(t)}{2} \text{ eas}(2\pi(2f_0)t + 2\theta_0)$$

$$\frac{1}{2} [K + y(t)] \cdot \cos[2\pi(2f_0)t + 2\theta_0] = \frac{K}{2} \cos(2\pi(2f_0)t + 2\theta_0) + \frac{y(t)}{2} \cos(2\pi(2f_0)t + 2\theta_0)$$

DENODULAZIONE IN PRESENZA DI RUMORE

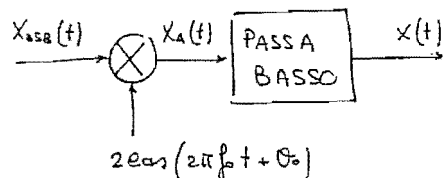
75

Si consideri un demodulatore sincrono e un segnale DSB $X_{DSB}(t)$ di banda $2B$, nella frequenza f_0 :

$$X_{DSB}(t) = x(t) \cos(2\pi f_0 t + \theta_0)$$

Sarà nato

$$x_A(t) = x(t) + x(t) \cos[2\pi(2f_0)t + 2\theta_0]$$



per ricevere $x(t)$ è sufficiente un filtro passa basso che elimini da $x_A(t)$ la componente a $2f_0$. Questo significa che basta un passa basso di banda B ; se la banda fosse maggiore avremmo i bei problemi nel caso in cui B risultasse più grande della portante f_0 .

- Consideriamo ora un "rumore" AWGN; esso è rappresentabile mediante un processo gaussiano a media nulla, con densità spettrale di potenza $N_0/2$, che chiama rumore $n(t)$. **

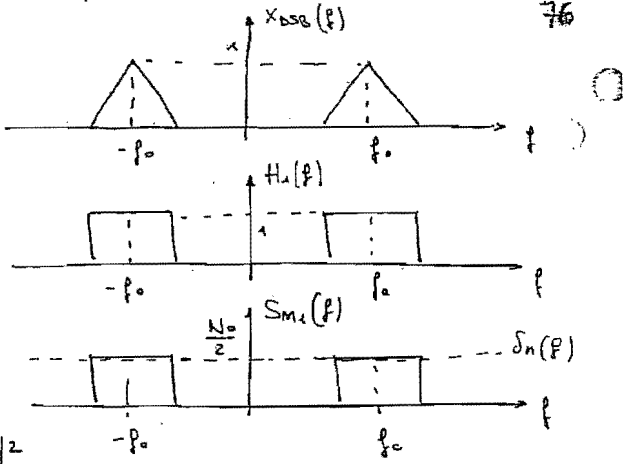
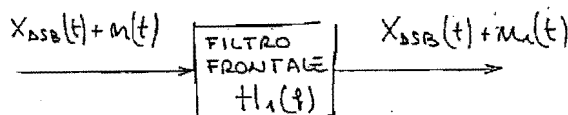
A. Demodulazione sincrona di un segnale DSB con rumore $n(t)$

Il ricevitore riceve in ingresso segnale DSB e rumore $n(t)$ riapparsi:

$$X_{DSB}(t) + n(t)$$

La frequenza lo spettro di $X_{DSB}(t)$ è nata; la densità spettrale di potenza $S_m(f)$ del rumore è costante e pari a $N_0/2$. Per eliminare quanto più rumore passabile in età nel filtraggio con un passa banda centrato alla frequenza della portante, il più passabile selettivo: in sintesi questo filtro, detto FILTO FRONTALE (Front end) deve avere una banda il più passabile vicina a quella del segnale DSB, ovvero circa $2B$. (B è la banda di $x(t)$).

** Una misura quantitativa del rumore presente è rappresentata dal rapporto fra la potenza del segnale utile e la potenza del rumore S/N.



Se uscita da H_1 avremo ancora $X_{DSB}(t)$ sommato però al processo $m_1(t)$ come in figura a lato.
Se sartanza

$$S_{m_1}(f) = S_m(f) \cdot |H_1(f)|^2 = \frac{N_0}{2} |H_1(f)|^2$$

Questa operazione non consente la possibilità di stimare $m_1(t)$, perché $n(t)$ è AWGN, per cui M e M_1 sono incorrelati e indipendenti.

Il filtro di "front end" è necessario per stimare il rapporto segnale utile ricevuto in ingresso; senza H_1 il rapporto fra potenza di X_{DSB} e potenza di n sarebbe nullo, perché N è infinita. A valle del filtro frontale avremo la potenza del DSB pari a $P_x/2$ (visto dallo studio della mod. DSB).

Fra potenza di $M_1(t)$ risulta

$$N_1 = N_i = \int_{-\infty}^{+\infty} |S_{m_1}(f)|^2 df = \frac{N_0}{2} \cdot \pi B = 2 N_0 B$$

Allora il rapporto segnale utile in ingresso e rumore in ingresso risulta:

$$\frac{S_i}{N_i} = \frac{P_x}{4 N_0 B} \quad (7.6)$$

Poniamo ora il risultato del prefiltro in ingresso al demodulatore sincrono; osserviamo però che

$$X_{DSB}(t) = X(t) \cos(2\pi f_0 t + \theta_0)$$

scrivendo $m_1(t)$ come componenti in fase e componenti in quadratura:

$$m_1(t) = M_1(t) \cos(2\pi f_0 t + \theta_0) - M_2(t) \sin()$$

Come visto il demodulatore estrae solo le componenti ⁷⁷
in fase, quindi in uscita n' ha:

$$x(t) + m_c(t)$$

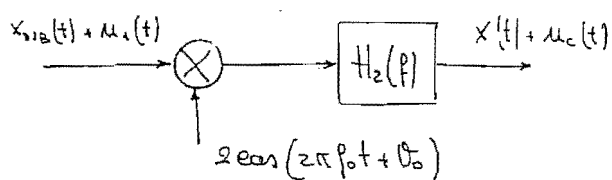
Il filtro $H_2(f)$ è di banda B; esso quindi elimina le componenti di rumore che non aveva

eliminato il filtro frontale. Per questo motivo nella demodulazione DSB il filtro di fronte non è "critico".

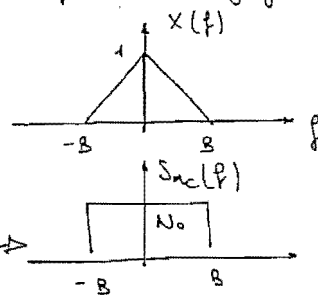
Il rapporto segnale utile rimane in uscita, può essere calcolato sulla base degli spettri ai figg., i quali risultano:

$$\frac{S_u}{N_u} = \frac{P_x}{2N_0B} = \frac{S_i}{N_i} \quad (7.7)$$

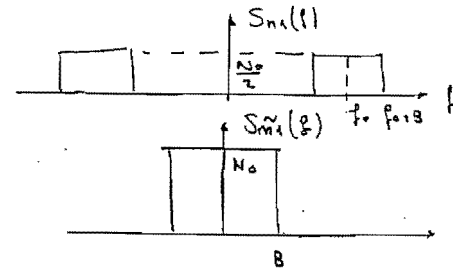
Osserviamo che tale rapporto è raddoppiato rispetto all'ingresso, quindi la demodulazione ha introdotto un miglioramento.



$$2\cos(2\pi f_0 t + \phi_0)$$



Vediamo come è stata ricavata $S_{m_c}(f)$; ricordiamo che nota $S_{u_1}(f)$ si calcola l'inviluppo complesso $S_{m_1}(f)$



Dall'inviluppo complesso

$$S_{m_1}(f) = S_{m_c}(f) = \frac{S_{u_1}(f) + S_{u_1}(-f)}{2}$$

B. Demodulazione finexana di un segnale SSB con scuola $M(t)$

Il ricevitore rileva in ingresso

78 C

$$X_{SSB}(t) + m(t)$$

In questo caso il segnale SSB è di banda B , così il filtro frontale dovrà essere passa banda in forma di banda B , fra f_0 e $f_0 + B$. In questo caso allora in ingresso al demodulatore avremo $X_{SSB}(t)$ e un processo $M_1(t)$ con potenza

$$N_1 = N_i = \int_{-\infty}^{+\infty} |S_{M_1}(f)|^2 df = N_0 B \quad (7.8)$$

Come visto la potenza di un segnale SSB è $P_x/4$, quindi il rapporto segnale utile rumore sarà:

$$\frac{S_i}{N_i} = \frac{P_x}{4N_0 B} \quad (7.9)$$

Rimettiamo estrane la sola componente in fase; sapendo che

$$X_{SSB}(t) = \frac{x(t)}{2} \cos(\phi) + \frac{\dot{x}(t)}{2} \sin(\phi)$$

viene estratto $\frac{x(t)}{2}$; per il rumore viene estratta $N_0(t)$

In questo caso però $S_{M_1}(f)$

è quella di figura.

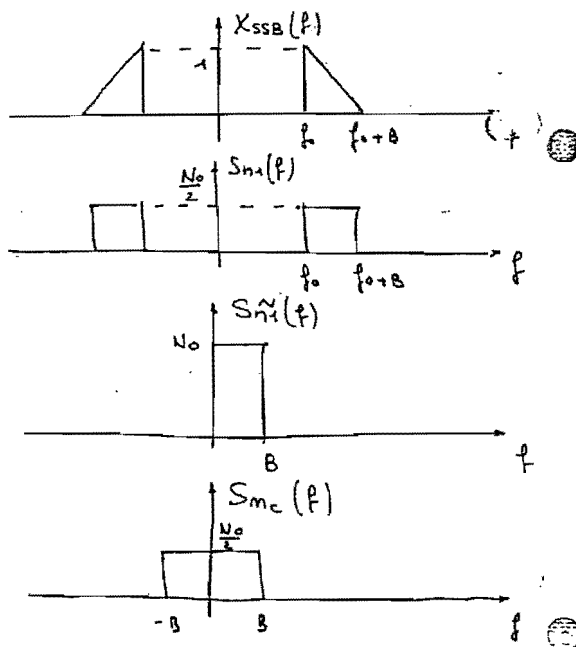
Calcoliamo $S_{M_1}(f)$ e dalla relazione

$$S_{M_1}(f) = \frac{S_{\tilde{x}_1}(f) + S_{\tilde{x}_1}(-f)}{2}$$

determiniamo la densità spettrale di potenza della componente in fase $M_1(t)$.

Se come la comp. in fase di $X_{SSB}(t)$ è $\frac{x(t)}{2}$ la pot. del segnale utile è $P_x/4$, quindi il rapporto S/N in uscita risulta

$$\frac{S_u}{N_u} = \frac{P_x}{4N_0 B} \quad (7.10)$$



Criticità del filtro frontale per la demodulazione SSB. 79

Supponiamo che il filtro frontale $H_1(f)$, anziché essere di banda B , ecceda di ΔB_1 a sx e di ΔB_2 a dx.

In questo caso il processo $m_1(t)$ che si presenta in ingresso al demodulatore ha densità spettrale $S_{m1}(f)$ costante e pari a $\frac{N_0}{2}$ nell'intervallo che va da $f_0 - \Delta B_1$ a $f_0 + B + \Delta B_2$.

Supponzi tutto diminuisce il rapporto S/N in ingresso, perché $S_i = P_x / 4$

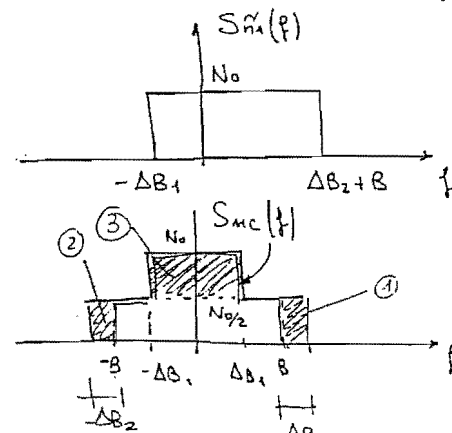
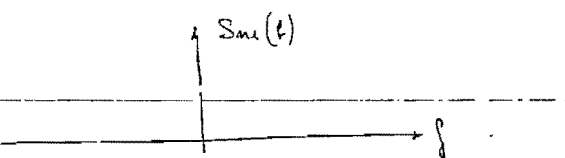
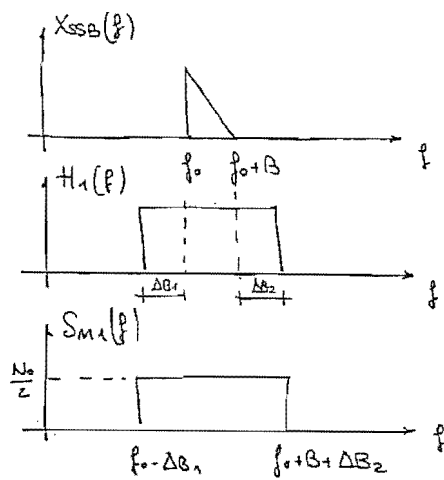
$$N_i = N_0 (B + \Delta B_1 + \Delta B_2) \\ (\text{anziché } N_0 B)$$

Quindi calcoliamo la componente in fase di $m_1(t)$; partiamo da $S_{m1}(f)$ e quindi da $\tilde{S}_{m1}(f)$; sapendo che

$$S_{mc}(f) = \frac{\tilde{S}_{m1}(f) + \tilde{S}_{m1}(-f)}{2}$$

Si viene a creare la zona ③ che esiste proprio nella banda di $X(t)$, ma può più essere eliminata.

Per questo motivo ΔB_1 deve essere il più piccolo possibile. L'eccedenza ΔB_2 non influenza perché comunque viene eliminata tramite $H_2(f)$.



Facciamo ora un rapido confronto del comportamento in demodulazione di DSB e SSB nei confronti del canale AWGN $m(t)$.

$$P_{DSB} = \text{pot. trasmessa in DSB} = \frac{P_x}{2}$$

$$\left(\frac{S_u}{N_u} \right)_{DSB} = \frac{P_x}{2 N_o B} = 2 \left(\frac{S_i}{N_i} \right)_{DSB}$$

$$P_{SSB} = \text{pot. trasmessa in SSB} = \frac{P_x}{4}$$

$$\left(\frac{S_u}{N_u} \right)_{SSB} = \frac{P_x}{4 N_o B} = \left(\frac{S_i}{N_i} \right)_{SSB}$$

Osserviamo che anche se

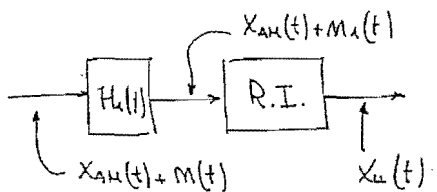
$$\left(\frac{S_u}{N_u} \right)_{SSB} = \frac{1}{2} \left(\frac{S_u}{N_u} \right)_{DSB}$$

l'efficienza della SSB è la stessa della DSB, perché il rapporto S/N è calcolato su metà della potenza in trasmissione.

C. Rivelatore di inviluppo con AM ($\mu \leq 1$)

81

Anche in questo caso si riceve un segnale AN sovrapposto allo stesso rumore $m(t)$ AWGN; osserva anche in questo caso un filtro di frangiale di banda 2B centrato in f_0 , all'uscita del quale si ha ancora $X_{AN}(t) + m_1(t)$ di banda due 2B. All'ingresso del rivelatore di inviluppo avremo:



$$\begin{aligned} X_{AN}(t) + M_1(t) &= A_0 [1 + \mu x(t)] \cos(\omega_0 t + \theta_0) + m_1(t) = \\ &= A_0 [1 + \mu x(t)] \cos(\omega_0 t + \theta_0) + M_c(t) \cos(\omega_0 t + \theta_0) - M_s(t) \sin(\omega_0 t + \theta_0) = \\ &= [A_0 + \mu A_0 x(t) + M_c(t)] \cos(\omega_0 t + \theta_0) - M_s(t) \sin(\omega_0 t + \theta_0) \end{aligned}$$

In questo caso la componente in fase è

$$A_0 + \mu A_0 x(t) + M_c(t)$$

mentre quella in quadratura è $M_s(t)$. Ricordiamo che l'uscita del rivelatore di inviluppo è il modulo dell'inviluppo complesso, quindi:

$$X_u(t) = \sqrt{[A_0 + \mu A_0 x(t) + M_c(t)]^2 + M_s^2(t)}$$

Se vale la condizione sul rapporto segnale utile rumore in ingresso molto grande:

$$\frac{S_i}{N_i} \gg 1 \quad (7.11)$$

si ottiene:

$$X_u(t) = \sqrt{[A_0 + \mu A_0 x(t) + M_c(t)]^2}$$

$$\text{con } A_0 + \mu x(t) A_0 + M_c(t) \geq 0$$

quindi:

$$X_u(t) = A_0 + \mu A_0 x(t) + M_c(t) \quad (7.12)$$

ed è lo stesso risultato che si ottiene con un demodulatore sincrono. Se la (7.11) non è soddisfatta si ha la "NOTICAZIONE DEL SEGNALE": ciò che si ottiene in uscita è una funzione non lineare del segnale originale e quindi non è possibile estrarlo. Per garantire il soddisfacimento della condizione (7.11) è necessario scegliere il più preciso passabanda il filtro frontale, per ridurre il più passabile la densità spettrale di potenza del rumore n_1 , alzando il rapporto fra segnale utile e rumore in ingresso.

MODULAZIONE DI FREQUENZA (FM) E DI FASE (PM)

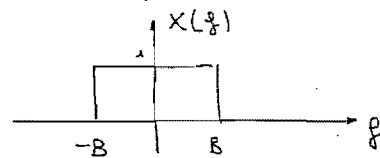
Per entrambe i casi la portante è $p(t)$

$$p(t) = A_0 \cos(2\pi f_0 t + \theta_0)$$

Nella FM viene modulata la frequenza nella PM viene modulata la fase, in ogni caso in maniera proporzionale al seguale modulante $x(t)$. Nota lo spettro di $x(t)$:

In generale il seguale modulato, può essere scritto come:

$$x_m(t) = A_0 \cos [2\pi f_0 t + \Phi(t) + \theta_0] \quad (8.1)$$



nella quale $\Phi(t)$ è la funzione che mantiene le informazioni su $x(t)$. Possiamo anche scrivere

$$\begin{aligned} x_m(t) &= A_0 \cos [2\pi f_0 t + \Phi(t) + \theta_0] = \\ &= \operatorname{Re} \left\{ A_0 e^{j[2\pi f_0 t + \Phi(t) + \theta_0]} \right\} \end{aligned}$$

ed è per questo che vengono dette modulazioni esponenziali.

L'argomento del coseno è detta FASE Istantanea $\theta(t)$:

$$\theta(t) = 2\pi f_0 t + \Phi(t) + \theta_0 \quad (8.2)$$

derivando si ottiene la velocità angolare della FREQUENZA ISTANTANEA:

$$(8.3) \quad f(t) = \frac{1}{2\pi} \frac{d\theta(t)}{dt} = f_0 + \frac{1}{2\pi} \dot{\Phi}(t) = f_0 + \frac{1}{2\pi} \frac{d\Phi(t)}{dt}$$

Nella modulazione PM la funzione $\Phi(t)$, che contiene le informazioni sul seguale modulante, è la seguente

$$\boxed{\Phi(t)_{PH} = \Phi_\Delta \cdot x(t)} \quad (8.4) \quad \text{NOTA}$$

l'espressione del seguale $x_{PH}(t)$ pertanto risulta

$$(8.5) \quad x_{PH}(t) = A_0 \cos [2\pi f_0 t + \Phi_\Delta x(t) + \theta_0]$$

nel caso della FM, invece si vuole che

84

$$\frac{1}{2\pi} \dot{\Phi}(t) = f_A x(t) = (f(t) = f_0 + f_A x(t))$$

quindi risulta

$$\boxed{\Phi_{FH}(t) = 2\pi f_A \int_{-\infty}^t x(n) dN} \quad (8.6)$$

NOTA

l'espressione del segnale modulato in frequenza $X_{FH}(t)$ risulta

$$(8.7) \quad X_{FH}(t) = A_0 \cos \left[2\pi f_0 t + 2\pi f_A \int_{-\infty}^t x(n) dN + \theta_0 \right]$$

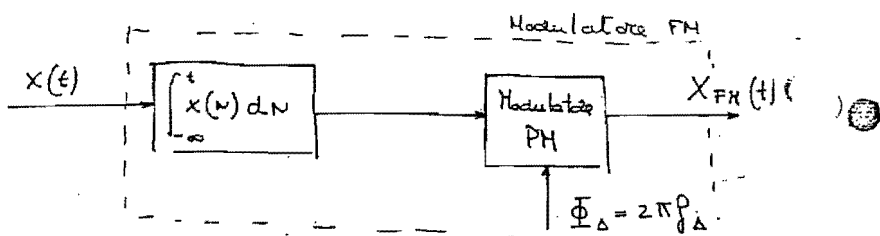
la quantità $\dot{\Phi}_A$ è detta INDICE DI MOD. DI FASE
mentre la quantità f_A è detta INDICE DI MOD. DI FREQUENZA. Scegliendo per convenzione segnali con $|x(t)| \leq 1$, i due indici rappresentano il scostamento di fase e di frequenza rispettivamente.

Modulazione di fase e Modulazione di frequenza sono strettamente legate, infatti una può essere ottenuta dall'altra mediante operazioni di derivazione o integrazione sul segnale in ingresso al modulatore.

Sulla base dell'espressione (8.7)

Schema 8.1

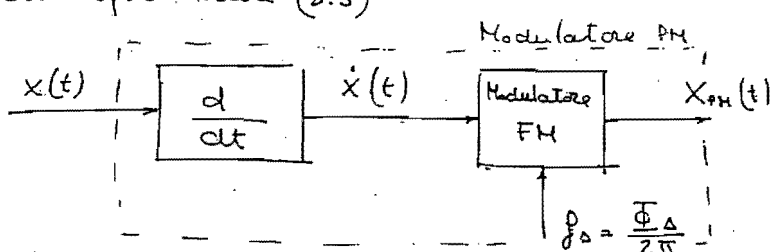
Modulatore FM
realizzato con
modulatore PM



Sulla base dell'espressione (8.5)

Schema 8.2

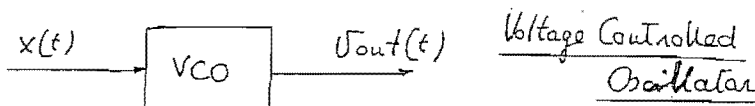
Modulatore PM
realizzato con
modulatore FH



In generale come modulatore FH si utilizza un dispositivo elettronico detto VCO (Voltage Controlled Oscillator), che realizza la funzione:

$$V_{out} = A_0 \cos [2\pi f_0 t + K \int_{-\infty}^t x(t) dN + \theta_0]$$

85



In generale modulatori PM non esistono e vengono realizzati tramite modulatori FM come nello schema precedente (Schema 3.2).

Per ciò che riguarda la demodulazione, per definizione un demodulatore FM è un dispositivo che fornisce in uscita un segnale proporzionale ad $x(t)$ avendo in ingresso $X_{FM}(t)$.

Un demodulatore FM che riceve

in ingresso un segnale PM

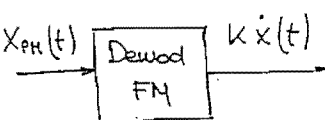
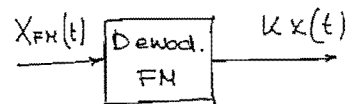
- $x_{PM}(t)$, restituisce in uscita

$\dot{x}(t)$, un segnale pro-

porzionale alla derivata di $x(t)$;

allora basta integrare per

completare la demodulazione PM.



Osservazione: la frequenza istantanea $f(t)$ è una funzione del tempo; nell'operazione di trasformazione di Fourier la frequenza f è una variabile indipendente.

Nei due casi, il significato di frequenza, è profondamente diverso e non va assolutamente confuso.

Pariamo riassumere alcuni aspetti delle mod. esponezionali.

1. L'ampiezza di un segnale modulato esponezialmente è costante.
2. L'informazione si trova solo nell'attraversamento dello zero del segnale modulato.
3. Non sempre si riesce a visualizzare tramite l'onda del segnale modulato, l'andamento del segnale modulante.

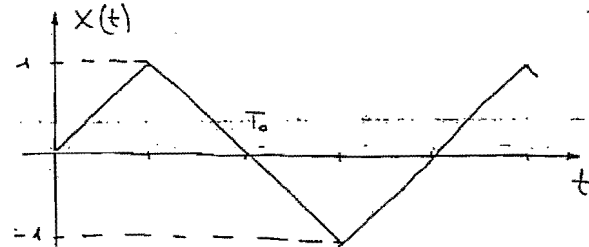
ANDAMENTO TEMPORALE DEL SEGNALE

86

Supponiamo il segnale modulante di tipo triangolare di ampiezza unitaria con T_0 (T_0 non è il periodo).

Il segnale modulato, in frequenza in fase è un'oscillazione compresa fra $+f_0$ e $-f_0$.

Nella modulazione PM,



$$X_{PM}(t) = A_0 \cos [2\pi f_0 t + \Phi(t) + \theta_0]$$

$$= A_0 \cos [2\pi f_0 t + \frac{\Phi}{\Delta} x(t) + \theta_0]$$

nella quale la fase istantanea varia con continuità perché $x(t)$ è continuo. La frequenza istantanea risulta

$$f(t) = \frac{1}{2\pi} \frac{d\Phi(t)}{dt} = f_0 + \frac{\Phi}{2\pi} \dot{x}(t)$$

il segnale $x(t)$ non è che la derivata del segnale modulante; la frequenza istantanea, allora, è proporzionale alla "pendenza", in quell'istante, del segnale. Si quanto aumenta o diminuisce $f(t)$, dipende dal segnale (in particolare sua derivata), ma anche dall'indice di modulazione.

Per $t < 0$ $x(t) = 0$ allora

$$f(t) = f_0$$

cioè si ha lo spettro non modulato. Nell'intervallo

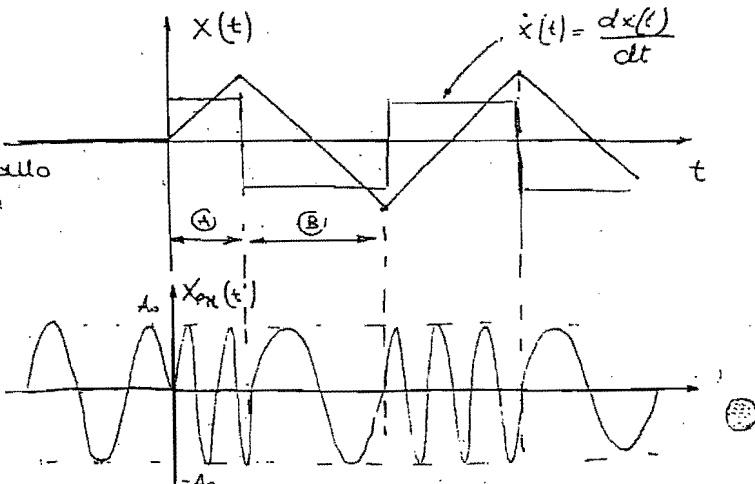
④ la $\dot{x}(t)$ è positiva, allora

$$f(t) = f_0 + f_\Delta \dot{x}(t) > f_0$$

Nell'intervallo ⑤ al contrario la $\dot{x}(t)$ è neg, allora

$$f(t) = f_0 + f_\Delta \dot{x}(t) < f_0$$

In ogni caso $f(t)$ è proporzionale a $\dot{x}(t)$.



$$\begin{aligned} X_{FM}(t) &= A_0 \cos [2\pi f_0 t + \Phi(t) + \theta_0] = \\ &= A_0 \cos \left[2\pi f_0 t + 2\pi \int_{-\infty}^t m(\tau) d\tau + \theta_0 \right] \end{aligned}$$

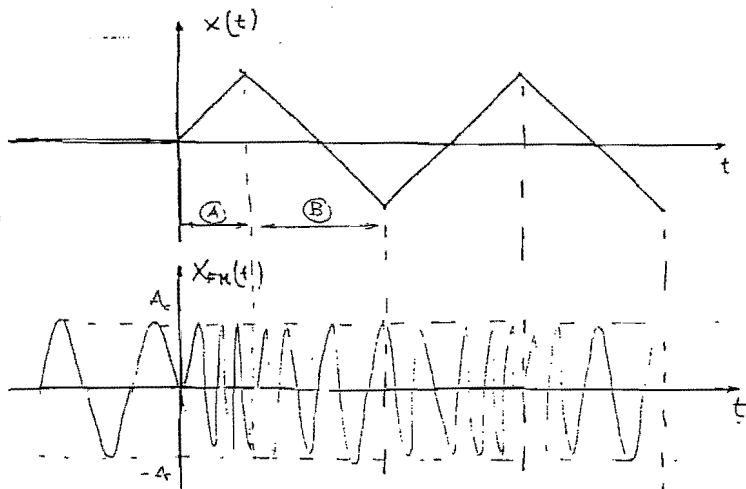
la frequenza istantanea risulta

$$f(t) = f_0 + f_m \times (t)$$

ovvero è proporzionale direttamente al segnale $x(t)$, tramite l'indice di modulazione f_m .

I diagrammi temporali del segnale $x(t)$ triangolare sono i seguenti.

- Per $t=0$ si ha la portante non modulata, perché $x(t)=0$.
Nel tratto ① $\Phi(t)$ aumenta linearmente in funzione di $x(t)$ e tocca il valore massimo in $T_0/2$. Al contrario in ② la frequenza diminuisce linearmente con $x(t)$.



VINCOLI DI MODULAZIONE

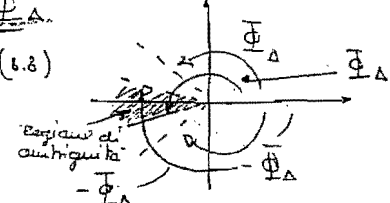
Un sistema di modulazione deve assicurare la possibilità di determinare in maniera univoca il segnale originale. Per questo motivo occorre osservare alcuni vincoli.

A. Indice di Modulazione di fase Φ_m

E' necessario che $|\Phi_m| < \pi$ (1.8)

in questo modo riusciamo a che, essendo $|x(t)| \leq 1$ $\Phi(t)$

varia fra $-\Phi_m$ e Φ_m . Se Φ_m fosse maggiore di π



B. Indice di Modulazione di frequenza f_m

88

È necessario $f_m < f_0^{(8.9)}$ per assicurare la natura pura banda di $x_{FM}(t)$, ovvero del segnale modulato (elaboriamo in seguito questo aspetto)

C. Vincolo sulla frequenza di portante

$$f_0 > B \quad (8.10)$$

Gli altri termini la portante deve variare molto più velocemente del segnale modulante.

ANALISI IN POTENZA DEI SEGNALI FM e PM

In entrambi i casi la potenza associata al segnale trasmesso, FM o PM che sia, vale:

$$P_{FM} = P_{PM} = \frac{A_0^2}{2} * \quad (8.11)$$

ovvero è la potenza associata alla portante simbolale.

Intuitivamente si può giustificare la (8.11), pensando al vincolo (8.10); ricordiamo che per segnali periodici

$$\rightarrow P = \frac{1}{T} \int_0^T |x(t)|^2 dt$$

mentre per segnali aperiodici

$$\rightarrow P = \lim_{T \rightarrow \infty} \frac{1}{T} \int_{-\frac{T}{2}}^{\frac{T}{2}} |x(t)|^2 dt$$

Allora considerato un intervallo piccolo $x(t)$ varia poco, per cui $x_{FM}(t) \circ X_{PM}(t)$ si scatta di poco dall'audacezza della portante. Gli altri termini $\Phi(t)$ è attenuato da $x(t)$ tramite relazioni lineari o integrali; allora la banda di $\Phi(t)$ è la stessa del segnale modulante $x(t)$. Per questo motivo $\Phi(t)$ varia con la stessa velocità di $x(t)$.

$$P_{PM} = \frac{1}{T} \int_{-\frac{T}{2}}^{\frac{T}{2}} A_0^2 \cos^2(\omega t + \theta_0) dt = \frac{1}{T} \frac{A_0^2}{2} \left[+ \right]_{-\frac{T}{2}}^{\frac{T}{2}} = \frac{A_0^2}{2} *$$

Vediamo una dimostrazione più rigorosa

$$X_H(t) = A_0 \cos \left[\frac{\pi}{2} f_0 t + \underline{\Phi}(t) + \phi_0 \right] = A_0 \cos \underline{\Phi}(t) \cos \left(2\pi f_0 t + \phi_0 \right) - A_0 \sin \underline{\Phi}(t) \sin \left(2\pi f_0 t + \phi_0 \right)$$

Allora

$A_0 \cos \underline{\Phi}(t)$ = Componente in fase

$A_0 \sin \underline{\Phi}(t)$ = Componente in quadratura

come moto

$$P_H = \frac{1}{2} (P_c + P_s)$$

nella quale

$$P_c = \lim_{T \rightarrow \infty} \left[\frac{1}{T} \int_{-\frac{T}{2}}^{\frac{T}{2}} x_c^2(t) dt \right]$$

$$P_s = \lim_{T \rightarrow \infty} \left[\frac{1}{T} \int_{-\frac{T}{2}}^{\frac{T}{2}} x_s^2(t) dt \right]$$

Allora

$$\begin{aligned} P_c + P_s &= \lim_{T \rightarrow \infty} \left[\frac{1}{T} \int_{-\frac{T}{2}}^{\frac{T}{2}} [x_c^2(t) + x_s^2(t)] dt \right] = \\ &= \lim_{T \rightarrow \infty} \left[\frac{1}{T} \int_{-\frac{T}{2}}^{\frac{T}{2}} A_0^2 dt \right] = A_0^2 \end{aligned}$$

quindi

$$P_H = \frac{1}{2} (P_c + P_s) = \frac{A_0^2}{2}$$



ANALISI DELLA OCCUPAZIONE DI FREQUENZA

90

Come in precedenza scrivendo il segnale modulato con le componenti in fase e in quadratura, avremo

$$X_M(t) = A_0 \cos [\omega_f t + \Phi(t) + \theta_0] =$$

con

$$X_c(t) = A_0 \cos \Phi(t) \quad (8.12.1)$$

$$X_s(t) = A_0 \sin \Phi(t) \quad (8.12.2)$$

sviluppando con la serie di Taylor le due espressioni (8.12.1) e (8.12.2), ottieniamo

$$X_c(t) = A_0 \cos \Phi(t) = \left[1 - \frac{\Phi^2(t)}{2!} + \frac{\Phi^4(t)}{4!} + \dots \right] A_0 \quad (8.12.3)$$

$$X_s(t) = A_0 \sin \Phi(t) = \left[\Phi(t) - \frac{\Phi^3(t)}{3!} + \dots \right] A_0 \quad (8.12.4)$$

Se $x(t)$ ha banda B , la funzione $\Phi(t)$ avendo proporzionale ad $x(t)$ (nella AM) o all'integrale (nella FM) di $x(t)$ ha esattamente la stessa banda. La componente in fase e quella in quadratura invece hanno banda molto maggiore di B ; infatti $\Phi^2(t)$, $\Phi^3(t)$, ..., $\Phi^n(t)$ sono delle convolutioni in frequenza che allargano la banda:

$\Phi^2(t)$ ha banda $2B$

$\Phi^3(t)$ ha banda $3B$

\vdots
 $\Phi^n(t)$ ha banda nB

La modulazione PM o FM che sia, puo' essere vista come la differenza tra una modulazione DSB per un canale, meno una DSB per un altro.

→ $X_M(t) = A_0 \cos \Phi(t) \cos(2\pi f_c t + \theta_0) - A_0 \sin \Phi(t) \sin(2\pi f_c t + \theta_0)$

nella quale i segnali modulatori

$$A_0 \cos \Phi(t) \text{ e } A_0 \sin \Phi(t).$$

hanno banda molto maggiore di B . In conclusione

$$B_{PM} \text{ e } B_{FM} \gg B \quad (8.13)$$

MODULAZIONI ESPOENZIALI A BANDA STRETTA (Narrow Band) Stretta Band

Consideriamo il caso in cui

$$|\Phi(t)| \ll 1$$

alle (8.1.3) e (8.1.4), pariamo approssimare come segue

$$A_0 \cos \Phi(t) \approx A_0 \cdot 1$$

$$A_0 \operatorname{sen} \Phi(t) \approx A_0 \Phi(t)$$

$$\left\{ \begin{array}{l} \Phi(t) \text{ PM} \\ 2\pi f_0 \int_{-\infty}^t x(\tau) d\tau \text{ FM} \end{array} \right.$$

Allora il segnale modulato $x_H(t)$ risulta:

$$(8.14) \quad x_H(t) = A_0 \cos(2\pi f_0 t + \theta_0) - A_0 \Phi(t) \operatorname{sen}(2\pi f_0 t + \theta_0)$$

Una frequenza, per le sole frequenze portanti

$$(8.15) \quad x_H(f) = \frac{A_0}{2} \delta(f - f_0) e^{j\theta_0} + j \frac{A_0}{2} \Phi(f - f_0) e^{j\theta_0}$$

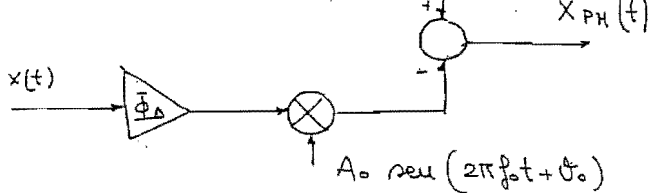
- Di fatto dalla (8.14) si può vedere $x_H(t)$ come un segnale AM con portante sinusoidale. Ricordando gli schemi di modulazione AM e ricordando che nei due casi:

$$FM \rightarrow \Phi(t) = 2\pi f_0 \int_{-\infty}^t x(\tau) d\tau$$

$$PM \rightarrow \Phi(t) = \Phi_0 x(t)$$

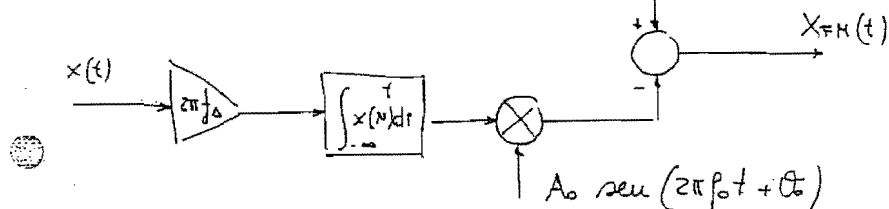
- si pensano tracciare i seguenti schemi.

$$A_0 \cos(2\pi f_0 t + \theta_0)$$



Schema 8.3
Modulazione
NBPM

$$A_0 \cos(2\pi f_0 t + \theta_0)$$



Schema 8.4
Modulazione
NBFM

Il segnale della (8.14) mi dice A BANDA STRETTA;
a seconda della funzione $\Phi(t)$ mi ha NBPH o NBFM.

BANDA DEI SEGNALI FM E PH

Sia $X_{FM}(t)$ un segnale modulato in frequenza nella forma

$$X_{FM}(t) = A \cdot \cos \left[2\pi f_0 t + 2\pi f_0 \int_0^t x(r) dr + \phi \right]$$

Se $x(t)$, cioè il segnale modulante è del tipo

$$x(t) = A_1 \cos(2\pi f_1 t)$$

nello spettro compaiono una serie di componenti armoniche eccedenti lo spettro del segnale modulante. Anche se il segnale ha banda limitata, modulando in FM la banda è teoricamente infinita.

Esistono delle relazioni (per la dim. vedi Carlson) approssimate che permettono di qualificare la banda.

$$B_{FM} \approx 2(f_A + B) \quad (8.16)$$

della FORMULA DI CARLSON. Una formula più precisa è la seguente

$$B_{FM} \approx 2(f_A + 2B) \quad (8.17)$$

A seconda della qualità richiesta si sceglie una oppure l'altra relazione.

Esempio

Un segnale Audio di qualità ha una banda B di 15 kHz. A seconda delle modulari mi ha

$$B_{AM} = 30 \text{ kHz}$$

$$\begin{aligned} B_{FM_1} &\approx 180 \text{ kHz} \\ B_{FM_2} &\approx 210 \text{ kHz} \end{aligned} \quad \left. \begin{array}{l} \text{tipicamente con } f_A = 75 \text{ kHz}, \\ \text{ } \end{array} \right\}$$

per la modulazione PM vale la seguente: 93

$$B_{PM} \approx 2 (\Phi_0 + 1) B \quad (8.18)$$

DISPOSITIVI DI MODULAZIONE E DEMODULAZIONE FM

BLOCCO LIMITATORE

Sia $X_M(t)$ un segnale modulato; esprimendolo tramite componenti in fase e in quadratura avremo

$$\begin{aligned} X_M(t) &= X_C(t) \cos(2\pi f_0 t) + X_S(t) \sin(2\pi f_0 t) = \\ &= p(t) \cos[2\pi f_0 t + \Phi(t)] = p(t) \cos(\theta(t)) \end{aligned}$$

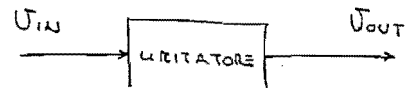
ponendo $\theta(t) = 2\pi f_0 t + \Phi(t)$. Osserviamo che

$$p(t) = \sqrt{X_C^2(t) + X_S^2(t)} \quad \begin{aligned} X_C(t) &= A_0 \cos \frac{\theta(t)}{2} \\ X_S(t) &= A_0 \sin \frac{\theta(t)}{2} \end{aligned}$$

$$\Phi(t) = \arctg \frac{X_S(t)}{X_C(t)}$$

Un LIMITATORE è un blocco non lineare senza memoria che ricevendo in ingresso un segnale $V_{IN} = X_M(t)$, fornisce in uscita V_{OUT} eam definita

$$V_{OUT}(t) = A_L \cos[2\pi f_0 t + \Phi(t)]$$



In particolare troviamo un blocco non lineare

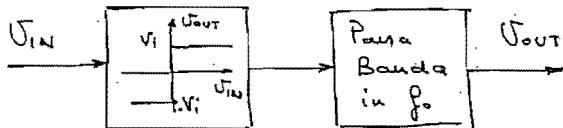
con la caratteristica $V_{OUT}(V_{IN})$ di figura, seguente, da un filto passa banda centrato in f_0 .

Se

$$V_{IN} = p(t) \cos[\theta(t)]$$

in uscita

$$V_{OUT} = A_L \cos[\theta(t)]$$



Il primo blocco è uno "squadratore".
Fissiamo $t = \bar{t}_0$, in ingresso:

$$p(\bar{t}) \cos[\theta(\bar{t})] \quad (9.1)$$

L'ingresso è periodico rispetto a $\theta(t)$, allora anche V_{OUT} è periodico rispetto a $\theta(t)$ con periodo 2π (perché è un coseno).

L'uscita del blocco è senza memoria, quindi, per valori uguali di ingresso si hanno valori uguali di uscita. Allora esprimiamo $V_{out}(t)$ come serie di Fourier di un segnale periodico:

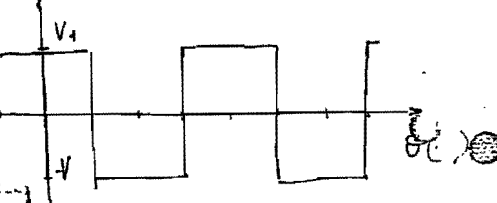
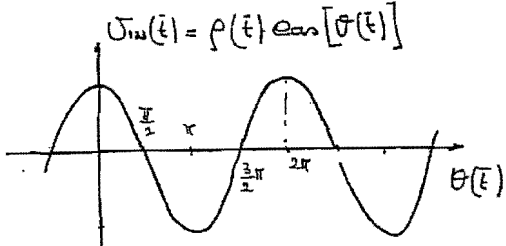
$$V_{out}(t) = \sum_{m=-\infty}^{+\infty} a_m e^{j2\pi \frac{m\theta}{2\pi}}$$

il periodo di V_{in} rispetto a θ è 2π e la variabile rispetto alla quale si parla di periodicità è $\theta(t)$

$$\begin{aligned} V_{out}(t) &= \sum_{n=-\infty}^{+\infty} a_n e^{jn\theta} = 2 \sum_{n=0}^{+\infty} |a_n| \cos\{\theta + \arg(a_n)\} \\ &= a_0 + 2 \sum_{n=1}^{+\infty} |a_n| \cos\{\theta + \arg(a_n)\} \end{aligned}$$

Calcoliamo i coefficienti a_n :

$$\begin{aligned} a_n &= \frac{1}{2\pi} \int_{[2\pi]} V_{out} e^{-jn\theta} d\theta = \\ &= \frac{1}{2\pi} \left[\int_{-\frac{\pi}{2}}^{\frac{\pi}{2}} V_1 e^{-jn\theta} d\theta - \int_{+\frac{\pi}{2}}^{\frac{3\pi}{2}} V_1 e^{-jn\theta} d\theta \right] = \\ &= \frac{1}{2\pi} \left[V_1 \frac{e^{-jn\theta}}{-jn} \Big|_{-\frac{\pi}{2}}^{\frac{\pi}{2}} - V_1 \frac{e^{-jn\theta}}{-jn} \Big|_{\frac{\pi}{2}}^{\frac{3\pi}{2}} \right] = \\ &= \frac{1}{\pi} \frac{V_1}{M} \frac{e^{jn\frac{\pi}{2}} - e^{-jn\frac{\pi}{2}}}{2j} + \frac{V_1}{M\pi} \frac{e^{j\frac{3\pi}{2}} - e^{-j\frac{3\pi}{2}}}{2j} \\ &= \frac{V_1}{m\pi} \left[\sin m\frac{\pi}{2} + e^{-j\frac{\pi}{2}m} \left(\frac{(-1)^m - 1}{2j} \right) \right] \end{aligned}$$



Calcoliamo alcuni dei coefficienti:

$$a_1 = \frac{2V_1}{\pi} \quad a_2 = 0 \quad a_3 = \frac{V_1}{3\pi} \left[-1 - 1 \right] = -\frac{2}{3} \frac{V_1}{\pi} \dots$$

Riscrivendo $V_{out}(t)$:

$$V_{out}(t) = \frac{4V_1}{\pi} \cos[\theta(t)] + \frac{4}{3} \frac{V_1}{\pi} \cos[3\theta(t)] + \dots \quad (9.2)$$

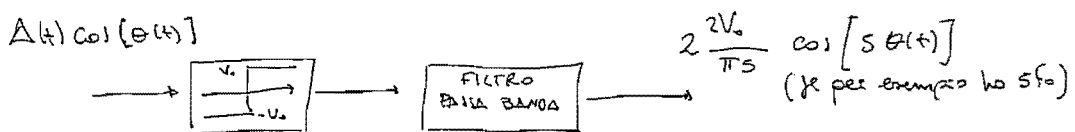
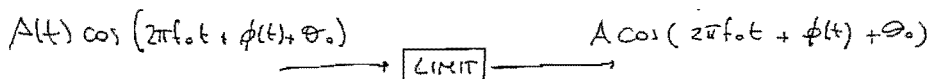
$$\textcircled{+} = \frac{4V_0}{\pi} \cos \theta + 2 \sum a_m \cos(m\theta + \phi_m)$$

$$\frac{4V_0}{\pi} \cos[\theta(t)] + 2 \sum |a_m| \cos[m\theta(t) + \phi_m]$$

$$Q_m = \begin{cases} \frac{2V_0}{\pi m} & m \text{ passa dispori} \\ 0 & m \text{ non dispori} \end{cases}$$

LIMITATORE

È un oggetto che riceve in ingresso un oggetto



MODULATORE BANDA LARGA

$$x_n(t) = A_n \cos[2\pi f_n t + \phi_n(t) + \theta_n] = A_n \cos[N(2\pi \frac{f_n}{N} t + \frac{\phi_n(t)}{N} + \frac{\theta_n}{N})]$$

$$\frac{\phi_n(t)}{N} \ll 1$$

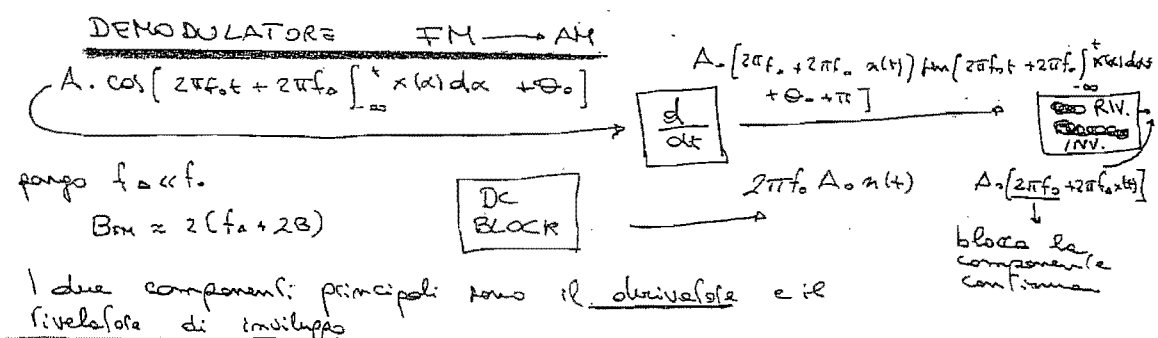
↳ moltiplica la fase informazione



Mod. banda stretta + moltiplicatore di fase informazione

→ Vale per FM e PM.

Un altro modulatore, MA SOLO PER LE FM è il VCO

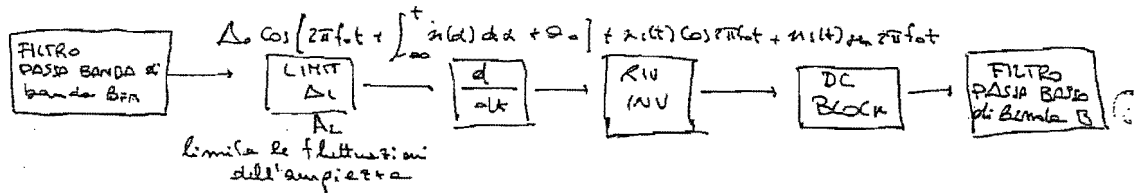


fondo $f_a \ll f_0$

$$B_{FM} \approx 2(f_a + 2B)$$

I due componenti principali sono il oscillatore e il rivelatore di inviluppo





Il ... filtre riesce a selezionare componenti di frequenza del segnale.

Questi sono i 6 blocchi fondamentali di un DEMODULATORE FM

$$A_0 \cos [2\pi f_0 t + \phi(t) + \Theta_0] + m(t)$$

elimina le componenti
del rumore o di fuori del
segnale

$$S_i = \frac{A_0^2}{2}$$

I è considerato il verso e proprio ingresso.

Vediamo N_i ...

$$N_i = \left(\frac{N_0 B_{FH}}{2} \right) \cdot 2 = N_0 B_{FH}$$

\hookrightarrow considera anche le frequenze negative

Scrivo il segnale dopo il filtro di front-end

$$A_0 \cos [2\pi f_0 t + \phi(t) + \Theta_0] + \underbrace{m_i(t) \cos [2\pi f_0 t + \phi_i(t)] - m_i(t) \sin [2\pi f_0 t + \Theta_i]}_{\text{envelope}} \quad \textcircled{2}$$

L'inviluppo completo lo scrivo con modulo e fase

$$A_m(t) \cos [2\pi f_0 t + \phi_m(t) + \Theta_0]$$

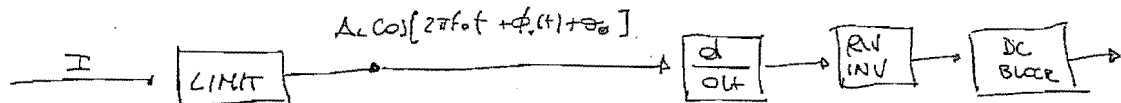
$$\hat{m}(t) = m_i(t) + j m_i(t) = A_m(t) e^{j\phi_m(t)} \quad m_i(t) = \Re [\hat{m}(t) e^{j(\omega_0 t + \Theta_0)}]$$

$$\textcircled{3} = A_r(t) \cos [2\pi f_0 t + \phi_r(t) + \Theta_0]$$

(il segnale è passabanda, il rumore è passabanda \Rightarrow la risoluzione è formidabile)

$$\text{lo scrivo come } A_r(t)^{\phi(t)} + A_m(t)^{\phi_m(t)} = A_r(t) e^{j\phi_r(t)}$$

- SOMMARE 2 SEGNALI SIGNIFICA SOMMARE I RISPETTIVI INVILUPPI COMPLESSI



dopo il divisorio...

$$A_r [2\pi f_0 t + \phi_r(t)] + \sin [2\pi f_0 t + \phi_r(t) + \Theta_0 + \pi]$$

dopo RN INV...

$$A_r [2\pi f_0 t + \phi_r(t)]$$

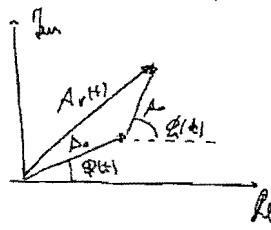
dopo DC BLOC...

$$A_r \phi_r(t)$$

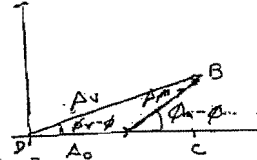


Diagramma fazionale.

1) lo schema funziona se ho $f_{\text{RF}} + m(t)$? $\phi_r(t)$ è proporzionale al segnale?



Se muovo il diagramma di $\phi(t)$
non varia $\phi_r(t)$



$$\phi_r(t) - \phi(t) = \operatorname{arcctg} \frac{A_0(t) \sin(\phi_0(t) - \phi(t))}{A_0 + A_m(t) [\cos(\phi_0(t) - \phi(t))]} = \operatorname{arcctg} \frac{BC}{DC}$$

$$\phi_r(t) = \phi(t) + \operatorname{arcctg} \frac{BC}{DC}$$

$$H_p \quad \frac{\delta_i}{N_i} \gg 1$$

Dove x, y gaussiane indipendenti

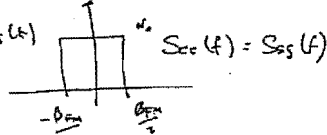
$$R = \sqrt{x^2 + y^2} \quad A_m(t) \text{ Rayleigh} \\ \phi_r(t) \text{ uniforme}$$



Caso FM

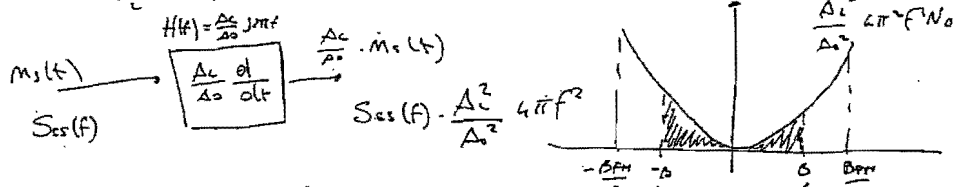
$$A_c \dot{\phi}_r(t) = A_c \left[\dot{\phi}(t) + \frac{m_s(t)}{\Delta f} \right] = A_c \left[2\pi f_a \alpha(t) + \frac{m_s(t)}{\Delta f} \right]$$

densità di $m_s(t)$

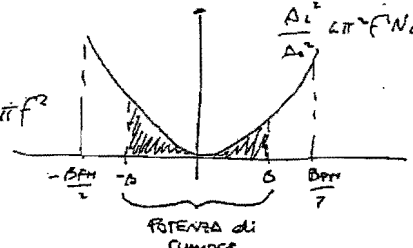


$$S_{ss}(f) = S_{ss}(F)$$

Vediamo



$$A_c \dot{\phi}_r(t) \rightarrow \boxed{\text{PASO BASSO B}} \rightarrow A_c 2\pi f_a \alpha(t) + \text{rumore}$$



$$\int_{BPM} = 4\pi^2 f_a^2 A_c^2 P_K \quad N_i = \frac{A_c^2}{A_i^2} 4\pi^2 N_0 \int_{-BPM}^B f^2 dt = \frac{A_c^2}{A_i^2} \frac{2}{3} \pi^2 B^3 N_i$$

Più piccole è la banda, minore è il rumore:

Efficienza spettrale significa inefficienza del rumore

$$\frac{\frac{\delta v}{N_0}}{\frac{f_i}{N_i}} = \frac{3f_a^2 B_{\text{RF}}}{B^3} \gg 1 \quad \text{dove } \text{guadagno} \\ \text{di demodulazione}$$

quindi :

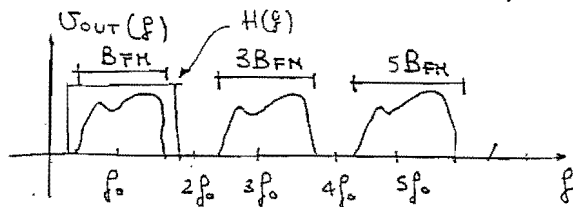
$$V_{\text{out}}(t) = \frac{4V_1}{\pi} \cos[2\pi f_0 t + \Phi(t)] + \frac{4V_1}{3\pi} \cos[2\pi(3f_0)t + 3\Phi(t) + \pi] + \dots$$

95

qui addendo è un segnale $\text{FN} + \text{PM}$ a seconda di $\Phi(t)$, contro f_0 in k_f , ovvero in frequenza (consideriamo la mod FM). Supponendo come sempre $f_0 \gg B_{\text{FM}}$ le prime ripliche sono sicuramente una sovrapposta. Per entrare lo spettro del segnale

trasmesso occorre un filtro passa banda in f_0 di banda B_{FM} .

Consideriamo che se avessimo centrato il filtro in Mf_0 , con banda mB_{FM} , avremmo ottenuto un "moltiplicatore di frequenza".

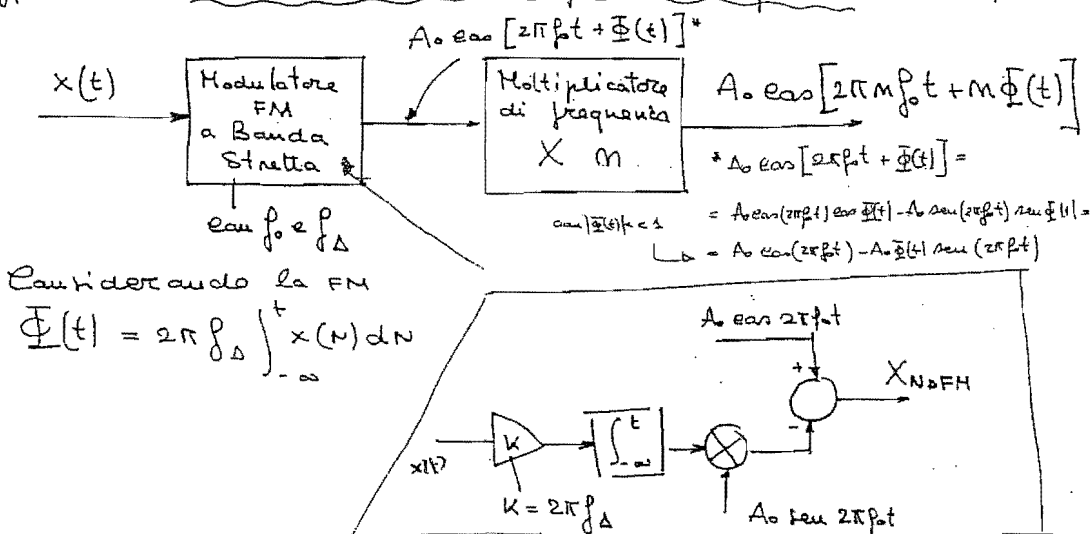


Un segnale FM ha, nel tempo, ampiezza costante. Questa

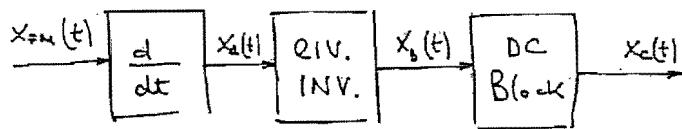
- caratteristica, è condivisa da alcune proprietà dello spettro. Il canale di fatto è un filtro che modifica lo spettro del segnale FN, quindi esso potrebbe (in realtà) essere ricevuto con ampiezza variabile. Questo è il motivo, per cui si limita a considerare $p(t)$ funzione del tempo.

MODULATORE FM CON MOD ABANDA STRETTA

Un modulatore a banda stretta, non è altro che un modulatore AN. Per ottenere una modulazione FM, è sufficiente inserire un moltiplicatore per m .



Nel segnale FM ricevuto sarà nella forma:



$$x_{FM}(t) = A_0 \cos \left[2\pi f_0 t + 2\pi f_\Delta \int_{-\infty}^t x(n) dN \right]$$

derivando rispetto al tempo:

$$\rightarrow x_d(t) = A_0 \left(2\pi f_0 t + 2\pi f_\Delta x(t) \right) \sin \left[2\pi f_0 t + 2\pi f_\Delta \int_{-\infty}^t x(n) dN \right] =$$

Per rilevare di inviluppo preleva il modulo dell'inviluppo complesso, avendo

$$\rightarrow x_B(t) = |A_0 (2\pi f_0 t + 2\pi f_\Delta x(t))|$$

affinché x_{FM} sia bassa banda $f_0 \gg f_\Delta$; allora sicuramente

$$A_0 (2\pi f_0 t + 2\pi f_\Delta x(t)) > 0 \Rightarrow x_B(t) = A_0 (2\pi f_0 t + 2\pi f_\Delta x(t))$$

semplicemente rimane:

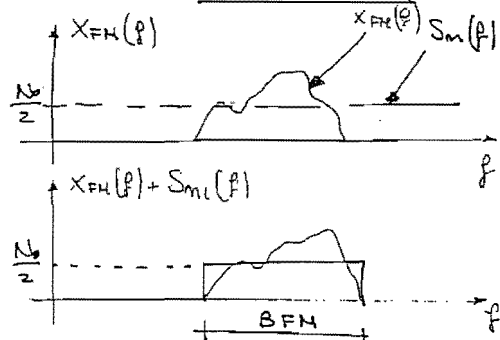
$$\rightarrow x_c(t) = 2\pi f_\Delta x(t)$$

che è appunto proporzionale al segnale originale.

MODULAZIONI EXP IN PRESENZA DI RUMORE (AWGN) 97

Supponiamo di avere sovrapposto al segnale FM $X_{FM}(t)$, un rumore $m(t)$ (AWGN); esso ha densità spettrale di potenza costante pari a $N_0/2$. Allora il ricevitore FM dove essere dotato di un filtro fratiale, che eliminà quanto più rumore sia possibile; tale filtro deve essere di banda B_{FM} in f_0 , e anche in attiene il segnale $X_{FM}(t)$ sommato ad un rumore bianco filtrato $m_1(t)$. Su ingresso

$$X_{FM}(t) + m(t) = A_0 \cos[2\pi f_0 t + 2\int_{-\infty}^t x(n) dN] + m(t)$$



Il rumore filtrato è passa banda, quindi:

$$X_{FM}(t) + m_1(t) = A_0 \cos[2\pi f_0 t + \Phi(t)] + A_m(t) \cos[2\pi f_0 t + \Phi_m(t)] =$$

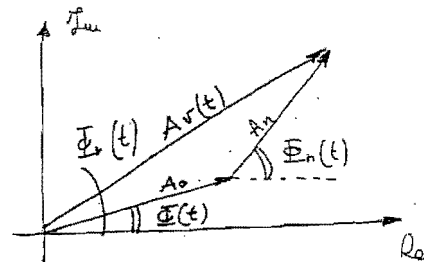
$$\left(\begin{array}{l} m_1(t) = m_c(t) \cos(2\pi f_0 t) - m_s(t) \sin(2\pi f_0 t) \\ A_m(t) = \sqrt{m_c^2(t) + m_s^2(t)} \end{array} \right) \quad \begin{aligned} S_I &= \frac{A_0^2}{N_0 B_{FM}} \\ P_{FM} &= \frac{A_0^2}{2}, \text{ non ci prende da } \\ S_n(f) &= 2 \left[\frac{N_0 B_{FM}}{2} \right] \end{aligned}$$

$$= A_r(t) \cos[2\pi f_0 t + \Phi_r(t)] \quad (9.3)$$

Farendo in serie al filtro fratiale un limitatore attenuiamo in uscita $X_A(t)$ come segue:

$$X_A(t) = A_v \cos[2\pi f_0 t + \Phi_v(t)] \quad (9.4)$$

Della (9.3), il termine $A_r(t)$ non ci interessa, quindi calcoliamo $\Phi_r(t)$ che è legato a $x(t)$. Osserviamo che il segnale espresso attraverso l'inviluppo complesso può essere rappresentato con un vettore di modulo A_0 e fase $\Phi(t)$; analogamente il vettore sarà un vettore di modulo $A_m(t)$ e fase $\Phi_m(t)$.



Sommiamo vettorialmente si ottiene un vettore di modulo $A_v(t)$ e fase $\Phi_v(t)$; ruotando il tutto in senso orario $\bar{\Phi}(t)$ si ottiene il

diagramma vettoriale di figura nel quale

$$\Phi_v(t) - \bar{\Phi}(t) = \arctg \frac{A_m(t) \sin [\bar{\Phi}_n(t) - \bar{\Phi}(t)]}{A_0 + A_n(t) \cos [\bar{\Phi}_n(t) - \bar{\Phi}(t)]}$$

allora

$$\Phi_v(t) = \bar{\Phi}(t) + \arctg \frac{A_n(t) \sin [\bar{\Phi}_n(t) - \bar{\Phi}(t)]}{A_0 + A_n(t) \cos [\bar{\Phi}_n(t) - \bar{\Phi}(t)]} \quad \text{per la}$$

Supponiamo di avere in ingresso un rapporto segnale - rumore sufficientemente grande da garantire

$$\frac{S_i}{N_i} \gg 1 \quad (1.5) \quad \begin{array}{l} \text{(vettore segnale lungo)} \\ \text{(vettore rumore corto)} \end{array}$$

in questo modo $A_0 \gg A_n$.

($\theta_0 = 2\pi$)

La fase $\bar{\Phi}_n(t)$ ha distribuzione uniforme; allora anche $\bar{\Phi}_n(t) - \bar{\Phi}(t)$ (per t fissato $\bar{\Phi}(t)$ è costante) è anche essa uniformemente distribuita.

Allora

$$\bar{\Phi}_n(t) - \bar{\Phi}(t) \quad (9.6)$$

è statisticamente equivalente

a $\bar{\Phi}_n(t)$; inoltre

$$A_n(t) \operatorname{sen}(\bar{\Phi}_n(t)) = m_s(t)$$

Se si ricava da $m_s(t) \in m_s(t)$, che sono due var. casuali gaussiane, si estraggano due variabili casuali $A_n(t)$ e $\bar{\Phi}_n(t)$

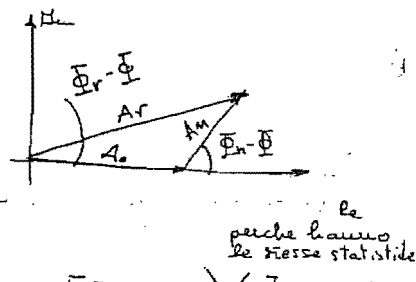
allora per l'espressione (9.5) e per l'asservizione (9.6), si può dire

$$\bar{\Phi}_v(t) = \bar{\Phi}(t) + \arctg \frac{m_s(t)}{A_0} \approx \begin{array}{l} \text{sempre per} \\ \text{la (9.5)} \end{array}$$

$$\approx \bar{\Phi}(t) + \frac{m_s(t)}{A_0}$$

Riscrivendo la (9.4), si ottiene

$$\begin{aligned} x_A(t) &= A_c \operatorname{cas}(2\pi f_0 t + \bar{\Phi}_v(t)) = \\ &= A_c \operatorname{cas}\left(2\pi f_0 t + \bar{\Phi}(t) + \frac{m_s(t)}{A_0}\right) \end{aligned}$$



perché hanno le stesse statistiche

infine una derivata, un rivelatore di inviluppo ⁹⁹
e un blocco per eliminare la "continua" attenuano:

$$X_B(t) = \frac{d}{dt} X_A(t) = A_L \left[2\pi f_0 + \dot{\phi}(t) + \frac{\dot{m}_s(t)}{A_0} \right] \sin(\quad) = \\ = -A_L \left[2\pi f_0 + 2\pi f_0 x(t) + \frac{\dot{m}_s(t)}{A_0} \right] \sin(\quad)$$

quindi $x_c(t)$ risulta

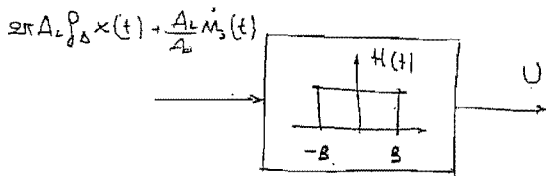
$$x_c(t) = -2\pi A_L f_0 x(t) + \frac{A_L}{A_0} \dot{m}_s(t)$$

A questo punto inseriamo un filtro passa basso di banda B , attenuano
come apparecchio segue
rimane in uscita:

$$N_U = \int_{-B}^B N_o 4\pi^2 f^2 df = \\ = 8 N_o \pi^2 \int_0^B f^2 df = \\ = 8 \pi^2 N_o B^3 / 3$$

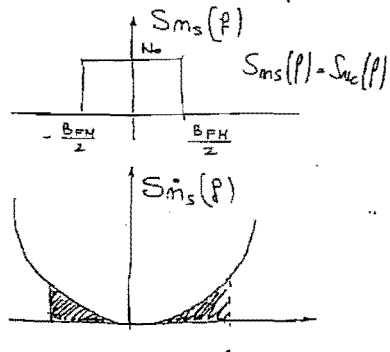
Quindi

$$\frac{S_U}{N_U} = \frac{4\pi^2 P^2}{8\pi^2 N_o B^3} \frac{P_x A_L^2}{A_0^2} = \frac{3f_0^2 P_x A_L^2}{2 N_o B^3}$$

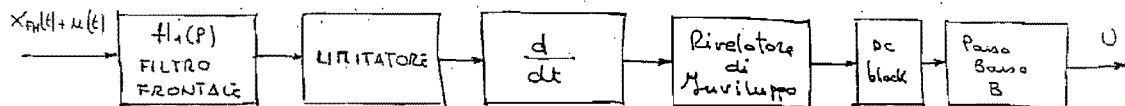


Ricordiamo che noto $S_{m_s}(f)$,
derivando

$$S_{\dot{m}_s}(f) = 4\pi^2 f^2 S_{m_s}(f)$$



In sostanza lo schema del
DEMODOLATORE FM A LARGA BANDA risulta il seguente



100

Vediamo cosa succede nell'ipotesi di rumore preponderante rispetto al segnale in ingresso:

Analizziamo il diagramma fasoriale.

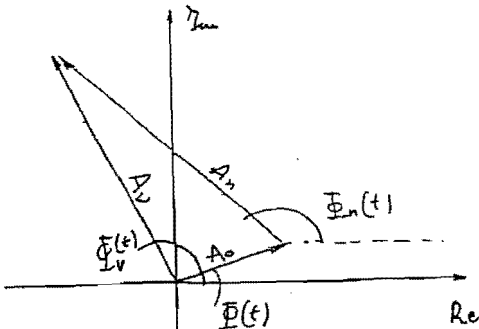
$$\frac{S_i}{N_i} \ll 1$$

In questo caso se $\Phi_n(t)$ varia, non esiste legame fra $\Phi_r(t)$ e $\Phi_n(t)$, quindi il segnale è praticamente "scampato" rispetto al rumore.

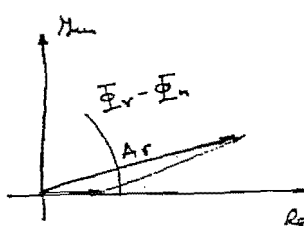
Nei ricevitari FM come quello appena visto esiste il cosiddetto EFFETTO SOGLIA.

In sostanza, esiste un valore minimo di rapporto S/N in ingresso al di sotto del quale scompare la relazione fra Φ_r e Φ . La soglia si indica con

$$\left(\frac{S_i}{N_i}\right)_{th} = \text{Soglia S/N}$$



Osservazione: Se tracciamo il diagramma fasoriale seguendo il passo del rumore al passo del segnale, avremo ottenuto



$$\Phi_r(t) = \Phi_n(t) + \arctg \frac{A_r \sin [\Phi(t) - \Phi_n(t)]}{A_n + A_r \cos [\Phi(t) - \Phi_n(t)]}$$

In questo caso è evidente che lavorando sotto soglia $S_i < N_i$, si possono trascurare tutti i termini che riguardano il segnale e si ottiene:

$$\Phi_r(t) \approx \Phi_n(t) + \arctg \frac{A_r^{(t)} \sin \Phi_n(t)}{A_n(t)}$$

Nota. Il rapporto Segnale-Rumore si misura in dB. Siccome S/N è il rapporto fra due potenze

$$\left(\frac{S}{N}\right)_{dB} = 10 \log_{10} \frac{S}{N}$$

Se anziché esprimere il rapporto S/N in potenza,¹⁰¹
venisse espresso in ampiezza, avremmo

$$\left(\frac{S}{N}\right)_{dB} = 20 \log_{10} \frac{S}{N} \rightarrow \text{Ampiezza.}$$

Se ad esempio seguale S e rimuovere N faremo
similari:

$$S = \frac{A_o^2}{Z} \quad N = \frac{A_n^2}{Z}$$

Allora

$$\begin{aligned} \left(\frac{S}{N}\right)_{dB} &= 10 \log \frac{S}{N} = 10 \log_{10} \left(\frac{A_o}{A_n}\right)^2 = \\ &= 20 \log_{10} \left(\frac{A_o}{A_n}\right) \end{aligned}$$

Quando mi parla di banda a -3 dB mi parla
in termini di ampiezza.

$$20 \log_{10} \frac{S_1}{S_2} = -3 \text{ dB} \Rightarrow 10 \log_{10} \frac{P_1}{P_2} = -3 \text{ dB}$$

Allora

$$\frac{S_1}{S_2} = \frac{1}{\sqrt{2}} \quad \text{e} \quad \frac{P_1}{P_2} = \frac{1}{2}$$

la banda a -3dB mi dice anche BANDA A MEIA' POTENZA.

FH o Banda Stretta

FH è Banda Stretta

Se seguale $x_{FH}(t)$ a BANDA STRETTA è nella forma:

$$\begin{aligned} X_{FH}(t) &= A_o \cos(2\pi f_o t) - \Phi(t) A_o \sin(2\pi f_o t) \\ \Phi(t) &= 2\pi f_D \int_{-\infty}^t x(n) dn \end{aligned}$$

Anche in questo caso supponiamo la sussistente
di un rimuovere $m(t)$:

$$m(t) = m_c(t) \cos(2\pi f_o t) - m_s(t) \sin(2\pi f_o t)$$

Ese il filtro frontale mi ottiene un rimuovere $m_1(t)$

$$X_{FH}(t) + m_1(t) = A_o \cos(2\pi f_o t) - \Phi(t) A_o \sin(2\pi f_o t) +$$

$$m_c(t) \cos(2\pi f_o t) - m_s(t) \sin(2\pi f_o t)$$

Ese un "demodulatore sincrono" mi estrae la componente

te in quadratura

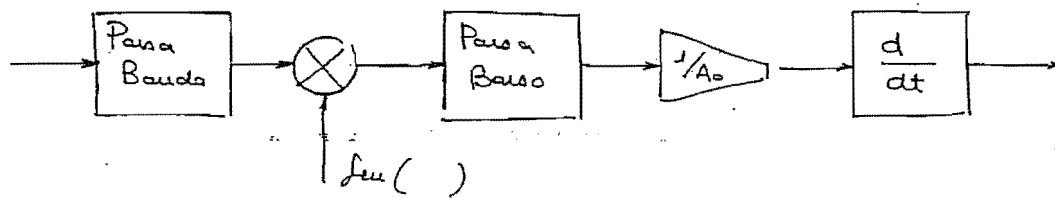
102

$$\Phi(t) + m_s(t)$$

eventualmente si può attenuare, quindi derivando si ottiene:

$$\begin{aligned}\frac{d}{dt} \left[\Phi(t) + \frac{m_s(t)}{A_0} \right] &= \\ &= 2\pi \int_0^t x(t) + \frac{m_s(t)}{A_0}\end{aligned}$$

Lo schema di riferimento è il seguente.



INTRODUZIONE

Nelle trasmissioni numeriche viene stabilito un alfabeto di simboli finito; ciascuno di questi "caratteri" è associato ad una informazione. In genere ciascun simbolo potrebbe essere costituito da un particolare segnale $s_i(t)$ con una propria forma d'onda.

Ad esempio in una codifica binaria avremmo un segnale $s_1(t)$ associato all'uno logico e un segnale $s_0(t)$ associato allo zero logico (vedi figura a lato).

Orviamente trasmettere e ricevere conservano l'alfabeto stabilito e si

decide, in base al segnale ricevuto, quale dei simboli è stato trasmesso.

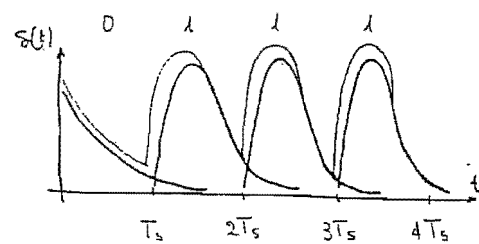
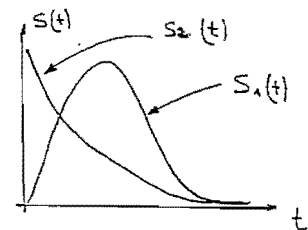
Il compito del ricevitore è proprio quello del DECISORE; tanto più le forme d'onda sono diverse fra loro tanto più facile sarà riconoscere la forma d'onda trasmessa anche se deformata dalla presenza di rumore.

Ogni segnale associato ad un carattere viene trasmesso ad una distanza T_s detta

INTERVALLO DI SEGNALAZIONE

(indicato con T_s) . In genere ha il segnale $s_i(t)$ analogico durata superiore all'intervallo di segnalazione; come visto infatti per avere durata limitata occorre banda illimitata.

L'impiego di un alfabeto risulta nile anche in termini di illuminata al rumore. Consideriamo ad esempio un sistema binario al quale associamo allo zero $s_0(t)$ e all'uno $s_1(t)$, notiamo che anche in presenza di rumore AWGN



104

l'intelleggibilità dell'informazione non è compromessa.
Metodi ancora più efficienti prevedono codifiche multilevello
che associano a ciascun carattere più segnali. In
altri casi si inseriscono codifiche per l'individuazione
e la correzione degli errori.

Si consideri un segnale analogico $x(t)$. Per prima cosa viene eseguito il CAMPIONAMENTO; come visto, se $x(t)$ ha banda B (ottenibile comunque con operazioni di prefiltraggio), rispettando il teorema di Nyquist (condizione di Nyquist $F \geq 2B$), è possibile ricostruire $x(t)$ a partire dal segnale campionato. Dopo il campionamento $x_c(t)$ è un segnale tempo discreto.

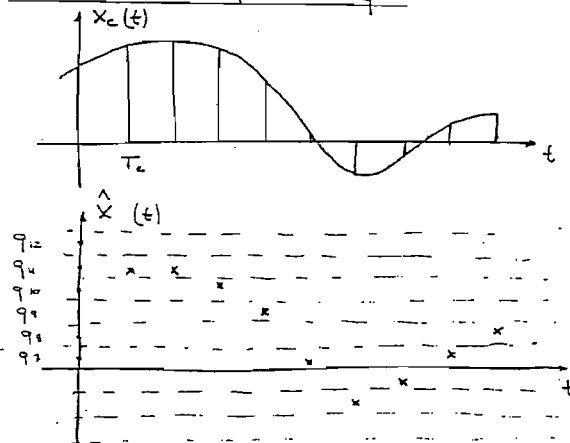
La fase successiva consiste in una discretizzazione delle ampiezze ed è detta QUANTIZZAZIONE. L'intervallo dell'ampiezza viene suddiviso in q fasce

q_1, q_2, \dots, q_q , di ampiezza $2/q$ che

estende da $q_i + \frac{1}{q}$ a $q_i - \frac{1}{q}$. Nella fase di quantizzazione ogni campione viene ricondotto al valore q_i più vicino. Per esempio sono costruite le fasce in modo da avere un errore detto ERRORE DI QUANTIZZAZIONE, che può valere al più $\pm \frac{1}{q}$.

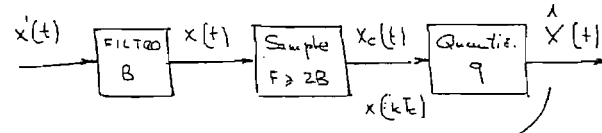
In ricezione, la ricostruzione viene fatta sul segnale quantizzato $\hat{x}(kT_c)$.

L'errore commesso in ricostruzione essendo quello di quantizzazione, è facilmente quantificabile e riducibile, perché come già accennato vale $\pm \frac{1}{q}$.



In fase di quantizzazione, ne è seguita dalla codifica: si associa a

ciascun campione quantizzato $\hat{x}(kT_c)$ un simbolo o segnale; se abbiamo scelto di quantizzare con q livelli, otterremo q segnali per rappresentare tutto $x(t)$.



$$\hat{x}(kT_s) = x(kT_s) + E(kT_s)$$

Nella maggior parte dei casi si impiega il metodo binario. Ciascun simbolo o segnale è costituito da una parola a J bit. Su sollecita per ottenere la rappresentazione di q livelli attraverso q segnali o q parole, occorrono J bit tali che

$$q = 2^J$$

avrò

$$J = \log_2 q$$

Riunione di Quantizzazione

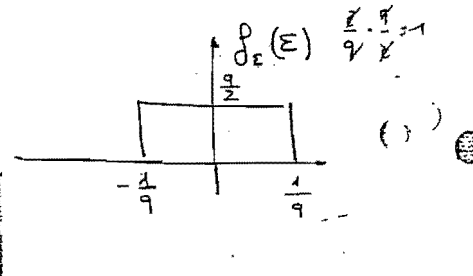
Come già accennato ciascun livello di quantizzazione è contratto intorno al valore x_i con ampiezza $2/q$. Il segnale PCM ricevuto dopo la trasmissione sarà:

$$\hat{x}(kT_c) = x(kT_c) + \epsilon(kT_c)$$

nella quale $\epsilon(kT_c)$ è detto appunto RUORE DI QUANTIZZAZIONE. Esso è descrivibile mediante una variabile casuale uniformemente distribuita fra

$-\frac{1}{q}$ e $\frac{1}{q}$, con prob.

$$\begin{aligned} E\{\epsilon^2\} &= N_o = \int_{-\frac{1}{q}}^{\frac{1}{q}} \epsilon^2 f_\epsilon(\epsilon) d\epsilon = \\ &= \frac{q}{2} \int_{-\frac{1}{q}}^{\frac{1}{q}} \epsilon^2 d\epsilon = \boxed{\frac{1}{3q^2}} \end{aligned}$$



Nota: Trasmissioni Telefoniche

La modulazione PCM è impiegata nelle trasmissioni telefoniche e si pone:

$$q = 256$$

$$T_c = 125 \mu\text{sec}$$

$$B = 8 \text{ kHz}$$

$$Z = \frac{1}{T} = \frac{8}{125 \mu\text{sec}} = 64 \text{ kbit/sec}$$

Siccome $q = 256$ occorrono 8 bit per ciascun campione. Per trasmettere 8 bit prima che venga rilevato il campione successivo occorre un intervallo di T secondi cioè T

Osserviamo che essendo $T = 1 / 64 \text{ Kbit/sec}$ la banda del segnale PCM risulta

$$B = \frac{1}{2T} = 32 \text{ KHz}$$

intervallo associato alla tx di un singolo bit.

Con una mod AM avremmo avuto $B_{AM} = 16 \text{ KHz}$

TRASMISSIONI NUMERICHE IN BANDA BASE

In generale un sistema di trasmissione, può essere schematizzato come segue:

Il canale di trasmissione

è di fatto un filtro passa banda $C(f)$ che introduce un rumore $n(t)$ AWGN.

In una trasmissione

numerica viene stabilito un alfabeto A che in generale sarà del tipo:

$$A = \left\{ s_i(t) \right\}_{i=1}^N = \left\{ s_1(t), s_2(t), \dots, s_N(t) \right\} \quad \text{con probabilità } p_i$$

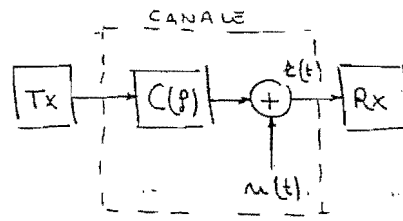
costituito appunto da N simboli o segnali. A ciascuno degli N segnali è associata una probabilità di essere trasmesso p_i .

Consideriamo il caso di una trasmissione "one slot", nella quale si inaltera sul canale un simbolo alla volta. Se ricevitore conosce il set di caratteri e le relative probabilità e, acquisito il segnale $r(t)$, deve decidere a quale informazione associarlo; in altri termini deve stabilire a quale segnale

$s_i(t)$ corrisponde $r(t)$. Aumento che la decisione $s_i(t)$ sia corretta, il rumore sovrapposto nel canale non ha più alcuna valenza e può ritenersi eliminato.

In questo senso le trasmissioni numeriche risultano più "robuste" di quelle analogiche.

Osservazione: se per le tx analogiche su lunghe distanze, la rigenerazione del segnale comporta una amplificazione del rumore fino a quel punto introdotto, nelle tx numeriche la rigenera-



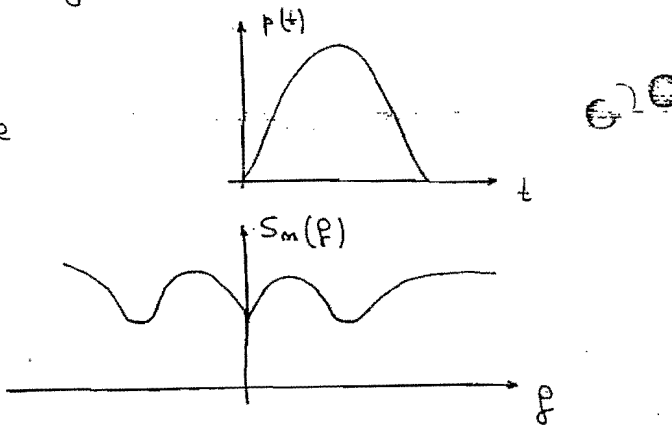
zione dei livelli logici permette la discriminazione ¹⁰⁸ del rumore.

Consideriamo un generico impulso $p(t)$ avente un proprio andamento e una durata D . Supponiamo di sommare ad esso il processo $m(t)$ che rappresenta il rumore introdotto dal canale. Supponiamo inoltre che tale rumore sia gaussiano ma "colorato" (rumore bianco) con densità spettrale di potenza $S_m(f)$ che, per quanto detto, non è più costante, ma a simmetria pari per la gaussianità.

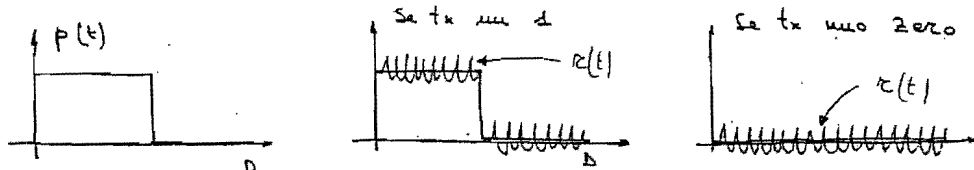
$$r(t) = p(t) + m(t)$$

Trasmettiamo sul canale l'impulso che, sommato al rumore, costituisce $r(t)$.

(Questo è il caso delle strutture radar nelle quali, per verificare la presenza o meno di un oggetto, si trasmette $p(t)$ e si attende una risposta; se il bersaglio è presente si riceve $p(t)$, mentre in caso contrario solo il rumore.)



{ Il problema consiste quindi nel decidere se nel segnale $r(t)$ è presente o meno l'impulso $p(t)$. Questa situazione è quella che si presenta nel caso delle trasmissioni binarie. Si associa all'uno l'impulso rettangolare $p(t)$ mentre allo zero si associa il valore nullo di tensione. Il ricevitore dovrà stabilire se in $r(t)$ è presente o meno $p(t)$. Ricordiamo che il rumore è a media nulla.



Vediamo alcune strategie di decisione.

109

Si potrebbe pensare di leggere il valore di tensione in un generico istante dell'intervallo D ma, se per coincidenza scegliersimo A si verificherebbe un errore. Una soluzione certamente più efficiente consiste nel calcolare l'area sotto da $r(t)$ in un certo istante.

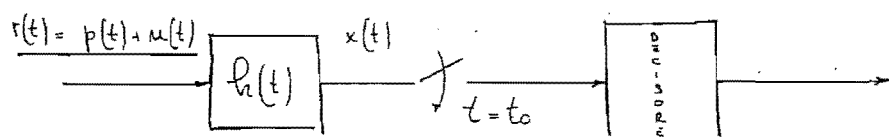
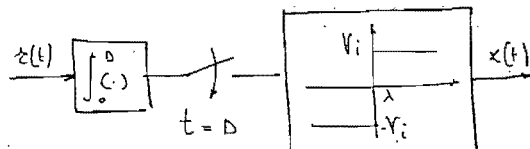
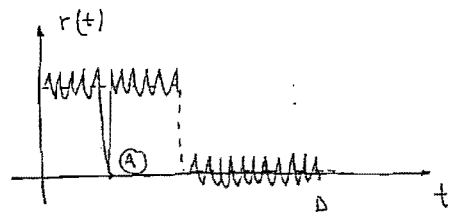
Ad esempio integriamo $r(t)$ dall'istante di ricezione me all'istante pari alla durata D ; nell'istante

$t = D$ leggiamo il valore

di tale integrale. Se fare stato ricevuto uno zero l'integrale risulterebbe pressoché nullo, in caso contrario assumerebbe un certo valore.

A questo punto quindi basterebbe un deciso a scoglia per produrre un'uscita causata alla decisione. Il caso della tx binaria è un caso particolare nel quale i due eventi (0 e 1) siano equi probabili.

La questione può essere generalizzata, cercando un filtro frontale $h(t)$ che maximizza il rapporto S/N in ingresso al ricevitore



Supponiamo il filtro $h(t)$ lineare. Allora si può affermare che:

$$\begin{aligned} x(t) &= r(t) \otimes h(t) = [p(t) \otimes h(t) + m(t) \otimes h(t)] = \\ &= x_p(t) + x_m(t) \quad (10.1) \end{aligned}$$

nella quale $x_p(t)$ è un segnale determinato, mentre

$x_m(t)$ è un processo stocastico. Il rapporto segue 110
remare (indicato in questo caso con SNR) risulta:

$$\text{SNR} \triangleq \frac{x_p^2(t_0)}{\mathbb{E}\{x_n^2(t)\}} = \frac{x_p^2(t_0)}{\mathbb{E}\{x_m^2(t)\}} \quad (10.2)$$

Il filtro $h(f)$ deve essere
progettato in modo da maximizzare (perché $n(t)$ è gaussiano)
il rapporto SNR nell'istante t_0 , quindi è essenziale
che il sampling in t_0 sia perfettamente
riemezzato. Dalla relazione (10.2) passando in
frequenza abbiamo:

$$X_p(f) = P(f) H(f) \quad \text{e allora} \quad X_p(t_0) = \int_{-\infty}^{+\infty} X_p(f) e^{-j2\pi f t_0} df \quad (10.3)$$

$$= \int_{-\infty}^{+\infty} P(f) H(f) e^{-j2\pi f t_0} df$$

mentre per il processo

$$X_m(f) = S_m(f) |H(f)|^2$$

quindi:

$$\mathbb{E}\{X_m^2(f)\} = \int_{-\infty}^{+\infty} S_m(f) |H(f)|^2 df$$

La (10.2) diviene:

$$\text{SNR} \triangleq \frac{x_p^2(t_0)}{\mathbb{E}\{x_m^2(f)\}} = \frac{\left| \int_{-\infty}^{+\infty} P(f) H(f) e^{-j2\pi f t_0} df \right|^2}{\int_{-\infty}^{+\infty} S_m(f) |H(f)|^2 df} \quad (10.4)$$

Nota: Si ricordi la DISUAGLIANZA DI S

$$\left| \int_{-\infty}^{+\infty} \psi(x) \varphi^*(x) dx \right|^2 \leq \int_{-\infty}^{+\infty} |\psi(x)|^2 dx \int_{-\infty}^{+\infty} |\varphi^*(x)|^2 dx$$

Nella quale $\psi(x)$ e $\varphi(x)$ sono due generiche
funzioni complesse. Osserviamo che
l'uguaglianza vale se $\varphi(x) = k \psi^*(x)$

Applicando la diseguaglianza di Schwartz al numeratore¹¹⁴ della (10.4)

$$\left[\int_{-\infty}^{+\infty} X_p(f) e^{j2\pi f t_0} df \right]^2 = \left| \int_{-\infty}^{+\infty} P(f) H(f) e^{j2\pi f t_0} df \right|^2 = \\ = \left| \int_{-\infty}^{+\infty} \frac{P(f)}{\sqrt{S_n(f)}} H(f) \sqrt{S_n(f)} e^{j2\pi f t_0} df \right|^2 \quad (10.5)$$

poniamo

$$\Psi^*(x) = H(f) \sqrt{S_n(f)} \quad (10.6.1)$$

$$\Psi(x) = P(f) / \sqrt{S_n(f)} e^{j2\pi f t_0} \quad (10.6.2)$$

quindi :

$$\left| \int_{-\infty}^{+\infty} \frac{P(f)}{\sqrt{S_n(f)}} e^{j2\pi f t_0} H(f) \sqrt{S_n(f)} df \right|^2 \leq \\ \leq \int_{-\infty}^{+\infty} \left| \frac{P(f)}{\sqrt{S_n(f)}} e^{j2\pi f t_0} \right|^2 df \int_{-\infty}^{+\infty} \left| H(f) \sqrt{S_n(f)} \right|^2 df$$

Sostituendo nella (10.2)

$$SNR \triangleq \frac{X_p^2(t_0)}{\mathbb{E}\{X_n^2(t)\}} \leq \int_{-\infty}^{+\infty} \frac{|P(f)|^2 + |e^{j2\pi f t_0}|^2}{S_n(f)} df \quad (10.7)$$

valendo maximizzare SNR in dimensione $h(t)$ in modo che valga l'uguaglianza, quindi

$$\Psi^*(x) = K \Psi(x) \quad (10.8.1)$$

$$H^*(f) \sqrt{S_n(f)} = K \frac{P(f) e^{j2\pi f t_0}}{\sqrt{S_n(f)}} \quad (10.8.2)$$

avranno

$$H(f) = K \frac{P^*(f) e^{-j2\pi f t_0}}{S_n(f)} \quad (10.9)$$

questo filtro, così com'è scritto, mi dice FILTRO ADATTATO e cioè quello che maximizza SNR nell'istante valuto.

Nel caso delle normali trasmissioni $m(t)$ e AWGN, quindi la sua densità spettrale di potenza è

$$S_m(f) = \frac{N_0}{2}$$

quindi si ha

$$\text{SNR}_{\max} = \int_{-\infty}^{+\infty} \frac{|P(f)|^2}{S_m(f)} df = \frac{2}{N_0} \int_{-\infty}^{+\infty} |P(f)|^2 df$$

che, per il teorema di Parseval vale

$$\text{SNR}_{\max} = \frac{2 E_p}{N_0}$$

nella quale E_p è l'energia piana d'impulso.

CORRELATORE (IN ALTERNATIVA AL FILTRO ADATTATO)

Si consideri l'impulso $p(t)$ rettangolare di figura

Supponendo $S_m(f) = 1$, dalla (b.9)

$$h(f) = K P^*(f) e^{-j2\pi f t_0}$$

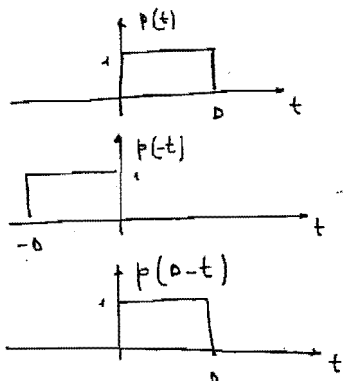
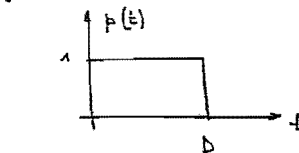
posta $K = 1$

$$h(t) = p(t_0 - t) \quad \text{con } t_0 = 0 \quad h(t) = p(0 - t)$$

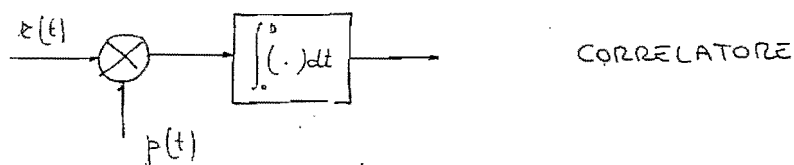
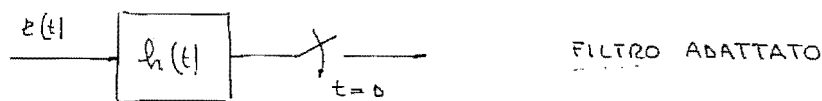
Se $r(t)$ è il segnale ricevuto
in uscita dal filtro si ha
una convoluzione!!!

$$\begin{aligned} k(t) * h(t) &= \int_{-\infty}^{+\infty} r(n) h(t_0 - n) dn = \\ &\text{con } t = t_0 \\ &= \int_{-\infty}^{+\infty} r(n) p(n) dn = \\ &= \int_0^D r(n) p(n) dn = \end{aligned}$$

$$= \int_0^D [p(n) + m(n)] p(n) dn = \underbrace{\int_0^D p^2(n) dn}_{E_p} + \underbrace{\int_0^D m(n) p(n) dn}$$



Già interpretando la relazione appena ottenuta,
possiamo tracciare i seguenti schemi

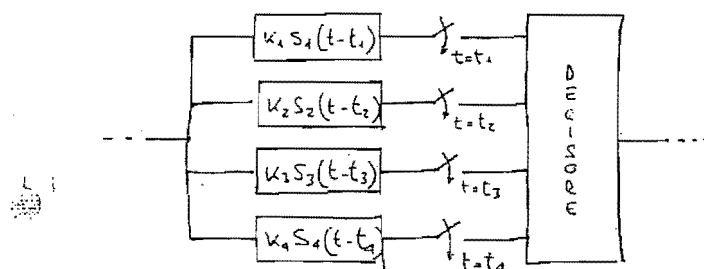


SISTEMA DI RICEZIONE NUMERICA

Consideriamo la modalità di trasmissione "one shot".
I segnali trasmessi sono scelti in un alfabeto A

$$A = \{s_i(t)\}_{i=1}^H \quad \text{e con esso le probabilità } \{p_i\}_{i=1}^H.$$

Se consideriamo il caso con 4 simboli ($H=4$) il ricevitore può essere realizzato con 4 filtri ciascuno, adattato ad uno dei simboli, come segue:



Sia T l'intervallo
di regolazione e
 D la durata
massima di ogni
segnale

Per le trasmissioni numeriche in banda base vengono impiegate, principalmente, due tipi di modulazione: PAM (Pulse Amplitude Modulation) e PPM (Pulse Position Modulation).

1. Modulazione PPM

Siano n i segnali necessari; scelto un impulso di durata D , ciò che viene modulato, dal segnale da trasmettere, è la posizione di tale impulso all'interno dell'intervallo di regolazione.

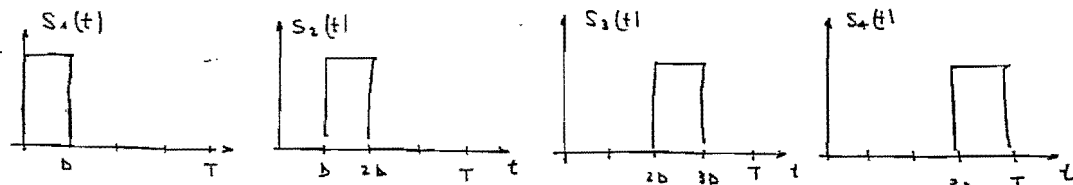
Per questo motivo l'intervallo T deve necessariamente

te essere multiplo di D :

$$T = M D$$

114

nella quale M è il numero di caratteri presenti nell'alfabeto. Se $p(t)$ è un impulso rettangolare (vedi figura) e si vuole realizzare una PPM quaternaria ($M = 4$) i paritetti segnali da trasmettere sono:



Analizziamo come può essere ridotto lo schema del ricevitore. Nello schema generale $t_1 = D$, $t_2 = 2D$, $t_3 = 3D$ e $t_4 = 4D = T$ ma

$$\frac{D}{4} = t$$

$$S_1(D-t) = p(t)$$

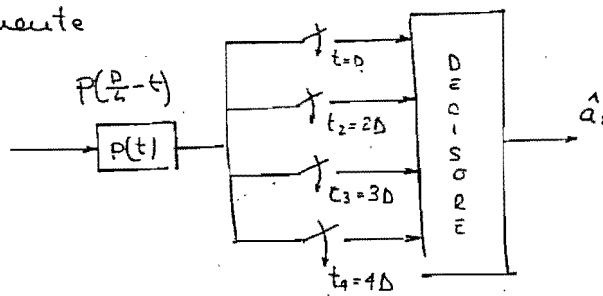
$$S_2(2D-t) = p(t)$$

$$S_3(3D-t) = p(t)$$

$$S_4(4D-t) = p(t)$$

Allora i quattro filtri vengono sostituiti da uno unico* e lo schema diviene il seguente

essendo $K_1 = K_2 = K_3 = K_4 = 1$
allora i 4 filtri uguali:



SCHERMO
PPM

2. Modulazione PAM

In questo caso scelta l'impulso $p(t)$, il segnale da trasmettere ne modula l'ampliezza.

Anche in questo caso analizziamo come si riduce lo schema generale nel caso della modulazione PAM.

La condizione di adattamento dei filtri impone

una proporzionalità con l'impulso; allora scegliamo i coefficienti K_1, K_2, K_3 e K_4 arbitrari pari a

115

$$K_1 = 1$$

$$K_2 = \frac{1}{3}$$

$$K_3 = -1$$

$$K_4 = -\frac{1}{3}$$

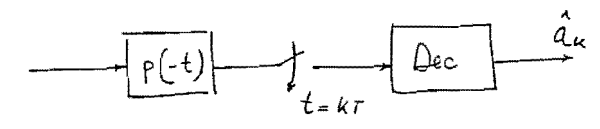
$$K_i = \frac{1}{\alpha_i}$$

Inoltre fissiamo i tempi di campionamento t_1, t_2, t_3 e t_4 nulli, quindi avremo

$$\left. \begin{array}{l} K_1 S_1(t_1 - t) = S_1(-t) \\ K_2 S_2(t_2 - t) = \frac{1}{3} S_2(-t) \\ K_3 S_3(t_3 - t) = -S_3(-t) \\ K_4 S_4(t_4 - t) = -\frac{1}{3} S_4(-t) \end{array} \right\} = p(-t)$$

Sulla base di ciò lo schema generale può essere ridotto a

SCHEMA
PAM



€

€

€

MODULAZIONE PAM (Pulse Amplitude Modulation)

117

Il segnale si(t) trasmesso da un tx PAM può essere scritto nella forma:

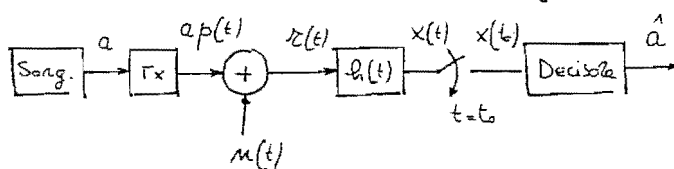
$$S_i(t) = a_i p(t)$$

nella quale p(t) è l'impulso scelto e a_i, detto simbolo, dipende dal carattere che si vuole trasmettere ed è scelto fra un alfabeto prefissato. Ciascun simbolo a_i ha una probabilità di essere trasmesso p_i, per cui è una variabile casuale discreta.

Supponiamo di avere un alfabeto di quattro caratteri scelti p(t), si può definire il simbolo a come segue

$$a = \begin{cases} 1 & \text{eau } p_1 \text{ e simbolo 1} \\ 3 & \text{eau } p_2 \\ -1 & \text{eau } p_3 \\ -3 & \text{eau } p_4 \end{cases}$$

Il sistema tx, rx e canale, può essere riassunto come segue:

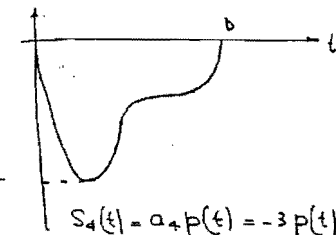
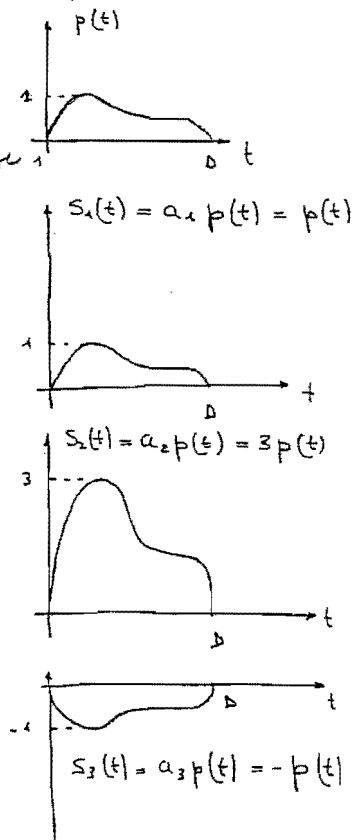
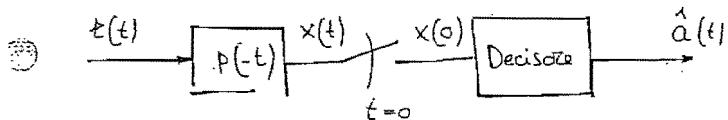


Nel quale il filtro h(t) è un filtro adattato, descritto dalla relazione

$$h(t) = K p(t_0 - t)$$

come moto dalle semplificazioni fatte in precedenza si può scrivere

$$h(t) = p(-t) \text{ eau } t_0 = 0$$



Consideriamo un sistema binario, cioè un alfabeto composto da due soli caratteri; partì i due simboli $a_1 = 1$ con probabilità P e $a_2 = -1$ con probabilità $(1-P)$; la variabile casuale a è discreta e così definita

$$a = \begin{cases} a_1 = 1 \text{ con } P \\ a_2 = -1 \text{ con } (1-P) \end{cases}$$

Scelto l'impulso $p(t)$, si definisce automaticamente il filtro $h(t)$.

Osserviamo che in questo caso (vedi figura) ($h(t)$ potrebbe non essere causale)

causale; in tal caso si dovrebbe traslare il tutto a dx e spostare della stessa quantità l'istante di campionamento; (in particolare si deve spostare tutto di D).

Il segnale ricevuto sarà $s_i(t)$ sommato al rumore $m(t)$ AWGN:

$$r(t) = a p(t) + m(t) \quad (u.1)$$

all'uscita del filtro adattato

$$\begin{aligned} x(t) &= r(t) \otimes h(t) = \\ &= r(t) \otimes p(-t) = \\ &= a p(t) \otimes p(-t) + m(t) \otimes p(-t). \quad (u.2) \end{aligned}$$

poniamo

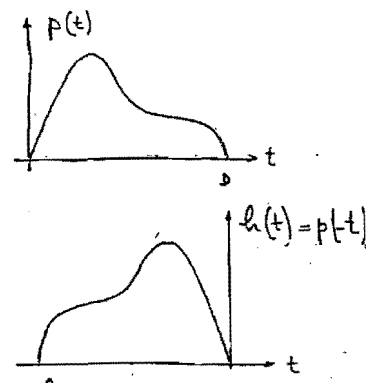
$$g(t) = p(t) \otimes p(-t) \quad (u.3.1)$$

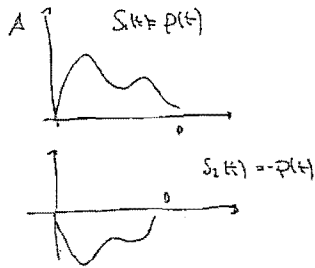
$$M_1(t) = m(t) \otimes p(-t) \quad (u.3.2)$$

quindi

$$x(t) = a g(t) + M_1(t)$$

essendo $m(t)$ un processo anche $M_1(t)$, e quindi $x(t)$, è un processo; il campionamento in $t=0$, fissa il tempo ed estrae dal processo una variabile casuale $x(0)$ come segue





$$\omega \in \{1, -1\}$$

$$p(\omega=1) = p$$

$$p(\omega=-1) = 1-p$$

$$S(t) = \omega p(t)$$

$$S(t) = \omega p(t)$$

$$\text{A} \quad f(t) = p(t) \otimes p(-t)$$

$$m(t) = w(t) \otimes p(-t)$$

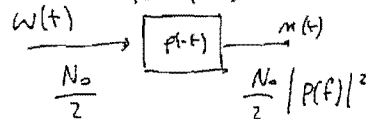
$$r(t) = \omega p(t) + w(t) \xrightarrow{\quad} \boxed{p(t_0-t)} \xrightarrow{\quad} X(t) \quad X(t_0) = \omega p(0) + m(0)$$

$$\begin{aligned} X(t) &= r(t) \otimes p(t_0-t) = \\ &= [\omega p(t) + w(t)] \otimes p(t_0-t) = \underbrace{\omega p(t) \otimes p(t_0-t)}_{f(t-t_0)} + \underbrace{w(t) \otimes p(t_0-t)}_{m(t-t_0)} \\ &= \omega f(t-t_0) + m(t-t_0) \end{aligned}$$

ω è variabile casuale

$m(0)$ è variabile casuale gassosa futuristica

$$p(-t) = p^*(t)$$



- (1) Valore medio
- (2) Varianza

$$\begin{aligned} 2) \text{ Per la varianza ho bisogno di } P^2 \text{ che è} \quad \bar{P}^2 = \frac{N_0}{2} \int_{-\infty}^{+\infty} |P(f)|^2 df \\ = \text{per Ricerche} = \frac{N_0}{2} \int_{-\infty}^{+\infty} p^2(t) dt = \frac{N_0}{2} \overline{E_p} \quad \text{energie} \end{aligned}$$

Se filtra un processo con Valore medio nullo e dunque spettro di potenza $\frac{N_0}{2}$ in uscita il Valore medio è ancora nullo e la d.s.p è data da quella di ingresso per la t.d.f. del filtro.

Vediamo $f(0)$

$$f(t) = p(t) \otimes p(-t) = \int_{-\infty}^{+\infty} p(t) p(\tau-t) d\tau$$

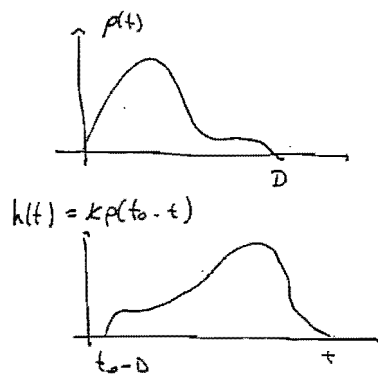
$$f(0) = \int_{-\infty}^{+\infty} p(\tau) p(\tau) d\tau = \int_{-\infty}^{+\infty} p^2(\tau) d\tau = \bar{E_p}$$



$$H(f) = \frac{K P^*(f) e^{-j2\pi f t_0}}{\frac{N_0}{2} S_n(f)} = K P^*(f) e^{-j2\pi f t_0}$$

$$h(t) = K p(t_0 - t)$$

$t_0 \rightarrow$ definisce un filtro causale



Il ricevitore deve compiere all'istante di campionamento: prima e dopo quest'istante non è più possibile massimizzare il rapporto segnale rumore. Per sincronizzare questo istante introduce una funzione auxiliare detta SINCRONIZZAZIONE DI CLOCK

$$P\{X > x_1\} = P\left\{ \frac{X - \mu_x}{\sigma_x} > \frac{x_1 - \mu_x}{\sigma_x} \right\} = Q\left(\frac{x_1 - \mu_x}{\sigma_x}\right)$$

$$= \int_{x_1}^{+\infty} P_x(x) dx = \frac{1}{\sqrt{2\pi\sigma_x^2}} \int_{x_1}^{+\infty} e^{-\frac{(x-\mu_x)^2}{2\sigma_x^2}} dx = \frac{1}{\sqrt{2\pi}} \int_{\frac{x_1 - \mu_x}{\sigma_x}}^{+\infty} e^{-\frac{z^2}{2}} dz = Q\left(\frac{x_1 - \mu_x}{\sigma_x}\right)$$

$$x(0) = a g(0) + m_1(0)$$

119

Calcoliamo ora le statistiche di $g(0)$ e $m_1(0)$. $\left(\mathbb{E}[P(\omega)] = \int_{-\infty}^{+\infty} P(\omega) d\omega \right)$

Sappiamo che

$$\begin{aligned} G(f) &= P(f)P(-f) = \\ &= P(f)P^*(f) = |P(f)|^2 \quad \text{per la simmetria} \\ &\quad \text{Hermitiana.} \end{aligned}$$

$$g(t) = \mathcal{F}^{-1}[G(f)] = \mathcal{F}^{-1}[P(f)P(-f)] =$$

$$= \int_{-\infty}^{+\infty} G(f) e^{j2\pi f t} df \quad \begin{aligned} \int_{-\infty}^{+\infty} |P(f)|^2 df &= \int_{-\infty}^{+\infty} P(f) df \\ \text{per PARSEVAL} \end{aligned}$$

Allora

$$(11.4) \quad g(0) = \int_{-\infty}^{+\infty} G(f) df = \int_{-\infty}^{+\infty} P(f)P^*(f) df = \int_{-\infty}^{+\infty} |P(f)|^2 df = E_p$$

dalla precedente si deduce che $g(0)$ è l'energia dell'impulso $p(t)$.

Per quanto riguarda $m_1(0)$ possiamo dire che, essendo attenuto da $m(t)$, AWGN, è anch'esso gaussiano a media nulla

$$\eta_n = 0 \Rightarrow \boxed{\eta_{n_1} = 0}$$

* attraverso un filtro LTI (lineare e tempo invariante).

Inoltre la densità spettrale di potenza risulta:

$$\left(\text{se } S_{\text{av}}(f) = \frac{N_0}{2} \right) \quad S_{\text{ms}}(f) = S_{\text{av}}(f) |P(f)|^2 = \frac{N_0}{2} |P(f)|^2$$

Per quanto detto anche la v.c. $m_1(0)$ è gaussiana

$$m_1(0) \in \mathcal{N}(0, \sigma^2)$$

a valori media nulla e covarianza

$$\sigma^2 = \mathbb{E}\{[m_1(0) - \bar{m}_1]^2\} \quad \boxed{G_{n_1}^2 = \mathbb{E}\{m_1^2(0)\} = \int_{-\infty}^{+\infty} \frac{N_0}{2} |P(f)|^2 df = \frac{N_0}{2} E_p}$$

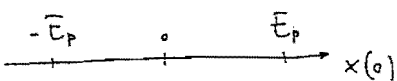
In conclusione si può dire che essendo

$$x(0) = a E_p + m_1(0)$$

* In realtà $x(0)$ cada al di fuori del valore E_p e $-E_p$ ma il problema n'ha grande $x(0)$ è compreso fra i due valori.

con a che assume i valori 1 o -1, la conseguente di sommare $m_1(0)$ fa sì che $x(0)$ cada fra $-E_p$ e E_p .

Se DECISORE dovrà scegliere sulla base di $x(0)$ il valore di a emettendo il risultato.



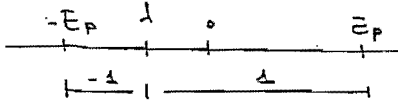
E' ragionevole pensare che la soglia in base alla quale decidere debba dipendere dalla probabilità di

transmissione di un carattere; per chiarire questo aspetto supponiamo di sapere con certezza che il carattere x è 1: allora $P=1$ e $P-1=0$ allora, puramente ipotetico, spostare la soglia a $-\infty$. In generale se

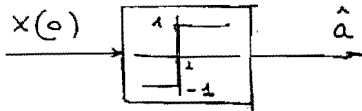
$$P > 1 - P$$

è ragionevole spostare la soglia verso le risultati meno probabili. Ponendo la soglia pari a λ le decisore sarà definito come segue

$$a = \begin{cases} 1 & \text{se } x(0) \geq \lambda \\ -1 & \text{se } x(0) < \lambda \end{cases}$$



In questo caso si parla di DECISORE A SOGLIA ed è schematicizzabile con il blocco non lineare senza memoria seguente:



A questo punto è necessario quantificare la probabilità di errare sul simbolo, avendo:

$$P\{\hat{a} \neq a\} = P_s = \frac{\text{PROBABILITÀ DI ERRORE}}{\text{SUL SIMBOLICO}}$$

Osserviamo che P_s è l'area della probabilità totale

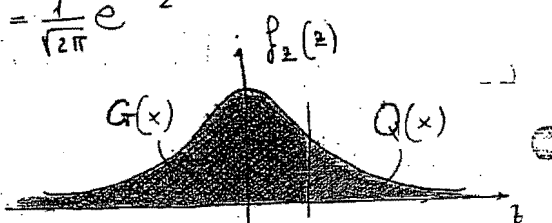
$$\therefore P\{\hat{a} \neq a\} = P(\hat{a} \neq a | a=1)P(a=1) + P(\hat{a} \neq a | a=-1)P(a=-1)$$

RICHIAMI SULLE VARIABILI CASUALE GAUSSIANE

Una v.e. GAUSSIANA STANDARD è definita come segue

$$z \in N(0,1) \quad f_z(z) = \frac{1}{\sqrt{2\pi}} e^{-\frac{z^2}{2}}$$

Ricordiamo che l'area sottesa dalla gaussiana è unitaria



finato un valore x si definisce la funzione¹²⁴

CODA $Q(x)$

$$z = \frac{x - m_1}{\sigma}$$

$$Q(x) = \int_x^{+\infty} f_z(z) dz = \int_x^{+\infty} \frac{1}{\sqrt{2\pi}} e^{-\frac{z^2}{2}} dz$$

Non esiste una primitiva in forma chiusa, quindi i valori di $Q(x)$ sono tabulati.

Analogamente per il valore di x si definisce

$$G(x) = 1 - Q(x) = \int_{-\infty}^x f_z(z) dz$$

Derivando

$$\frac{dQ(x)}{dx} = -\frac{1}{\sqrt{2\pi}} e^{-\frac{x^2}{2}} \quad \frac{dG(x)}{dx} = \frac{1}{\sqrt{2\pi}} e^{-\frac{x^2}{2}}$$

Tornando al problema

$$P(\hat{a} \neq a | a=1) = P(\hat{a} = -1 | a=1) = P(X(0) < \lambda | a=1)$$

se è stato trasmesso uno, cioè $a=1$, si ha

$$X(0) = aE_p + m_1(0) = E_p + m_1(0)$$

Allora

$$P(X(0) < \lambda | a=1) = P(aE_p + m_1(0) < \lambda | a=1) =$$

$$\underbrace{aE_p + m_1(0) / a=1}_{\begin{array}{l} \text{se metto } a=1 \\ \text{i due eventi} \end{array}} = P(E_p + m_1(0) < \lambda) =$$

$$\underbrace{\text{divengono}}_{\text{indipendenti}} = P(m_1(0) < \lambda - E_p)$$

Osserviamo che $m_1(0)$ è gaussiana ma standard, tuttavia dividendo per σ si ottiene una gaussiana standard.

Allora anziché considerare $m_1(0)$, poniamo

$$z = \frac{m_1(0)}{\sigma}$$

ed ora è standard.

Dim.

$$\mathbb{E}\{z\} = \frac{\mathbb{E}\{m_1(0)\}}{\sigma} = 0$$

Inoltre

$$E\{z^2\} = E\left\{\frac{M_2(0)}{\sigma^2}\right\} = \frac{1}{\sigma^2} E\{M_2(0)\} = \frac{\sigma^2}{\sigma^2} = 1$$

Quindi

$$\begin{aligned} P(\hat{a} \neq a | a=1) &= P(M_1(0) < \lambda - E_p) = \\ &= P\left(\frac{M_1(0)}{\sigma} < \frac{\lambda - E_p}{\sigma}\right) = \\ &= P\left(z < \frac{\lambda - E_p}{\sigma}\right) = Q\left(\frac{E_p - \lambda}{\sigma}\right) = \\ &= Q\left(\frac{E_p - \lambda}{\sqrt{\frac{N_b}{2} E_p}}\right) \stackrel{D.P.(-z > \frac{E_p - \lambda}{\sigma})}{=} \end{aligned}$$

Per calcolare la probabilità di errore sul simbolo risulta

$$\begin{aligned} P_s &= P(\hat{a} \neq a | a=1) \underbrace{P(a=1)}_P + P(\hat{a} \neq a | a=-1) \underbrace{P(a=-1)}_{1-P} = \\ &= Q\left(\frac{E_p - \lambda}{\sqrt{\frac{N_b}{2} E_p}}\right) P + Q\left(\frac{E_p + \lambda}{\sqrt{\frac{N_b}{2} E_p}}\right) (1-P) = P_s(\lambda) \quad (\text{u.s.}) \end{aligned}$$

DETERMINAZIONE DELLA SOGLIA OTTIMA (SISTEMA BINARIO)

Nel caso di una transmissione binaria, abbiamo stabilito che la probabilità di errore sul simbolo è data dalla relazione (u.s.), ripartita di seguito, attenuta con il sistema di figura

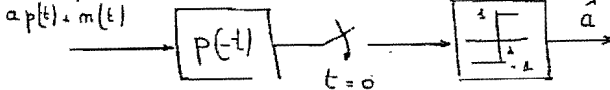
$$P_s(\lambda) = Q\left(\frac{E_p - \lambda}{\sqrt{\frac{N_b}{2} E_p}}\right) P + Q\left(\frac{E_p + \lambda}{\sqrt{\frac{N_b}{2} E_p}}\right) (1-P)$$

Per determinare il valore di λ che minimizza la probabilità di errore, deriviamo rispetto a λ la (u.s.)

$$(\text{u.s.}) \frac{dP_s(\lambda)}{d\lambda} = P\left(-\frac{1}{\sqrt{2\pi}} e^{-\frac{(E_p - \lambda)^2}{2\sigma^2}}\right)(-\frac{1}{\sigma}) + (1-P)\left(-\frac{1}{\sqrt{2\pi}} e^{-\frac{(E_p + \lambda)^2}{2\sigma^2}}\right)\frac{1}{\sigma} =$$

riarrangiando che

$$\frac{dQ(x)}{dx} = \frac{1}{\sqrt{2\pi}} e^{-\frac{x^2}{2}} \quad \text{con } \sigma^2 = \frac{N_b}{2} E_p$$



Eguagliando a zero la (11.6)

123

$$P\left(-\frac{1}{\lambda^2 \sigma^2} e^{-\frac{(\bar{E}_p - \lambda)^2}{2\sigma^2}}\right) \left(-\frac{1}{\sigma}\right) + (1-P)\left(-\frac{1}{\lambda^2 \sigma^2} e^{-\frac{(\bar{E}_p + \lambda)^2}{2\sigma^2}}\right) \frac{1}{\sigma} = 0$$

$$P e^{-\frac{(\bar{E}_p - \lambda)^2}{2\sigma^2}} - (1-P) e^{-\frac{(\bar{E}_p + \lambda)^2}{2\sigma^2}} = 0$$

$$e^{-\frac{(\bar{E}_p - \lambda)^2}{2\sigma^2}} = \frac{1-P}{P} e^{-\frac{(\bar{E}_p + \lambda)^2}{2\sigma^2}}$$

$$\frac{1-P}{P} = e^{-\frac{(\bar{E}_p - \lambda)^2}{2\sigma^2}} e^{\frac{(\bar{E}_p + \lambda)^2}{2\sigma^2}}$$

Allora

$$\frac{(\bar{E}_p + \lambda)^2 - (\bar{E}_p - \lambda)^2}{2\sigma^2} = \ln\left(\frac{1-P}{P}\right)$$

$$\bar{E}_p^2 + \lambda^2 + 2\lambda\bar{E}_p - \bar{E}_p^2 - \lambda^2 + 2\lambda\bar{E}_p = 2\sigma^2 \ln\left(\frac{1-P}{P}\right)$$

$$\rightarrow 4\lambda\bar{E}_p = 2\sigma^2 \ln\left(\frac{1-P}{P}\right)$$

quindi

$$\begin{aligned} \underline{\lambda_{\text{OTTIMO}}} &= \frac{1}{2} \frac{\sigma^2}{\bar{E}_p} \ln\left(\frac{1-P}{P}\right) \\ &= \frac{1}{2} \frac{N_0}{2} \bar{E}_p \frac{1}{\bar{E}_p} \ln\left(\frac{1-P}{P}\right) = \\ &= \frac{N_0}{4} \ln\left(\frac{1-P}{P}\right) \quad (11.7) \end{aligned}$$

Facendo la derivata
seconda, si può
dimostrare che
esso è un p.t. di
minimo.

Osserviamo che se i due eventi sono EQUIPROBABILI

$$P = 0,5 \quad \lambda_{\text{OTTIMO}} = 0$$

Se invece l'evento $\{a=0\}$ è impauribile

$$P = 1 \quad \lambda_{\text{OTTIMO}} = -\infty$$

Se l'evento impauribile è $\{a=1\}$ avremo

$$P = 0 \quad \lambda_{\text{OTTIMO}} = +\infty$$

Calcoliamo la probabilità di errare P_s nel caso
in cui venga scelta la soglia attiva:

$$P_s(\lambda) \Big|_{\lambda = \lambda_{\text{ottima}}} = P Q \left(\frac{\bar{E}_p - \lambda_{\text{ottima}}}{\sigma} \right) + (1-P) Q \left(\frac{\bar{E}_p + \lambda_{\text{ottima}}}{\sigma} \right)$$

$$P_s(0) \Big|_{\lambda = \lambda_{\text{ottima}}} = Q \left(\frac{\bar{E}_p}{\sqrt{\frac{N_0}{2} E_p}} \right) = Q \left(\sqrt{\frac{2 \bar{E}_p}{N_0}} \right)$$

$P = 0,5$
 $\lambda_{\text{opt}} =$

TRASMISSIONI MULTIPLE (sistemi BINARI)

Analizziamo il caso in cui venga trasmessa una sequenza di segnali PAM. Scelto l'impulso $p(t)$, con durata D e definito l'intervallo di segnalazione T , supponiamo di voler trasmettere la sequenza 1001 associando all'1 $a = 1$ e allo 0 $a = -1$.

Vediamo le due situazioni significative.

Il segnale PAM $s(t)$ può essere espresso matematicamente con il modello

$$s(t) = \sum_k a_k p(t - kT)$$

Nella quale a_k è un coeff. che dipende dall'istante.

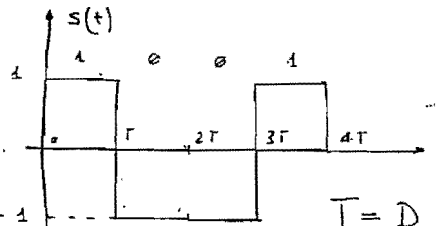
A. $D \leq T$: la durata dell'impulso è inferiore all'intervallo di segnalazione (in particolare analizziamo il caso limite $D = T$). La sequenza trasmessa $s(t)$ sarà

$$s(t) = \sum_k a_k p(t - kT)$$

Sul canale si sovrappone il rumore $m(t)$ AWGN.

Vediamo cosa succede

all'uscita del filtro adattato



$$\begin{aligned} x(t) &= [s(t) + m(t)] \otimes p(-t) = \\ &= s(t) \otimes p(-t) + m(t) \otimes p(-t) = \\ &= \sum_k a_k p(t - kT) \otimes p(-t) + m(t) \otimes p(-t) \end{aligned}$$

ponendo

$$g(t) = p(t) \otimes p(-t)$$

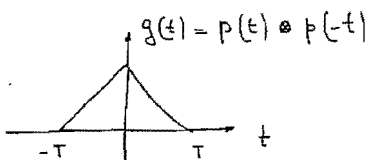
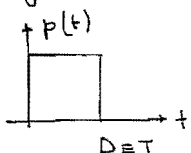
$$g(t - kT) = p(t - kT) \otimes p(-t)$$

125

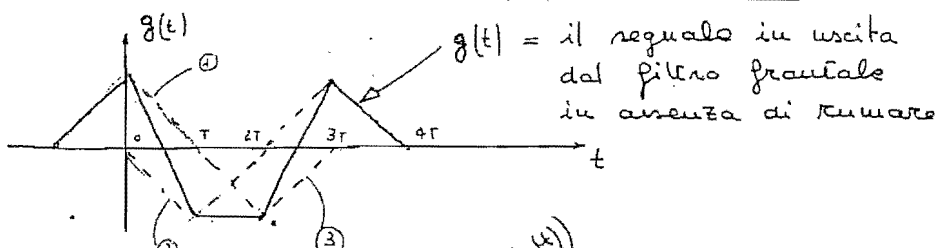
quindi

$$x(t) = \sum_k a_k g(t - kT) + m_x(t) \quad (11.8)$$

Osserviamo che per $p(t)$ rettangolare, $g(t)$ è triangolare e come segue



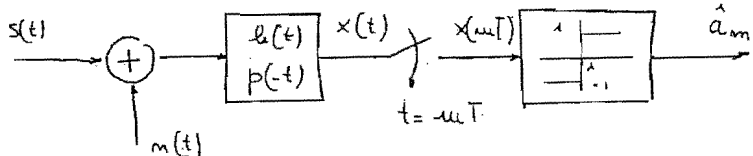
Allora in riferimento alla sequenza 1001 trasmetta il segnale $s(t)$ risulta, trascurando il rumore,



Dall'andamento temporale di $s(t)$ si deduce che, progettando correttamente il filtro gravitale secondo la relazione (10.9), possiamo maximizzare il rapporto SNR in ingresso al ricevitore; inoltre campionando opportunamente negli istanti $t = nT$, con n intero, si può estrapolare solo il nibbolo di interesse: la durata dell'impulso è al più pari a T , quindi campionando negli istanti suddetti il nibbolo precedente⁽¹⁾ si è già esaurito, mentre quello successivo⁽²⁾ deve ancora iniziare. Nel rispetto dei vincoli appena esposti, non si verifica INTERFERENZA INTERSIMbolICA (ISI); in altri termini non si ha sovrapposizione fra i nibboli negli istanti di campionamento.

Allora se si utilizza un ricevitore a FILTRO ADATTATO (ideale impiegando un ricevitore a FILTRO ADATTATO) e si è possibile ricevere il segnale correttamente inserire i nibboli trasmessi. Sarà necessario inserire un "decisore a soglia" progettato secondo

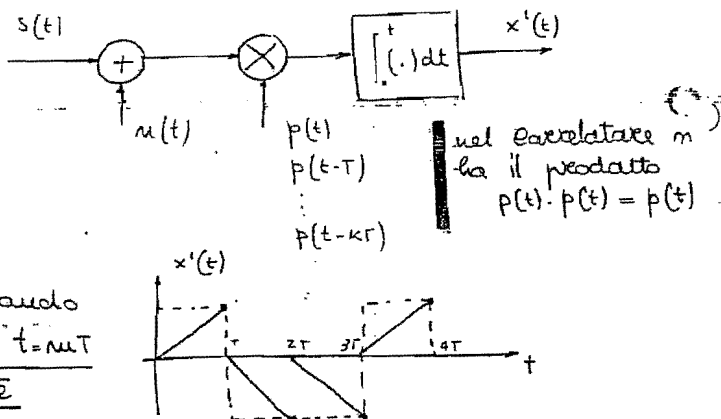
i criteri della "soglia attiva". Secondo quanto detto¹²⁶ un parititile schema di ricezione può essere il seguente



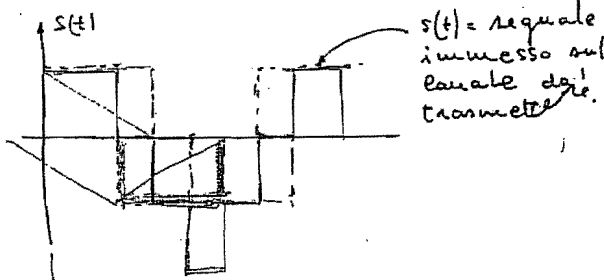
SCHEMA DI RICEZIONE
PER REALIZZAZIONE CON
FILTRI ADATTATI

Valutiamo la paribilità di impiegare come ricevitore un CORRELATORE al posto del filtro adattato (vedi figura). L'aumento temporale del segnale

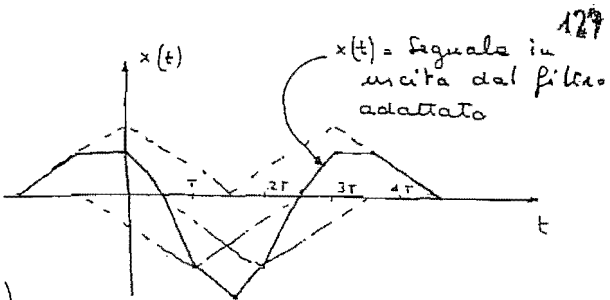
$x'(t)$ può facilmente essere ricavato dall'operazione di integrazione (sempre in riferimento alla sequenza 1001). Anche in questo caso campionando negli istanti opportuni $t = nT$ il decisore a soglia è in grado di restituire il simbolo trasmesso.



B. $D > T$. La durata dell'impulso è maggiore dell'intervallo di regolazione (in particolare analizziamo il caso in cui $D = T + \frac{T}{2}$). In riferimento all'impulso $p(t)$ e alla sequenza 1001 visti in precedenza, poniamo asservare che in uscita dal trasmettitore si ha un segnale $s(t)$ fortemente "distorto". La sovrapposizione dei simboli si verifica già in uscita dal Tx. Anche in questo caso il filtro adattato trasforma gli impulsi



rettangolari in impulsi
 triangolari simmetrici,
 quindi è possibile trac-
 ciare l'andamento
 temporale del segnale
 $x(t)$ in uscita dal filtro
 (supponendo nullo il rumor)



E' possibile che mi verifichi sì. Il filtro adattato
è ancora utilizzabile, ma le correlazioni no.

Per quanto riguarda il decisore, può essere
impiegato un DECISORE A SOGLIA se non si verifica ISI.
Se al contrario c'è interferenza è necessario impiega-
re algoritmi di decisione più complessi come ad esempio
l'ALGORITMO DI VITERBI.

nel caso $D > T$ può essere modellato matematicamente nel modo seguente.

$$x(t) = \sum_k a_k g(t - kT) + m_2(t)$$

Campionando in $t = mT$, si ottiene

$$x(mT) = \sum_k a_k g(mT - kT) + m_1(mT) =$$

$$\underbrace{a_m g(0)}_{\textcircled{A}} + \underbrace{a_{m-1} g(T) + a_{m+1} g(-T) +}_{\textcircled{B}}$$

$$+ \underbrace{a_{m-2} g(2T) + a_{m+2} g(-2T) + \dots +}_{\textcircled{C}} m_1(t) =$$

Il termine (A) contiene il simbolo π , cioè quello che vorremmo estrapolare nell'istante di campionamento; il termine (B) contiene tutte le componenti relative ai simboli che devono essere o che sono già emessi. Il termine (C) è il rumore AWGN del canale. Osserviamo che

$$(16.9) \quad x(mT) = \underbrace{a_m g(0)}_{\text{TERMINÉ UTEL}} + \underbrace{\sum_k a_k g[(m-k)T]}_{\text{INTERFERENZA INTERSIRBOUCA}} + \underbrace{m_1(mT)}_{\text{ERRORE}}$$

Per sopprimere l'interferenza intermibalica è 128
necessario modellare l'impulso $p(t)$ in modo che

$$g(t) \triangleq p(t) \otimes p(-t)$$

sia tale che

$$g(l) = \begin{cases} g(0) & \text{se } l=0 \\ 0 & \text{se } l \neq 0 \end{cases}$$

Una funzione che rispetta la (11.10) è la sinc, che purtroppo tecnicamente (11.10) difficile da realizzare.

Riasumendo le due situazioni si presentano come segue:

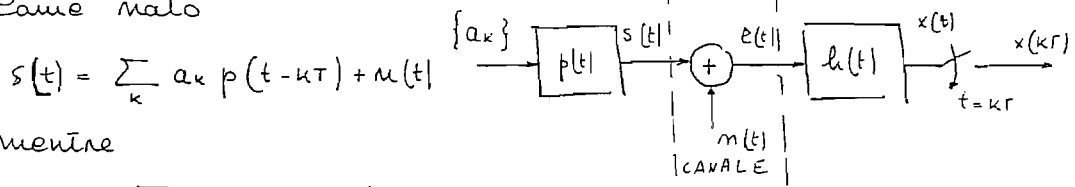
	ISI	FILTO	DECISORE
D ≤ T	NO	Filtro Adattato o Lavelatore	A SOGLIA
D > T	SI NO	Filtro Adattato	VITERBI A SOGLIA

Osservazione: Il caso $D > T$ benché svantaggioso è di fatto l'unico realmente pavibile. Si ricordi che un segnale a durata limitata ha banda infinita. Questo può non essere accettabile nel caso di FDR. Anche se patologico riguardo l'occupazione frequenziale dell'impulso, il canale è di fatto un filtro passa banda con banda B_c ; di conseguenza taglia la banda dell'impulso trasformandolo in uno a durata infinita.

DETERMINAZIONE DELL'IMPULSO CORRETTO

12

Come noto



mentre

$$x(t) = \sum_i a_i g(t - iT) + m_1(t)$$

sappiamo che per definizione

$$g(t) \triangleq s(t) \otimes h(t) = \int_{-\infty}^{+\infty} p(n) h(t - n) dn$$

$$m_1(t) \triangleq m(t) \otimes h(t) = \int_{-\infty}^{+\infty} m(n) h(t - n) dn$$

camponando in $t = kT$

$$\begin{aligned} x(kT) &= \sum_i a_i g(kT - iT) + m_1(kT) = \\ &= \underbrace{a_k g(0)}_{\textcircled{A} \quad n=k} + \underbrace{\sum_{i \neq k} a_i g[(k-i)T]}_{\textcircled{B}} + \underbrace{m_1(kT)}_{\textcircled{C}} \end{aligned}$$

Come già accennato il termine \textcircled{A} rappresenta il campione utile, \textcircled{B} rappresenta il termine di ISI e \textcircled{C} il rumore. Per annullare l'ISI ribadiamo la condizione (11.10)

$g(kT) = \begin{cases} 1 & \text{se } k=0 \\ 0 & \text{se } k \neq 0 \end{cases}$	<i>Condizione di Nyquist</i>
---	------------------------------

Inoltre, scrivendo la (11.10) nel modo seguente

$$\left| \sum_k g(kT) \delta(t - kT) \right| \stackrel{H}{\Rightarrow} \frac{1}{T} \sum_k G(f - \frac{k}{T}) \quad ?$$

imponendo la condizione che annulla l'ISI

$$\frac{1}{T} G(f - \frac{k}{T}) = 1 \quad g(0) \delta(t) = \delta(t) \text{ perche } g(0)=1$$

$G(f - \frac{k}{T}) = T$	(12.1)
--------------------------	--------

La relazione (12.1) afferma che per non avere interferenza interimbalsica è necessario considerare

una $G(f)$ rettangolare che va da $-\frac{1}{2T}$ a $\frac{1}{2T}$

130

$$G(f) = T \text{rect}\left(\frac{t}{1/T}\right)$$

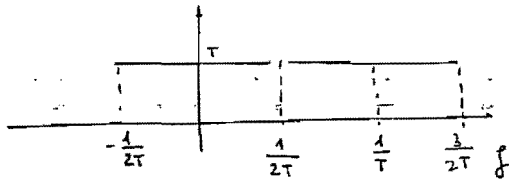
che periodizzata da origine ad una costante e pari a T .

Il segnale che ha andamento in frequenza rettangolare è la funzione

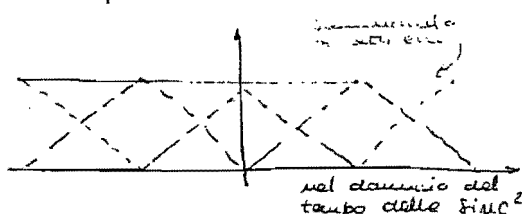
Sinc. In effetti la sinc è

tale perciò si annulla in tutti i multipli di T non nulli e quindi rispetta la condizione (ii.10).

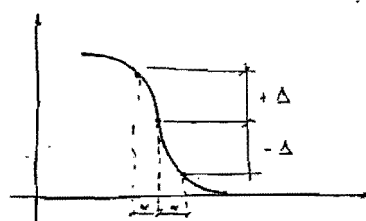
Conserviamo che l'aggiunta di uno sfasamento modifica le cose.



La condizione di Nyquist è rispettata anche dalle funzioni il cui andamento in frequenza è quello di figura. In generale la (ii.1) è verificata su tutte le funzioni che hanno una particolare simmetria detta SIMMETRIA VERTIGIALE:



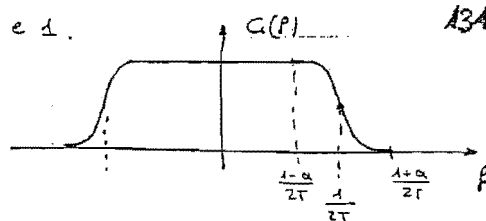
queste funzioni hanno simmetria dispari rispetto al punto $1/2T$ e $-1/2T$ in modo che sommando le repliche d'uno arigine ad una costante, la sartanza una funzione ha "simmetria vertigiale" rispetto al punto $\frac{1}{2T}$. se uno spostamento verso dx di Δ produce una variazione $-\Delta$ e uno stesso spostamento α verso sx produce una variazione di $+\Delta$.



Una classe di funzioni che rispettano queste condizioni è quella del COSENO RIALZATO: la simmetria è quella di un coseno traslato verso l'alto. È caratterizzato da un parametro α detto roll off che definisce la banda in eccesso (o banda vertigiale). ($0 \leq \alpha < 1$)

Il "roll off" α è compreso tra 0 e 1.

$$0 \leq \alpha \leq 1$$



Nel dominio del tempo una funzione a simmetria verticale

nel dominio del tempo è simile ad una

sinc. per la quale le oscillazioni al di fuori dell'impulso in zero sono maggiormente smorzate di sua natura. All'aumentare di α , cioè del roll off, lo smorzamento delle code aumenta; allora per minimizzare l' ISI si pone α elevato.

Come visto dalla definizione

$$g(t) = p(t) \otimes h(t)$$

$$G(f) = P(f) H(f)$$

- 1) riduzione banda (di grande che pagheremo con una maggiore facilità e subire errori)
- 2) α piccolo, circuito di sincronismo di clock buono

quindi per avere la $G(f)$ valuta abbiamo due gradi di libertà $p(t)$ e $h(t)$; per minimizzare il rapporto seguente $h(t)$ va progettato "adattato" a $p(t)$, avendo

$$\begin{aligned} h(t) &= p(-t) \\ H(f) &= P^*(f) \end{aligned}$$

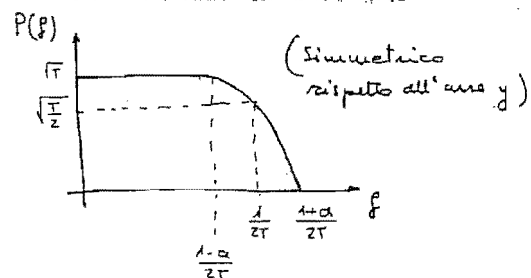
per questo motivo

$$G(f) = P(f) P^*(f) = |P(f)|^2 = G_N(f) \quad (12.2.1)$$

quindi

$$(12.2) \quad P(f) = \sqrt{|G_N(f)|} = \text{radice di un valore rialzato.}$$

L'aumento in frequenza della radice del valore rialzato è riportato nella figura a lato.



Sappiamo che il valore di trasmissione è di fatto un filtro $C(f)$: allora se $p(t)$, è $P(f)$, è l'impulso che viene trasmesso, il ricevitore rileva in ingresso

l'impulso con $P(f)C(f)$. Allora la condizione 132 di adattamento del filtro si traduce nella seguente

$$H(f) = P^*(f)C^*(f) \quad (12.3)$$

per avere un impulso in grado di non provocare ISI si deve imparare la condizione

$$H(f)P(f)C(f) = G_N(f)$$

$$P^*(f)P(f)C^*(f)C(f) = G_N(f)$$

$$|P(f)|^2 |C(f)|^2 = G_N(f) \quad (12.4)$$

dalla quale

$$P(f) = \frac{\sqrt{G_N(f)}}{|C(f)|} \quad (12.5)$$

Tutto questo
vuol dire che il
canale nel tempo
varia e data (f).

considerando l'effetto che il filtro adattato ha sul rumore additivo

$$(12.6) \quad E\{M_1^2(t)\} = \int_{-\infty}^{+\infty} S_m(f) |H(f)|^2 df = \int_{-\infty}^{+\infty} \frac{N_0}{2} G_N(f) df = \frac{N_0}{2}$$

Area sotto del
canale rilevato è
misurata.

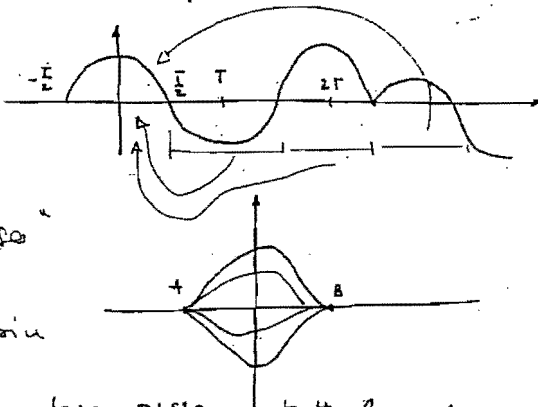
DIAGRAMMI AD OCCHIO

Si consideri il segnale, di ritardo del canale, in ausenza di rumore; si sovrappongano i tratti di curva che rappresentano l'adattamento temporale nell'intervallo $[-\frac{T}{2}, \frac{T}{2}]$. Se rispettata la condizione di Nyquist le curve si intersecano in due punti.

Maggiore ISI \Rightarrow "occhio chiuso"

Minore $\alpha \Rightarrow$ stinale banda ma risolva più insensibile.

Distanza di campionamento si trova dove passano tutte le curve, in questo punto l'ISI è estesa



-> pag. 160

Pdf B2

2) Verifico la presenza o meno di 1s1

3) Più è aperto l'occhio in fotografie, più siamo immuni all'etiole.

$$\alpha \in \{-1\}$$

$$P\{\alpha_k = 1\} = p$$

$$P\{\alpha_k = -1\} = 1-p$$

$$E\{\alpha_k\} = 1 \cdot p + (-1)(1-p) = 2p - 1$$

$$\Theta(t) = \underbrace{2\pi f_0 t + \theta_0}_{\theta(t)} + \underbrace{\phi_m x(t)}_{\text{fase del segnale modulato}}$$

DOPO 8.4

$$\Theta_M(t) = 2\pi f_0 t + \theta_0 + \phi_m x(t)$$

fase segnale modulato, è visto in proporzione a $\phi_m x(t)$

$$\Theta_M(t) - \Theta(t) = \phi_m x(t)$$

Dopo 8.6

Derivando $x_m(t)$ ottengo

$$\frac{1}{2\pi} \frac{d\Theta(t)}{dt} = f_0 + f_m x(t)$$

Segnale positivo \rightarrow incremento freq.
negativo \rightarrow decremento freq.

$$\phi(t) = \begin{cases} \phi_m x(t) & \text{PM} \\ \frac{1}{2\pi f_m} \int_{-\infty}^t x(\tau) d\tau & \text{FM} \end{cases}$$

La frequenza spettrale è una variabile indipendente

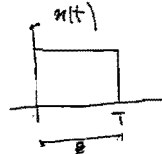
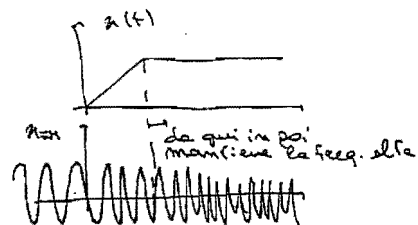
Dopo 9.2 $f_A = 75 \text{ kHz}$

$$B = 15 \text{ kHz}$$

$$B_{FM} \approx \begin{cases} 210 \text{ kHz} & 2(f_A + 2B) \\ 180 \text{ kHz} & 2(f_A + B) \end{cases} \quad \left. \begin{array}{l} 2(f_A + 2B) \\ 2(f_A + B) \end{array} \right\} 200 \text{ kHz}$$

occorrendo due segnali a 200 kHz non c'è interferenza

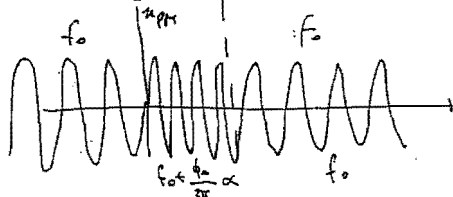
Ese



$$B_{FM} = 2(f_A + 2B)$$

Modulando in PM significa modulare in FH la derivata del segnale

$$\frac{1}{2\pi} \frac{d\Theta(t)}{dt} = f_0 + \frac{\phi_m}{2\pi} x(t)$$



STUDIO IN FREQUENZA DEI SEGNALI PAN

133

Consideriamo un generico segnale PAN espresso dalla relazione

$$s(t) = \sum_k a_k p(t - kT) \quad (13.1)$$

questo è un processo non stazionario; allora l'auto-correlazione dipende altre che da N , anche da t .

Tuttavia

$$R_s(t, n) = E\{s(t+n) s(t)\} \quad (13.2)$$

dipende dal tempo in modo periodico, cioè

$$R_s(t+T, n) = R_s(t, n)$$

inoltre il valore medio

$$\bar{\gamma}_s(t) = E\{s(t)\} = \bar{\gamma}_s(t+T) \quad (13.3)$$

questo processo, per il quale valgono le relazioni (13.2) e (13.3), si dice CICLOSTAZIONARIO.

$$s(t) \rightarrow S_T(t) \rightarrow S_T(f)$$

$s(t)$ per $-\frac{T}{2} \leq t \leq \frac{T}{2}$

$$W_s(f) = \lim_{T_0 \rightarrow \infty} \frac{E\{|S_T(f)|^2\}}{T_0}$$

La densità spettrale di potenza del processo $s(t)$ $W_s(f)$ risulta

$$W_s(f) = \frac{W_a(f)}{T} |P(f)|^2 \quad (13.4)$$

nella quale $W_a(f)$ è la densità spettrale di potenza del processo tempo discreto a_k ; in particolare si calcola

$$R_a(m) = E\{a_{k+m} a_k\} \quad (13.5.1)$$

$$W_a(f) = \sum_{m=-\infty}^{+\infty} R_a(m) e^{-j2\pi f T} \quad (13.5.2)$$

Nella relazione (13.4), il termine $|P(f)|^2$ non è altro che lo spettro dell'impulso $p(t)$ dalla (12.2.1) in particolare

$$|P(f)|^2 = G(f)$$

dove $G(f)$ è il carico rialzato.

Consideriamo come impulso più la radice di un coseno rialzato con roll-off d. Quale consideriamo nel alfabeto

$$A = \{\pm 1, \pm 3, \pm 5, \dots, \pm (N-1)\}$$

con eventi

indipendenti ed equiprobabili con $p_i = \frac{1}{M}$.

Calcoliamo l'auto-correlazione:

$$R_a(m) = E\{a_{k+m} a_k\}$$

distinguiamo due casi:

1. Se $m = 0$

$$R_a(0) = R_a(m) = E\{a_k^2\}$$

2. Se $m \neq 0$

$$R_a(m) = E\{a_{k+m} a_k\} = E\{a_{k+m}\} E\{a_k\}$$

perché indipendenti

Osserviamo che

$$E\{a_k\} = 1 \cdot \frac{1}{M} + (-1) \frac{1}{M} + 3 \frac{1}{M} + (-3) \frac{1}{M} + \dots = 0$$

e questo vale anche per $E\{a_{k+m}\}$. Il valore quadratico medio

$$\begin{aligned} E\{a_k^2\} &= (1)^2 \frac{1}{M} + (-1)^2 \frac{1}{M} + (3)^2 \frac{1}{M} + (-3)^2 \frac{1}{M} + \dots = \\ &= \frac{N^2 - 1}{3} \quad \leftarrow \begin{array}{l} \text{formula generale} \\ \text{valida per ogni } N \end{array} \end{aligned}$$

Allora:

$$\text{Se } m = 0 \quad R_a(m) = E\{a_{k+m} a_k\} = E\{a_k^2\} = \frac{N^2 - 1}{3}$$

$$\text{Se } m \neq 0 \quad R_a(m) = E\{a_{k+m} a_k\} = E\{a_{k+m}\} E\{a_k\} = 0$$

Calcoliamo ora la densità spettrale di potenza del processo a_k detta $Wa(f)$.

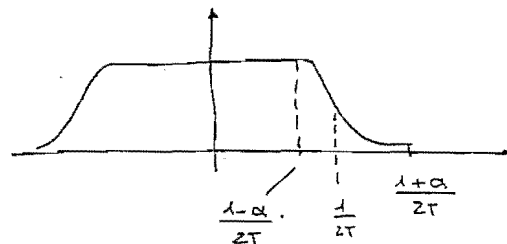
Sulla base della relazione (3.5.2)

135

$$W_a(f) = \sum_m R_a(m) e^{j2\pi f m} = R_a(0) = \frac{M^2 - 1}{3} \quad R_a(0) = \frac{M^2 - 1}{3} S_m$$

La dens. spett. di potenza del segnale PAM risulta

$$W_s(f) = \frac{W_a(f)}{T} |P(f)|^2 = \frac{M^2 - 1}{3T} G(f)$$



Osservazione: Se avessimo scelto $p(t)$

$$p(t) = \text{rect}\left(\frac{t}{T}\right)$$

Come noto la TCF

$$P(f) = T \sin\left(\frac{\pi f T}{2}\right)$$

avremmo avuto

$$\begin{aligned} W_s(f) &= \frac{M^2 - 1}{3T} |P(f)|^2 = \\ &= \frac{M^2 - 1}{3T} \left| T \sin\left(\frac{\pi f T}{2}\right) \right|^2 \end{aligned}$$

Esempio

Si consideri $p(t)$ come nell'esempio precedente, con un alfabeto $a_k \in \{0, 1\}$

Per trovare lo spettro calcolo l'autocorrelazione
dell'autocorrelazione

$$R_a(m) = E\{a_{k+m} a_k\}$$

Come prima

$$\begin{aligned} \text{Se } m=0 \quad R_a(m) &= R_a(0) = E\{a_k^2\} = \frac{1}{2} \\ &\quad \frac{1}{2} \cdot (1)^2 + \frac{1}{2} \cdot 0 = \frac{1}{2} \end{aligned}$$

$$\text{se } m \neq 0 \quad R_a(m) = \mathbb{E}\{a_{k+m} a_k\} = \mathbb{E}\{a_{k+m}\} \mathbb{E}\{a_k\} = \frac{1}{4}$$

allora

$$R_a(m) = \frac{1}{4} + \frac{1}{4} \delta_m$$

$$\mathbb{E}\{a_{k+m}\} = (0)^{\frac{1}{2}} + (1)^{\frac{1}{2}} = \frac{1}{2}$$

$$\mathbb{E}\{a_k\} = (0)^{\frac{1}{2}} + (1)^{\frac{1}{2}} = \frac{1}{2}$$

Calcoliamo la densità spettrale di potenza $W_a(f)$
Secondo la (13.4)

$$W_a(f) = \sum_m R_a(m) e^{-j2\pi f m T} =$$

$$= \frac{1}{4} \sum_{m=-\infty}^{+\infty} e^{-j2\pi f m T} + \frac{1}{4}$$

Ricordando che

$$\sum_{m=-\infty}^{+\infty} e^{-j2\pi m f T} = \frac{1}{T} \sum_{m=-\infty}^{+\infty} \delta(f - \frac{m}{T})$$

avremo

$$W_a(f) = \frac{1}{4} \sum_{m=-\infty}^{+\infty} e^{-j2\pi m f T} + \frac{1}{4} =$$

$$= \frac{1}{4T} \sum_{m=-\infty}^{+\infty} \delta(f - \frac{m}{T}) + \frac{1}{4}$$

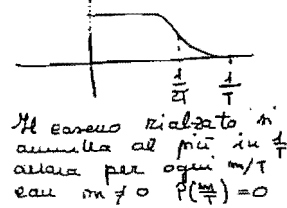
quindi dalla (13.4)

$$W_s(f) = \frac{W_a(f)}{T} |P(f)|^2 =$$

$$= \frac{|P(f)|^2}{4T} + \frac{1}{4T^2} \sum_{m=-\infty}^{+\infty} |P(\frac{m}{T})|^2 \delta(f - \frac{m}{T})$$

Eseguendo $\hat{p}(t)$ un caso rialzato, $P(f)$ è nulla in $\frac{m}{T}$ se $m \neq 0$, allora rimane

$$W_s(f) = \frac{|P(f)|^2}{4T} + \frac{1}{4T^2} |P(0)|^2 \delta(f)$$



Il caso rialzato in
assimile al più in $\frac{1}{T}$
allora per ogni m/T
e se $m \neq 0$ $p(\frac{m}{T}) = 0$

Rispetto all'esempio precedente, $W_s(f)$ è identico, 137
con l'aggiunta di una δ nell'origine.

Esempio

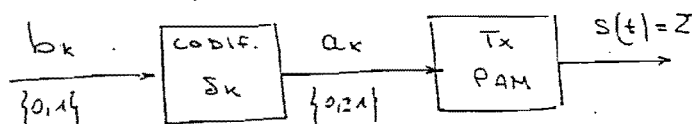
Supponiamo di avere dei simboli b_k prodotti dalla sorgente; rielaborare questi simboli attraverso un CODIFICATORE che li trasforma nei simboli a_k . Il codificatore è una racchiusa a stati finiti per la quale

$$a_k = f(b_k, S_k)$$

nella quale S_k è lo stato interno definito come

$$S_{k+1} = g(b_k, S_k)$$

I simboli a_k sono poi trasmessi attraverso un Tx PAM.



$$\text{con } \delta(t) = \sum_k a_k p(t - kT)$$

Consideriamo allora un codificatore impiegato per produrre codice di UNCA AMI (Alternate Mark Inversion): ad ogni trasmissione di uno si invierte il segnale. Allora lo stato è definito

Va bene anche il contrario, $S_k = \begin{cases} 1 & \text{se la volta precedente si ha } t_x \\ -1 & \text{se la volta precedente si ha } t_{x-1} \end{cases}$

[Nota: si basa sulla memoria dell'ultima trasmissione]

S_k va inizializzato a 1 o -1 in maniera arbitraria

La funzione di uscita invece sarà:

$$a_k = b_k (-S_k) = -b_k S_k$$

La legge di transizione di stato sarà

$$S_{k+1} = S_k (1 - 2b_k)$$

Se b_k è nullo 138
 $S_{k+1} = S_k$

Se b_k è uno si
inverte lo stato.

Supponiamo che b_k rappresenti il sistema binario

$$b_k \in \{0, 1\}$$

allora

$$a_k \in \{0, 1, -1\}$$

Calcoliamo l'autocorrelazione del processo a_k

$$\begin{aligned} R_a(m) &= E\{a_{k+m} a_k\} = E\{-(b_{k+m} S_{k+m})(-b_k S_k)\} = \\ &= E\{(b_{k+m} b_k) S_k S_{k+m}\} \end{aligned}$$

Vediamo alcuni casi

$$m=0 \quad R_a(0) = E\{b_k^2 S_k^2\} = E\{b_k^2\} = \frac{1}{2}$$

|
perche' b_k e S_k sono indipendenti
e siccome S_k vale 1 o -1
 $E\{S_k^2\} = 1$

$$m=1 \quad R_a(1) = E\{b_{k+1} b_k S_{k+1} S_k\} =$$

$$= E\{b_{k+1} b_k S_k (1 - 2b_k)\} =$$

\downarrow
Siccome b_k, b_{k+1} e S_k sono indipendenti e
 $E\{S_k^2\} = 1$

$$= E\{b_{k+1} b_k (1 - 2b_k)\} =$$

$$= E\{b_k b_{k+1}\} - 2 E\{b_k^2 b_{k+1}\} =$$

$$= E\{b_k\} E\{b_{k+1}\} - 2 E\{b_k^2\} E\{b_{k+1}\} =$$

$$= \frac{1}{4} - \frac{1}{2} \cdot \frac{1}{2} = -\frac{1}{4}$$

$$m=2 \quad R_a(2) = E\{b_{k+2} b_k s_k s_k\} = 0$$

Calcolando $R_a(m)$ per $m \geq 2$ ottieniamo zero.

Quindi l'autocorrelazione è pari a

$$R_a(-1) = R_a(1) = -\frac{1}{4}$$

$$R_a(0) = \frac{1}{2}$$

$$R_a(-2) = R_a(2) = 0$$

;

$$R_a(-m) = R_a(m) = 0 \quad \text{per } m > 2$$

Procedendo

$$W_a(f) = \sum_m R_a(m) e^{-j2\pi m f T} =$$

$$= \frac{1}{2} - \frac{1}{4} e^{-j2\pi f T} - \frac{1}{4} e^{j2\pi f T} =$$

$$= \frac{1}{2} - \frac{1}{2} \cos(2\pi f T)$$

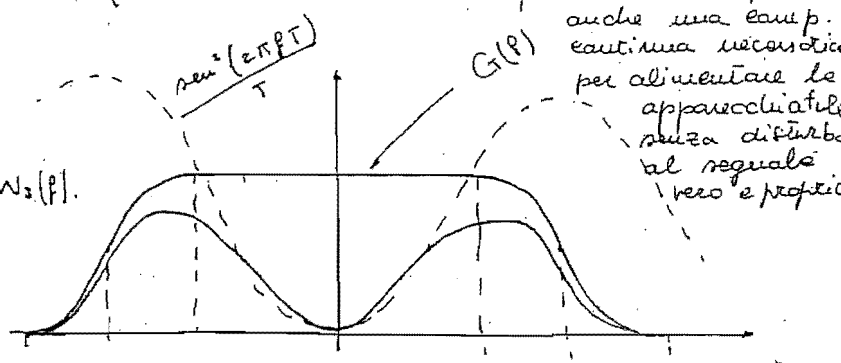
Se $p(t)$ è
un segnale
realizzato
 $|P(f)|^2 = G(f)$

$$W_s(f) = \frac{W_a(f)}{T} |P(f)|^2 = \frac{\left(\frac{1}{2} - \frac{1}{2} \cos(2\pi f T)\right)}{T} G(f) =$$

$$= \frac{\sin^2(2\pi f T)}{T} G(f)$$

quindi:

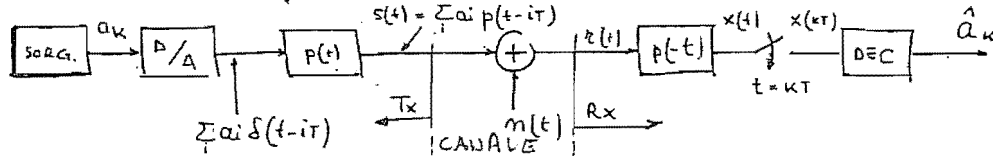
Si codificare
la sagamata $W_s(f)$.



MODULAZIONE PAM M-ARIA

40

Il sistema può essere schematizzato nel modo seguente



Sia a_k il simbolo tratto da un alfabeto A di M simboli

$$a_k \in A = \{\pm 1, \pm 3, \pm 5, \dots, \pm (M-1)\}$$

indipendenti ed equivalenti.

$$(x(kT) = a_k g_0 + \sum_{i=1}^{k-1} a_i [(k-i)\tau] + m_1(kT))$$

$$x(t) = \sum_i a_i g(t - i\tau) + m_1(t)$$

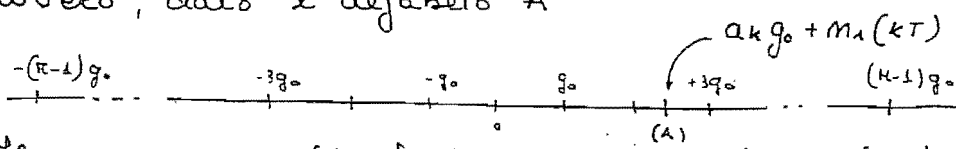
$m_1(t)$, attenuato dal filtraggio di $m(t)$, è gaussiano a media nulla, con varianza

$$\sigma^2 = \frac{N_0}{2} \int_{-\infty}^{+\infty} |P(f)|^2 df = \frac{N_0}{2} \int_{-\infty}^{+\infty} G(f) df = \frac{N_0}{2} g_0 = \frac{N_0 E_p}{2}$$

E' necessario capire come escludere il "decidere" affinché, sulla base di $x(kT)$, venga determinata a_k . In assenza di rumore riceveremo

$$x(kT) = a_k g_0$$

avendo, dato l'alfabeto A



Il rumore $m_1(t)$ fa in modo che $x(kT)$ cada all'interno degli intervalli considerati, ad esempio in (A). Il decidere dunque avere $M-2$ soglie λ_i .

Se gli eventi faranno equiprobabili si può scegliere come soglia il punto medio fra i due simboli.

Logicamente a seconda della "caratteristica" di simboli alcuni di essi risulteranno più protetti di altri.

Nel caso generale quindi si usa un DECODERE a $M-2$ SOGNI. Calcoliamo la PROBABILITÀ DI ERRORE SU SIMBOLI in sostanza sappiamo che, per definizione

$$P_s \left(\text{probabilità di errare su simbolo} \right) = P(\hat{a}_k \neq a_k) =$$

$$= \sum_{\alpha \in A} P(\hat{a}_k \neq a_k | a_k = \alpha) P(a_k = \alpha)$$

Teorema della Probabilità Totale. 141

Probabilità di errare condizionata alla trasm. del carattere qualiasi $\alpha \in A$

Se i simboli sono equiprobabili

$$P(a_k = \alpha) = \frac{1}{M}$$

$$= \left[\frac{1}{M} \sum_{\alpha \in A} P(\hat{a}_k \neq a_k | a_k = \alpha) \right] \quad (14.1)$$

Supponiamo α interno, avendo $\alpha \neq M-1$ e $\alpha \neq -(M-1)$:

$$P(\hat{a}_k \neq a_k | a_k = \alpha) =$$

$$= P\left\{ x(kT) > (\alpha+1)g_0 | a_k = \alpha \right\} + P\left\{ x(kT) < (\alpha-1)g_0 | a_k = \alpha \right\}$$

sono eventi disgiunti che è impossibile
che $x(kT)$ sia contemporaneamente maggiore di una soglia
e minore di un'altra più piccola.

$$= P\left\{ \alpha g_0 + M_1(kT) > (\alpha+1)g_0 \right\} +$$

$$+ P\left\{ \alpha g_0 + M_1(kT) < (\alpha-1)g_0 \right\} =$$

$$\cdot P\left\{ M_1(kT) > g_0 \right\} + P\left\{ M_1(kT) < -g_0 \right\} =$$

dividendo per σ
dissettano v.e.
gaussiane STANDARD $\frac{g_0}{\sigma}$

$$= P\left\{ \frac{M_1(kT)}{\sigma} > \frac{g_0}{\sigma} \right\} + P\left\{ \frac{M_1(kT)}{\sigma} < -\frac{g_0}{\sigma} \right\}$$

$$= 2 P\left\{ \frac{M_1(kT)}{\sigma} > \frac{g_0}{\sigma} \right\} = 2 Q\left(\frac{g_0}{\sigma}\right) \quad (14.2)$$

Sostituendo ad $x(kT)$
la sua espressione
che tiene conto di α , avendo
 $x(kT) = \alpha g_0 + M_1(kT)$.
Inserisco la condizione
 $a_k = \alpha$
nell' evento ①,
 \Rightarrow poniamo togliere
il condizionamento.

avendo $M_1(kT)/\sigma$
gaussiana la prob
che sia magg. è
uguale a quella che
non minore (per
simmetria)

Supponiamo ora che α sia un ESTREMO; poniamo $\alpha = M-1$, perché il caso $\alpha = -(M-1)$ è identico con uguale probabilità.

$$P(\hat{a}_k \neq a_k | a_k = H-1) = P(x_{(kT)} < (H-2)g_0 | a_k = H-1) = 142$$

$$= P\{(H-1)g_0 + m_1(kT) < (H-2)g_0\} = P\{m_1(kT) < -g_0\} = \underbrace{Q\left(\frac{g_0}{\sigma}\right)}_{(14.3)} \quad C$$

Tornando all'espressione di P_s data dalla (14.1), inserendo i risultati (14.2) e (14.3) ottieniamo

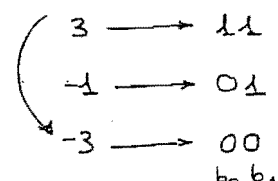
$$P_s = P(\hat{a}_k \neq a_k) = \frac{1}{M} \left[\underbrace{(H-2)2Q\left(\frac{g_0}{\sigma}\right)}_{H-2 simboli interni} + \underbrace{2Q\left(\frac{g_0}{\sigma}\right)}_{\substack{\text{due simboli} \\ \text{agli estremi}}} \right] =$$

$$= \frac{1}{M} Q\left(\frac{g_0}{\sigma}\right) \left[2(H-2) + 2 \right] = \boxed{2 \left(1 - \frac{1}{M}\right) Q\left(\frac{g_0}{\sigma}\right)} \quad (14.4)$$

Consideriamo ad esempio il caso di $H=4$: l'alfabeto diviene:

Supponiamo che $A = \{\pm 1, \pm 3\}$
 la sorgente produca il simbolo 1, trasmesso da Tx ricevuto da Rx; supponiamo che il decisore commetta un errore e decida per il simbolo -1. In generale i simboli di A derivano da un codice binario; in base ad una mappa M si passa dal codice binario al simbolo. In ricezione, in base ad una mappa M' si passa dal simbolo al codice binario. Se avemmo associato bit e simboli nel modo seguente (MAPPA NATURALE)
 all'errare su simbolo corrispondono DUE errori sul bit; vengono erraneamente valutati entrambi i bit b_0 e b_1 .

00	01	11	10 (H. GRAY)
00	01	11	10 (H. NATURALE)
-3	-1	1	3
* +	* +	* +	* +



La mappa Gray associa a simboli adiacenti configurazioni di bit che differiscono fra loro solo di un bit. 143
ad esempio assegnando

$$\begin{aligned} -1 &\rightarrow 01 \\ 1 &\rightarrow 11 \end{aligned}$$

Si ha un solo bit che cambia.

Siccome il numero tipicamente è piccolo e a media nulla asciando ai simboli una "mappatura Gray" si fa in modo che un errore su bit significhi l'interpretazione di un simbolo come quello adiacente a quello realmente trasmesso.

Osserviamo che la probabilità di errare sul simbolo P_s equivale al rapporto fra il numero di simboli errati N_{SE} e quelli trasmessi N_{ST}

$$P_s = 2 \left(1 - \frac{1}{M}\right) Q\left(\sqrt{\frac{2\bar{E}_p}{N_0}}\right) = \frac{N_{SE}}{N_{ST}}$$

La probabilità di errare sul bit sarà invece

$$P_b = \frac{N_{BE}}{N_{BT}} = \frac{N_{BE}}{N_{ST} \cdot \log M} =$$

Applicando una Mappa Gray.

$$N_{SE} \approx N_{BE}$$

Allora la probabilità di errare su bit

$$\begin{aligned} P_b &= \frac{N_{BE}}{N_{BT}} = \frac{N_{SE}}{N_{ST} \log M} \approx \frac{P_s}{\log M} = \\ &= \frac{2}{\log M} \left(1 - \frac{1}{M}\right) Q\left(\sqrt{\frac{2\bar{E}_p}{N_0}}\right) \end{aligned}$$

Un segnale PAM M-ario, può essere scritto come

$$s(t) = \sum_i a_i p(t-iT)$$

ad ogni simbolo sarà associata una Energia

$$a_i p(t-iT) \longrightarrow a_i^2 E_p$$

mediamente

$$E_s = \mathbb{E}\{a_i^2 E_p\} = \mathbb{E}\{a_i^2\} \bar{E}_p = \frac{M-1}{3} \bar{E}_p$$

per ogni bit invece

$$E_b = \frac{E_s}{\log_2 M} = \frac{M^2 - 1}{3 \log_2 M} E_p$$

144

allora

$$E_p = \frac{3 \log_2 M}{M^2 - 1} E_b$$

La probabilità di errare sul bit diventa

$$P_b = \frac{2}{\log_2 M} \left(1 - \frac{1}{M}\right) Q\left(\sqrt{\frac{6 \log_2 M E_b}{(M^2 - 1) N_0}}\right)$$

Prendendo

$$s(t) = \sum_i a_i p(t - iT)$$

$$W_s(f) = \frac{M^2 - 1}{3T} |P(f)|^2$$

Il tempo per trasmettere un bit sarà uguale alla durata dell'intervallo di segnalazione diviso il numero di bit associati a ciascun simbolo

$$T_b = \frac{T}{\log_2 M} \Rightarrow T = T_b \log_2 M$$

La banda del segnale PAM risulta

$$B_s = \frac{1}{2T} = \frac{1}{2T_b \log_2 M}$$

Si può affermare che l'efficienza spettrale è tanto maggiore quanto maggiore è M . L'efficienza energetica invece è pari all'aumentare di M .

Se ho la prob. sul simbolo come mi fa la finire la prob di errore sul bit

$N_{se} = n^o$ errori

$N_{sr} = n^o$ simboli
transmessi

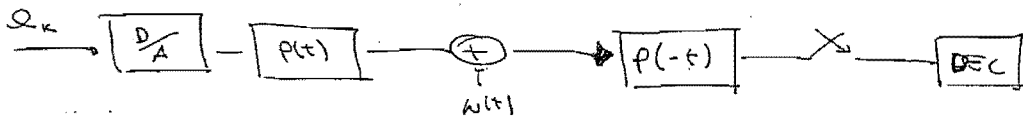
$$P_s = \frac{N_{se}}{N_{sr}} \approx \frac{N_{se}}{N_{sr} \cdot \frac{1}{\log_2 M}} = P_b \log_2 M$$

$$N_{sr} = N_{se} \log_2 M$$

$$P_b = P_s / \log_2 M$$

$$E_p = \int_{-\infty}^{+\infty} |P(t)| dt = \int_{-\infty}^{+\infty} |P(f)|^2 df = \int_{-\infty}^{+\infty} G(f) df = f(0) = 1$$

calcolo dell'errore con obiettivo m -ario



$$f(t) = p(t) \otimes p(-t)$$

$$f_L = \begin{cases} 1 & l=0 \\ 0 & l \neq 0 \end{cases}$$

$$X(mT) = e_m + m(mT)$$

$$Q_K \in \{\pm 1, \pm 3, \dots, \pm (M-1)\}$$

$$P(\hat{Q}_m \neq Q_m | Q_m = \alpha) = \sum_{\alpha \in \{\pm 1, \pm 3, \dots, \pm (M-1)\}} P(\hat{Q}_m \neq Q_m | Q_m = \alpha) \underbrace{P(Q_m = \alpha)}_{\frac{1}{M}}$$

$$\frac{1}{M} \sum P(\hat{Q}_m \neq Q_m | Q_m = \alpha)$$

mi interessano solo 2 casi, quando α è inferno ($\alpha = \pm 1$)

$$P(\hat{Q}_m \neq Q_m | Q_m = \alpha) = P\{X(mT) > \alpha + 1 \vee X(mT) < \alpha - 1 | Q_m = \alpha\}$$

$$= P\left(\begin{array}{c} \alpha + m(mT) > \alpha + 1 \\ \alpha + m(mT) < \alpha - 1 \end{array}\right) = P(m(mT) > 1 \vee m(mT) < -1) = 2P\left(\frac{m(mT)}{\sigma} > \frac{1}{\sigma}\right) = 2Q\left(\frac{1}{\sigma}\right)$$

guardo il caso estremo

$$P(\hat{Q}_m \neq Q_m | Q_m = (M-1)) = P(X(mT) > -(M-2) | Q_m = -(M-1)) = P(-(M-1)m(mT) > -(M-2))$$

$$= P(m(mT) > 1) = Q\left(\frac{1}{\sigma}\right)$$

in totale

$$\frac{1}{M} \sum P(\hat{Q}_m \neq Q_m | Q_m = \alpha) = \frac{1}{M} [(M-2)2Q\left(\frac{1}{\sigma}\right) + 2Q\left(\frac{1}{\sigma}\right)] = \frac{2}{M}(M-1)Q\left(\frac{1}{\sigma}\right)$$

probabilità di errore su PAM M-ARIO

(E)

ha una can trasmissione quaternaria



prendo i bit a coppie

~~00~~ ~~01~~ ~~10~~ ~~11~~ misura

prez

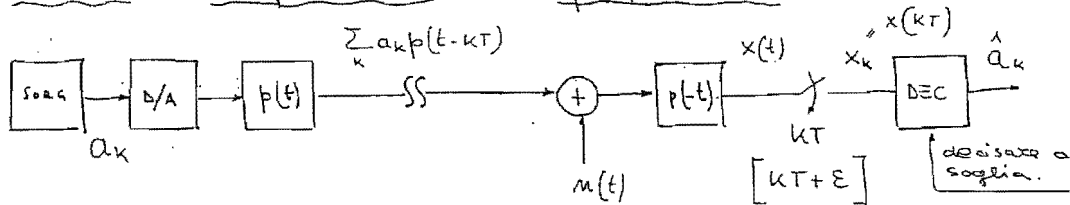
Cerchiamo di minimizzare la prob di errore sul bit

Gray per 3bit	000	001	011	010	110	111	101	100
	000	001	011	010	110	111	101	100
	000	001	011	010	110	111	101	100
	000	001	011	010	110	111	101	100
	000	001	011	010	110	111	101	100

Si consideri un sistema binario con alfabeto

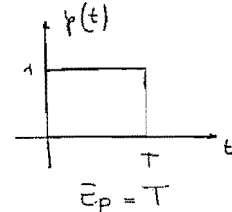
$$a_k \in \{\pm 1\}$$

Consideriamo un impulso $p(t)$ e supponiamo i timbali indipendenti e equiprobabili.



Come già ricavato se $N=2$ la probabilità di errare risulta

$$P_b = Q\left(\sqrt{\frac{2 E_p}{N_0}}\right) = Q\left(\sqrt{\frac{2 T}{N_0}}\right)$$

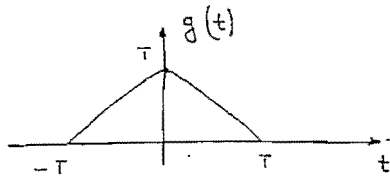


- Valutiamo il funzionamento del sistema se viene introdotto un ritardo ε nel campionamento (avendo supposto la durezza D dell'impulso pari all'intervallo di regolarazione T).

Osserviamo che

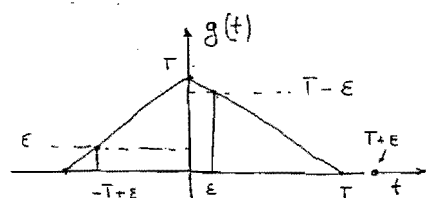
$$p(t) \otimes p(-t) \rightarrow \begin{cases} T & t=0 \\ 0 & t \neq 0 \end{cases}$$

$$g(kT) = \begin{cases} T & k=0 \\ 0 & k \neq 0 \end{cases}$$



Sappiamo che

$$\begin{aligned} x(t) &= \sum_{l=-K\tau+\varepsilon}^{\tau} a_l g(t-lT) + m_x(t) \\ x(K\tau+\varepsilon) &= \sum_l a_l g(K\tau-lT+\varepsilon) + m_x(K\tau+\varepsilon) \\ \{ (K\tau+\varepsilon-lT) &= g((K-\varepsilon)\tau+\varepsilon) \\ &= \sum_l a_l g[T(k-l)+\varepsilon] + M_x(K\tau+\varepsilon) = \\ &= a_k g(\varepsilon) + a_{k+1} g(-T+\varepsilon) + \\ &\quad + a_{k-1} g(T+\varepsilon) + \dots + M_x(K\tau+\varepsilon) = \\ &= a_k (T-\varepsilon) + \varepsilon a_{k+1} + M_x(K\tau+\varepsilon) \end{aligned}$$



Calcoliamo la probabilità di errore

146

perche incip

$$\begin{aligned}
 P_b(\varepsilon) &= P(\hat{a}_k \neq a_k) = \\
 &= P(\hat{a}_k \neq a_k | a_k = 1, a_{k-1} = 1) \underbrace{P(a_k = 1, a_{k-1} = 1)}_{\frac{1}{4}} + \\
 &\quad + P(\hat{a}_k \neq a_k | a_k = 1, a_{k-1} = -1) \underbrace{P(a_k = 1, a_{k-1} = -1)}_{\frac{1}{4}} + \\
 &\quad + P(\hat{a}_k \neq a_k | a_k = -1, a_{k-1} = 1) \underbrace{P(a_k = -1, a_{k-1} = 1)}_{\frac{1}{4}} + \\
 &\quad + P(\hat{a}_k \neq a_k | a_k = -1, a_{k-1} = -1) \underbrace{P(a_k = -1, a_{k-1} = -1)}_{\frac{1}{4}} = \quad (15.1)
 \end{aligned}$$

Qualche cosa le decisore a soglia

$$\begin{aligned}
 P(\hat{a}_k \neq a_k | a_k = 1, a_{k-1} = \alpha) &= \\
 &= P\{x(kT + \varepsilon) < 0 | a_k = 1, a_{k-1} = \alpha\} = \\
 &= P\{T - \varepsilon + \varepsilon \alpha + m_1(kT + \varepsilon) < 0\} = \\
 &= P\{m_1(kT + \varepsilon) < -[T + \varepsilon \alpha - \varepsilon]\} = \\
 &= P\left\{\frac{m_1(kT + \varepsilon)}{\sigma} < -\frac{T - \varepsilon + \varepsilon \alpha}{\sigma}\right\} = Q\left(\frac{T - \varepsilon + \varepsilon \alpha}{\sigma}\right)
 \end{aligned}$$

dividendo
per σ mi ricaduce
ad una gauss.
Standard.

$$\frac{T}{\sigma} = \underline{T}$$

Analogamente

$$P(\hat{a}_k \neq a_k | a_k = -1, a_{k-1} = \alpha) = Q\left(\frac{T - \varepsilon - \varepsilon \alpha}{\sigma}\right)$$

Trovando alla (15.1), sostituendo

$$P_b(\varepsilon) = \frac{1}{2} Q\left(\frac{T}{\sigma}\right) + \frac{1}{2} Q\left(\frac{T - 2\varepsilon}{\sigma}\right)$$

Osserviamo che se $\varepsilon = 0$ mi torna all'espressione
del caso attimo (). Ovviamente all'aumentare
di ε , cioè all'aumentare dell' ISI, aumenta la

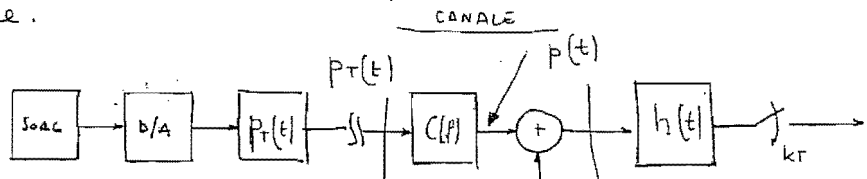
probabilità di errare.

147

Se si manda segnale ISI: un'ipotesi f .

EQUALIZZAZIONE

Si considerano ora il comportamento del filtro $C(f)$ del canale; il sistema può essere schematizzato come segue.



Se l'impulso trasmesso è $p_T(t)$, passa attraverso il canale $c(t)$ e ne esce "distorto".
Se il canale è tempo invariante, lo $c(t)$ è nato, perciò

$$p(t) = p_T(t) \otimes c(t)$$

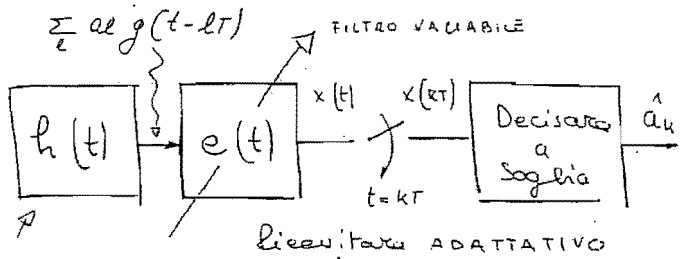
Il filtro fraziale del ricevitore deve essere ADATTATO a $p(t)$ anziché a $p_T(t)$; in particolare

$$G(f) = \underbrace{P_T(f) C(f)}_{P(f)} P^*(f) = \text{Condizione di Nyquist}$$

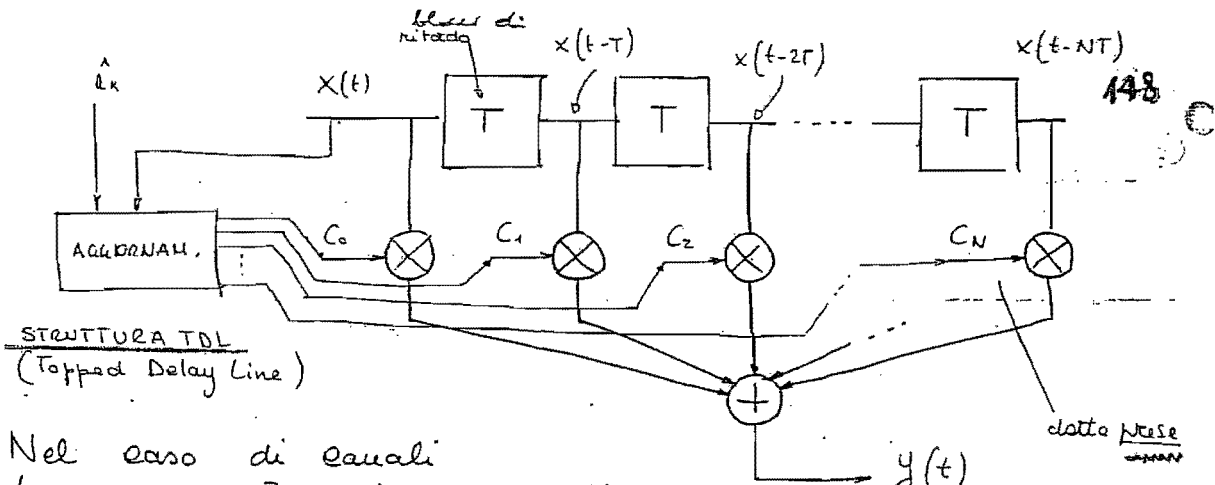
Soddisfacendo la condizione di Nyquist.

Se il canale non è tempo invariante, non è possibile determinare a priori $p(t)$ e quindi non è possibile determinare il filtro adattato. In genere allora si considera come ricevitore il seguente:

Il filtro fraziale ha una risposta in frequenza $H(f)$ passa basso oppure



ADATTATO ALL'IMPULSO TRASMESSO $p_T(t)$. Il secondo filtro, detto EQUALIZZATORE, ha una risposta in frequenza variabile dall'esterno. In genere la sua struttura può essere rappresentata come segue.



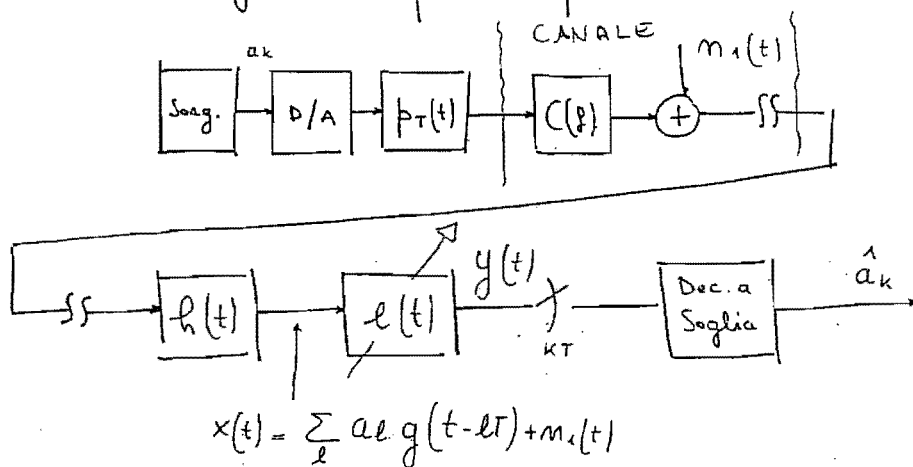
Nel caso di canali tempo variabili, ci sono degli algoritmi che aggiornano in tempo reale i coefficienti C_i in base alle decisioni già prese \hat{a}_k e al segnale ricevuto e prefiltro.

$$h(t) = \sum e_i s(t-t\tau)$$

$$E(f) = \sum e_i e^{-j2\pi f\tau}$$

CRITERIO ZERO FORCING

Per il dimensionamento degli equalizzatori esistono diversi criteri fra i quali quello dello zero forcing.



L'operazione dell'equalizzatore può essere riassunta come segue.

$$\begin{aligned}
 y(t) &= \sum_{k=0}^N c_k x(t-kT) = \\
 &= \sum_{k=0}^N c_k \left\{ \sum_l a_l g(t-lT - kT) + \sum_{k=0}^N c_k m_1(t-kT) \right\} =
 \end{aligned}$$

$$= \sum_e a_e \sum_{k=0}^N c_k g(t - eT - kT) + M_2(t) =$$

$$= \sum_e a_e g(t - eT) + M_2(t) \quad g(t) = \sum_e a_e g[(e-k)T] + M_2(kT)$$

Osserviamo che

$$q(t) = \sum_{k=0}^N c_k g(t - kT)$$

CONDIZIONE VANTAGGIOVALE PER NON AVERE ISI

con

$$g(mT) = \begin{cases} 1 & m = m_0 \\ 0 & m \neq m_0 \end{cases} = \sum_{k=0}^N c_k g[(m-k)T]$$

$$\Rightarrow y(kT) = c_{k-m_0} + M_2(kT)$$

Dimensionare il disparitivo di equalizzazione, significa risolvere infinite equazioni in $N+1$ incognite. Allora non si ha la soluzione attima ma solo approssimata

Il criterio dello "zero forcing" guarda solo i campioni precedenti, trascurando completamente il rumore; ciò che succede il più delle volte è che il rumore $M_2(t)$ ne esce amplificato, con conseguente peggioramento del rapporto S/N.

Per elettralare c_k si FORZANO a ZERO I CAMPIONI

Supponiamo che il filtro frontale abbia espressione

$$g(kT) = \begin{cases} 1 & k=0 \\ 0,2 & k=1 \\ -0,1 & k=-1 \\ 0 & |k| \geq 2 \end{cases}$$

il segnale sarà quindi in uscita da uno

$$\sum_e g[t-(e-1)T]$$

$$x_k = a_k g(0) + a_{k+1} g(1) + a_{k-1} g(-1) + M_2(t)$$

Sappiamo che

$$g(mT) = \sum_{k=0}^N c_k g[(m-k)T]$$

Supponiamo di volere un equalizzatore a 3 prese

essere $N=2$, quindi

150

$$q(mT) = \sum_{k=0}^2 C_k g[(m-k)T] = C_0 g(mT) + C_1 g((m-1)T) + C_2 ((m-2)T)$$

A questo punto mi dico di imparare la condizione

$$q(mT) = \begin{cases} 1 & m = m_0 \\ 0 & m \neq m_0 \end{cases} \text{ con } m_0 \text{ arbitrario}$$

Allora, prendiamo $m_0 = 1$, la condizione diventa

$$q(0) = 0 \quad q(1) = 1 \quad q(2) = 0$$

che mi traduce nelle equazioni

$$\begin{cases} q(0) = C_0 g(0) + C_1 g(-1) + C_2 g(-2) = 0 \\ q(1) = C_0 g(1) + C_1 g(0) + C_2 g(-1) = 1 \\ q(2) = C_0 g(2) + C_1 g(1) + C_2 g(0) = 0 \end{cases}$$

dal quale

$$C_0 = 0,1 \quad (0,096)$$

$$C_1 = 0,96$$

$$C_2 = -0,18 \quad (-0,19)$$

Osserviamo che

$$y(kT) = a_{k-1} + a_{k-3}(-0,1) - 0,18 a_k + m_2(kT)$$

Si verifica ancora l'SI, ma in maniera attenuata.

$$y(kT) = \sum_l a_l g[(k-l)T] + m_2(kT) =$$

$$= \sum_l a_l \left[C_0 g[(k-l)T] + C_1 g[(k-l-1)T] + C_2 g[(k-l-2)T] \right] =$$

$$\begin{aligned} k-l &= m_0 \Rightarrow l = k-m_0 \\ k-l-1 &= m_0 \Rightarrow l = k-m_0-1 \\ k-l-2 &= m_0 \Rightarrow l = k-m_0-2 \end{aligned}$$

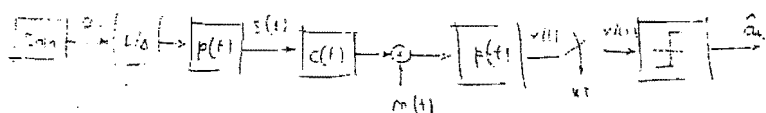
Si consideri il sistema di figura, con

- $a_k \in \{\pm 1\}$ equiprobabili e indipendenti
- l'impulso $p(t)$ radice di coseno realizzato con α

definiamo anche

$$\cdot g_N(t) = p(t) \otimes p(-t) \quad g_N(\kappa\tau) = \begin{cases} 1 & \kappa=0 \\ 0 & \kappa \neq 0 \end{cases}$$

$$g_N(0) = E_p = 1$$



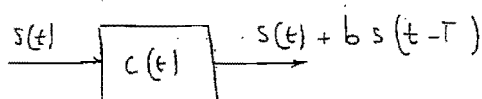
Supponiamo che il canale abbia risposta all'impulso
 $c(t) = \delta(t)$ (caso IDEALE) progettare ricevitore ottimo e prob. di errore

la prob. di errare nel caso ideale risulta

$$P_b^{(0)} = Q\left(\sqrt{\frac{2E_p}{N_0}}\right) = Q\left(\sqrt{\frac{2}{N_0}}\right) = Q\left(\frac{1}{\sigma}\right)$$

$$\frac{m(t)}{N_0/2} \rightarrow \boxed{p(t)} \rightarrow \frac{m(t)}{N_0/2} |p(f)|^2 \quad \sigma^2 = \frac{N_0}{2} \int |P(f)|^2 df = \frac{N_0}{2} E_p = \frac{N_0}{2}$$

Supponiamo ora che il canale sia REALE modellato dal seguente schema



avranno con una risposta

$$c(t) = \delta(t) + b \delta(t - T) \quad 0 < b < 1$$

Il canale ha risposta in frequenza

$$C(f) = 1 + b e^{-j2\pi fT} = \frac{1 + b e^{j2\pi fT} + b^2 e^{j4\pi fT}}{\sqrt{1 + b^2 + 2b e^{j2\pi fT}}}$$

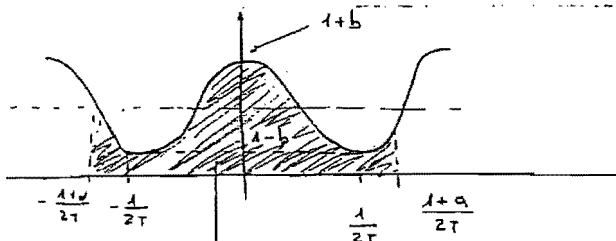
$$= (1 + b \cos 2\pi fT) + j b \sin 2\pi fT$$

$$|C(\rho)| = \sqrt{1 + }$$

$$= \sqrt{(1+b^2) + 2b \cos(2\pi f)} = \begin{cases} 1+b \\ 1-b \end{cases}$$

L'impulso ha banda (il roll-off α)

$$B_p = \frac{1+\alpha}{2T}$$

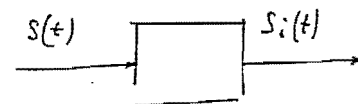


Questa è la zona in cui c'è il segnale utile e, nata, rimasta fortemente distorsa.

Osserviamo che

$$S(t) = \sum_i a_i p(t-iT)$$

$$S_i(t) = \sum_i a_i p_R(t-iT)$$



$$\text{e con } p_R(t) = p(t) \otimes c(t) = p(t) + b p(t-T)$$

In questo caso c'è ISI, quindi dovremo cambiare il filtro adattato e il decodificatore in uno di Viterbi. Proviamo a lasciare tutto inalterato, analizziamo come degradano le prestazioni.

All'uscita del filtro adattato

$$x(t) = \sum_i a_i g(t-iT) + m_1(t)$$

nella quale

$$g(t) = p_R(t) \otimes p(-t) = p(t) \otimes c(t) \otimes p(-t) =$$

$$= g_N(t) \otimes c(t) = g_N(t) + b g_N(t-T)$$

dove l'errore compare nel caso del canale non ideale

Campionando

$$g(kT) = g_N(kT) + b g_N[(k-1)T] = \delta_k + b \delta_{k-1} =$$

δ_k = delta di Kronecker

$$g(k_T) = \delta_k + b\delta_{k-1} = \begin{cases} 1 & k=0 \\ b & k=1 \\ 0 & k \neq 0,1 \end{cases}$$

153

Calecaliamo la probabilità di errare

$$P_b^{(\text{REAL})} = P(a_k \neq \hat{a}_k) = \frac{1}{4} \left[P(a_k \neq \hat{a}_k | a_k=1, a_{k-1}=1) + \right. \\ \left. + \frac{1}{4} P(a_k \neq \hat{a}_k | a_k=1, a_{k-1}=-1) + P(a_k \neq \hat{a}_k | a_k=-1, a_{k-1}=1) \right] \\ + P(a_k \neq \hat{a}_k | a_k=-1, a_{k-1}=-1) \stackrel{!}{=} (*)$$

Come già visto in teoria

$$P(a_k \neq \hat{a}_k | a_k=1, a_{k-1}=\alpha) = P(x(k_T) < 0 | a_k=1, a_{k-1}=\alpha) = \\ = P(1+b\alpha + m_1(k_T) < 0) = P(m_1(k_T) < -1-b\alpha) = \\ = Q\left(\frac{1+b\alpha}{\sigma}\right)$$

Analogamente per gli altri termini scriviamo la (*)

$$P_b^{(\text{REAL})} = \left[Q\left(\frac{1+b\alpha}{\sigma}\right) + Q\left(\frac{1-b\alpha}{\sigma}\right) + Q\left(\frac{1+b\alpha}{\sigma}\right) + \right. \\ \left. + Q\left(\frac{1-b\alpha}{\sigma}\right) \right] \frac{1}{4} =$$

Confrontiamo il caso reale e il caso ideale per $\alpha=1$

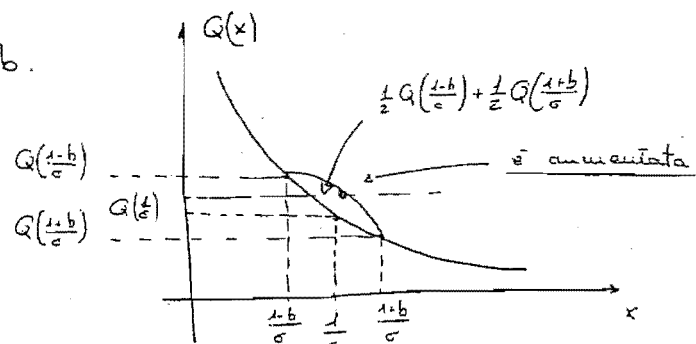
$$P_b^{(\text{ID})} = \frac{1}{2} Q\left(\frac{1}{\sigma}\right) + \frac{1}{2} Q\left(\frac{1}{\sigma}\right) = Q\left(\frac{1}{\sigma}\right)$$

$$P_b^{(\text{REAL})} = \frac{1}{2} Q\left(\frac{1+b}{\sigma}\right) + \frac{1}{2} Q\left(\frac{1-b}{\sigma}\right)$$

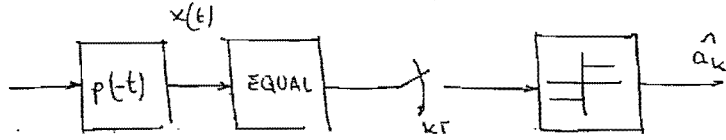
e si ammira un aumento della prob. di errare.

$$\frac{dQ(x)}{dx} = \frac{1}{\sqrt{2\pi}} e^{-\frac{x^2}{2}}$$

$$\frac{d^2Q(x)}{dx^2} = \frac{x}{\sqrt{2\pi}} e^{-\frac{x^2}{2}}$$



Azzide e ammire l'intero ricevitore, inseriamo un equalizzatore (prima o dopo il campionatore è indifferente) come segue e decidiamo ancora a soglia



E quindi decidiamo una
equalizzazione a due passi.
Sappiamo che

$$y(t) = \sum_i a_i q(t-iT) + m_2(t)$$

con

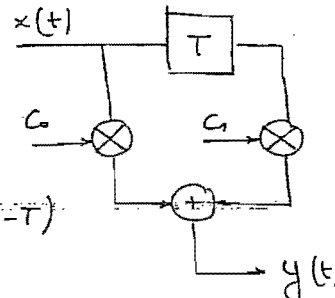
$$q(t) = \sum_{l=0}^1 C_l g(t-lT) = C_0 g(t) + C_1 g(t-T)$$

$$m_2(t) = C_0 m_1(t) + C_1 m_1(t-T)$$

Campionando

$$\begin{aligned} q(kT) &= C_0 g(kT) + C_1 g[(k-1)T] = \\ &= C_0 [\delta_k + b \delta_{k-1}] + C_1 [\delta_{k-1} + b \delta_{k-2}] = \\ &= C_0 \delta_k + (C_0 b + C_1) \delta_{k-1} + C_1 b \delta_{k-2} = \end{aligned}$$

$$= \begin{cases} C_0 & k=0 \\ C_0 b + C_1 & k=1 \\ C_1 b & k=2 \\ 0 & k \neq 0, 1, 2 \end{cases}$$



Calcoliamo C_0 e C_1 con lo "Zero Forcing".
Proviamo i vari casi:

$$\textcircled{1} \quad \begin{cases} q(0) = 0 = C_0 \\ q(T) = 1 = C_1 + C_0 b = C_1 \end{cases} \quad \begin{array}{l} \text{Non va bene perché è} \\ \text{un semplice ritardatore} \end{array}$$

$$\textcircled{2} \quad \begin{cases} q(T) = 1 \\ q(2T) = 0 \end{cases} \quad \begin{cases} C_0 b + C_1 = 1 \\ C_1 b = 0 \end{cases} \Rightarrow \begin{cases} C_0 = 1/b \\ C_1 = 0 \end{cases}$$

$$\begin{cases} q(0) = 1 \\ q(T) = 0 \end{cases} \Rightarrow \begin{cases} C_0 = 1 \\ C_1 = -b \end{cases} \Rightarrow q(kT) = \begin{cases} C_0 = 1 & k=0 \\ b - b^k = 0 & k=1 \\ -b^2 & k=2 \\ 0 & k \neq 0, 1, 2 \end{cases}$$

$$y(kT) = a_k - b^2 a_{k-2} + m_2(kT)$$

In questo senso si può sperare che le prestazioni siano migliorate; il termine interiore a_{k-2} è pesato con b^2 e, siccome $0 < b < 1$, è diminuito; ciò non basta per sapere se effettivamente l'eq. è sufficientemente accurata.

$m_2(kT)$ è diverso da M_1 . Attraverso analoghi passaggi si può verificare che

$$P_b^{(\text{EQ})} = \frac{1}{2} Q\left(\frac{1+b^2}{\sigma_2}\right) + \frac{1}{2} Q\left(\frac{1-b^2}{\sigma_2}\right)$$

nella quale σ_2^2 è la varianza di m_2 .

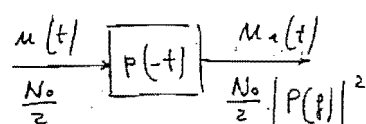
$$\begin{aligned} \sigma_2^2 &= E\{m_2^2(t)\} = E\{\{c_0 M_1(t) + c_1 M_1(t-T)\}^2\} = \\ &= E\{C_0^2 M_1^2(t) + C_1^2 M_1^2(t-T) + 2C_0 C_1 M_1(t) M_1(t-T)\} = \\ &= E\{C_0^2 M_1^2(t)\} + E\{C_1^2 M_1^2(t-T)\} + E\{2C_0 C_1 M_1(t) M_1(t-T)\} = \\ &= \underbrace{C_0^2 E\{M_1^2(t)\}}_{\sigma^2} + C_1^2 \underbrace{E\{M_1^2(t-T)\}}_{\sigma^2} + 2C_0 C_1 \underbrace{E\{M_1(t) M_1(t-T)\}}_{R_{M_1}(T)} \end{aligned}$$

$$\frac{N_0}{2} |P(f)|^2 = \frac{N_0}{2} G_N(f)$$

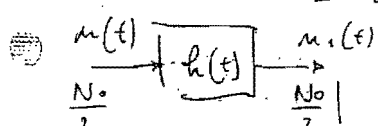
$$\rightarrow \frac{N_0}{2} g_N(n)$$

$$\Rightarrow R_{M_1}(T) = \frac{N_0}{2} g_M(T)$$

ma $g_N(kT) = 0$ per $k \neq 1$



$$\Rightarrow R_{M_1}(T) = 0$$



$$|^2 \xrightarrow{(\text{TFO})^{-1}} R_{M_1}(T) = \frac{N_0}{2} h(t) \otimes h(-t)$$

MODULAZIONI NUMERICHE IN BANDA PASSANTE

156

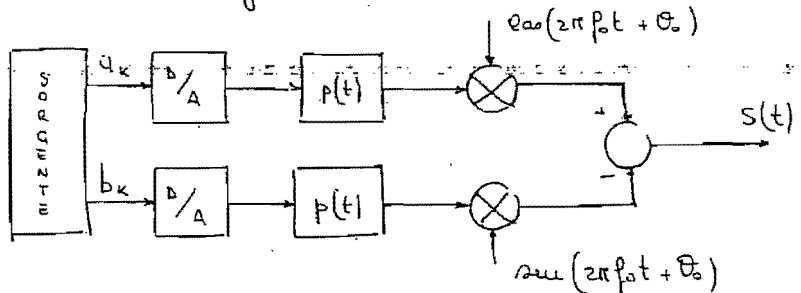
Un segnale modulato numericamente in banda base può essere scritto come

$$s(t) = \sum_k a_k p(t - kT)$$

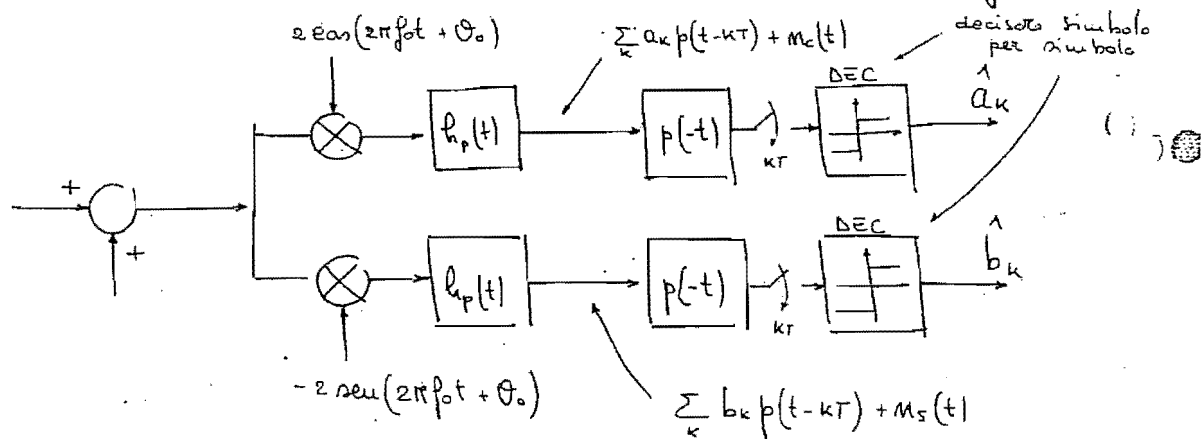
Per la trasmissione in banda passante si generano le componenti in fase e quella in quadratura nel modo seguente

$$s(t) = \sum_k a_k p(t - kT) \cos(2\pi f_0 t + \theta_0) - \sum_k b_k p(t - kT) \sin(2\pi f_0 t + \theta_0)$$

Lo schema di un trasmettitore in banda passante risulta il seguente



Il canale introduce un rumore AWGN $n(t)$; il ricevitore può essere schematizzato come segue



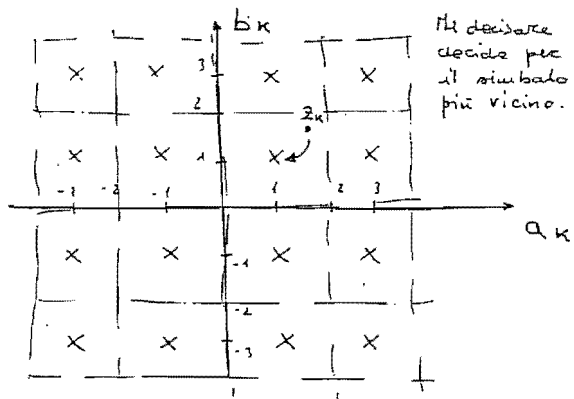
In sostanza si hanno due segnali PAM M-arie portante in fase e uno sulla portante in quadratura. Questo tipo di trasmissione si dice QAM (Quadrature Amplitude Modulation). In particolare si parla di M^2 -QAM, nella quale si hanno due PAM M-arie.

L'inviluppo complesso del segnale M²QAM risulta 157

$$\begin{aligned}\tilde{s}(t) &= \sum_k a_k p(t-kT) + j \sum_k b_k p(t-kT) = \\ &= \sum_k (a_k + j b_k) p(t-kT) = \\ &= \sum_k c_k p(t-kT)\end{aligned}$$

nella quale c_k è un simbolo complesso. Si evane a_k e b_k appartengano ad un alfabeto di M simboli. c_k va a formare una COSTELLAZIONE DI PUNTI della QUADRATA.

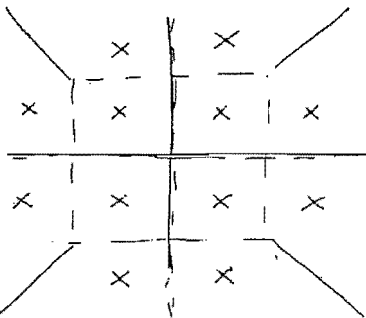
Il decisore può essere indipendente per ciascun canale; uno decide per il simbolo a_k e uno per il simbolo b_k . In questo caso si parla di M²-QAM (nella quale M è il numero di simboli)



Se invece si scelgono a_k e b_k da alfabeti differenti si possono ottenere costellazioni diverse. Un esempio può essere la 12-CROSS (a croce).

Sostanza si elimina su alcuni dei punti della costellazione in particolare quelli sugli angoli della costellazione precedente.

In questo caso il decisore deve essere unico perché deve prendere una decisione comune su entrambi i simboli.



La scelta di una costellazione differente da quella quadrata risulta utile per diversi motivi. Ad esempio la costellazione 12-CROSS rappresentata in figura, non ha i punti negli angoli; essi sono i simboli

Qui il modulo dell'inviluppo complesso più grande, avendo quelli che per avere trannei richiedono la maggiore energia; questa caratteristica può essere sfruttata per minimizzare la potenza del segnale trasmesso.

Un'alternativa alla QAM è la "modulazione di fase numerica" PSK (Phase Shift Keying). Qui essa rimane costante il modulo dell'inviluppo complesso e viene modulato l'argomento.

$$s(t) = A_0 \cos[2\pi f_k t + \theta_k]$$

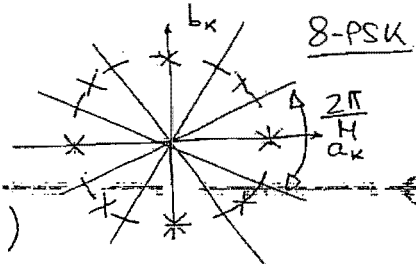
Analogamente si realizza una FSK (Frequency Shift Keying) nella quale

$$s(t) = A_0 \cos[2\pi f_k t + \theta]$$

E' una modulazione che risponde alle stesse necessità della modulazione CROSS

$\left. \begin{matrix} \text{QAM} \\ \text{CROSS} \\ \text{PSK} \end{matrix} \right\}$ modulazioni numeriche LINEARI
in bande passanti (Cambia solo il decisore, per il resto hanno lo stesso schema)

La FSK NON È LINEARE!

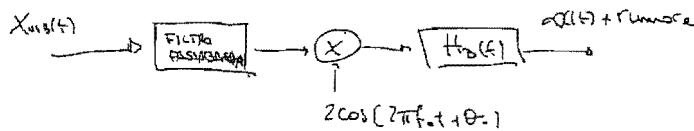


In questo caso avrebbe
non sono indipendenti.

$$x_{\text{oss}}(t) = m(t) \cos(\omega_m t + \phi_m)$$

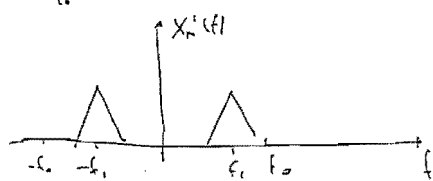
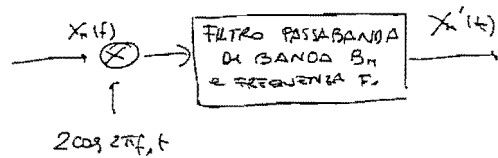
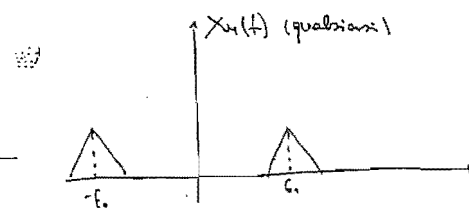
(15)

l'operazione di demodulazione riconduce al segnale iniziale



Per quanto riguarda queste prime parole, si inseriscono segnali $x_{\text{oss}}, x_{\text{osc}}$
cioè che cambia è solo il filtro passabanda

CONVERSIONE DI FREQUENZA



$$x_n(t) \rightarrow x_n(f)$$

$$2x_n(t)\cos 2\pi f_o t \leftarrow x_n(f-f_o) + x_n(f+f_o)$$

1) caso $f_o < f_c$

traslo e rim di f_o

